

PROMOTOR
GORCABI CARTERA, SL

19-E-08
PANTALÁN EN URIBITARTE

BILBAO, BIZKAIA

FASE
ANEJO AL PROYECTO BÁSICO Y DE
EJECUCIÓN

FECHA
MAYO 2020

- 1. Memoria descriptiva**
- 2. Memoria estructural**
- 3. Cálculo de pilotes**
- 4. Medios de pilotaje**
- 5. Procedimiento de hinca**
- 6. Características de anillas**

1. MEMORIA DESCRIPTIVA

El presente documento se realiza por encargo de Gorcabi Cartera SL, y es un Anejo aclaratorio al Proyecto Básico y de Ejecución elaborado por los técnicos firmantes en junio de 2019, para la instalación de un pantalán flotante en la Ría de Bilbao. Y es consecuencia del requerimiento realizado por la Demarcación de Costas del País Vasco, en su escrito del 18 de febrero de 2020.

En dicho escrito se solicitaba una información técnica complementaria al Proyecto de pantalán que se presentó en su día, y que obtuvo la Concesión definitiva por parte del Ministerio el 29 de noviembre de 2019. Dicha información adicional se solicitaba debido a nuestra propuesta de girar el acceso, y simplificar el sistema de anclaje: de una estructura de acero en vuelo cogida al muelle, a un sistema de pilotes hincados.

Antecedentes

Tras la obtención de la Concesión ministerial, la propiedad y sus técnicos hemos constatado dos circunstancias nuevas:

- Que, sin cambiar el emplazamiento, conviene cambiar la orientación proyectada de la rampa, para acceder al pantalán por su extremo este, en vez de por su extremo oeste, consiguiendo una mejor relación con las vistas de la Ría, que ahora serían mirando aguas abajo. Dicha posición, que solo afecta a la pasarela-rampa de acceso, ya se reflejó convenientemente en el plano presentado en Costas el 23.01.20.
- Que, a medida que se profundizó con empresas constructoras especialistas (y especialmente con Amilibia, de amplia experiencia en estos trabajos), se fue viendo que la estructura proyectada para fijar el pantalán al emplazamiento resultaba, técnica y económicamente, muy complicada de ejecutar. El elemento distorsionador de dicha estructura era la necesidad inevitable de una gran distancia horizontal entre el propio pantalán y los actuales pilares de

hormigón del paseo. Por un lado, dichos pilares se hallan muy retrasados con respecto al borde del paseo, y, por otro, la falta de calado suficiente obliga a alejarse de ellos aún más.

Agencia Vasca del Agua (URA)

Conocedores de la importancia del informe que la Demarcación de Costas debe solicitar para este cambio a URA, antes de presentar este Anejo los técnicos nos hemos dirigido a los técnicos de Inundabilidad de dicho organismo del Gobierno Vasco, exponiendo la cuestión de la nueva estructura.

Tras presentar el caso, con planos y explicaciones, hemos constatado que, a efectos de inundabilidad (competencia de URA), los técnicos que han de informar consideran que la nueva solución estructural es más acorde con los criterios de la Agencia, ya que comporta menos riesgos en el caso de avenidas importantes.

Solución propuesta

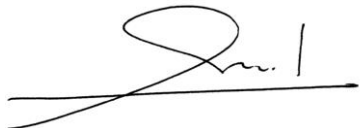
Por todo ello el presente Anejo propone anclar el pantalán flotante a cuatro pilotes verticales, hincados en el lecho de la Ría, de manera que:

- no se afecta en absoluto, ni la estructura portante del Paseo de Uribitarte, ni los prefabricados ornamentales de hormigón que constituyen el frente del muelle;
- no se crea ninguna estructura susceptible de constituir freno o barrera para el caudal de la Ría en caso de grandes avenidas;
- se cambia la posición de la pasarela de acceso del extremo oeste al este, sin modificar el emplazamiento autorizado en la Concesión.

En los capítulos siguientes se presentan las consideraciones técnicas y de cálculo.

En Loiu, 31 mayo de 2020

Firmado, los arquitectos:



Marta González Cavia.

Arquitecto



Jorge
Bartolomé

Arquitecto

Cabrera

2. MEMORIA ESTRUCTURAL

 astilleros amilibia <small>U.S.L.</small>	CÁLCULO JUSTIFICATIVO PILOTES DE ACERO EMBARCADERO BILBAO	CODIGO : INF19-01
--	--	------------------------------------

1.-INTRODUCCIÓN Y OBJETO DEL INFORME

El objeto de este informe determinar la carga sobre los pilotes de pantalán embarcadero Bilbao, como estructura alternativa a las del Proyecto original.

2.-DESCRIPCIÓN EMBARCADERO.

El pantalán está ampliamente descrito en el proyecto original y en los planos que acompañan a este Anejo.

3.-CÁLCULO DE PILOTES DE ANCLAJE.

Las fuerzas que tendremos en cuenta son las corrientes y el viento dado la zona donde se sitúa la instalación.

Las cargas consideradas para el dimensionamiento del pantalán, de las guías y de las estructuras en las que se apoyan son: carga transversal de 10 kN/ml de pantalán aplicada en los 42.5 m de longitud del pantalán y carga longitudinal total de 30 kN que se repartirá sobre los 3 pilotes guías

Estas cargas consideradas como cargas variables, junto con las cargas permanentes de pesos propios son las que se emplean para verificar las estructuras de soporte.

Atendiendo a esta distribución tendremos una totalidad de $10 \text{ kN/ml} \times 42.5 \text{ ml/3} = 141,67 \text{ kN}$ + una carga longitudinal de $30 \text{ kN/3} = 10 \text{ kN}$

$$P = \sqrt{141.67^2 + 10^2} = 142,03 \text{ kN}$$

3.1 NORMATIVA.

Para el cálculo de los pilotes se ha respetado las prescripciones y recomendaciones de los siguientes documentos:

- *Ministerio de Fomento. Puertos del Estado- ROM 0.5-05, Recomendaciones Geotécnicas para obras marítimas y portuarias.*
- *Ministerio de Fomento. Puertos del Estado- ROM 0.4-95, Acciones climáticas II: Viento.*
- *Ministerio de Fomento. Puertos del Estado- ROM .1-99, Proyecto de la configuración marítima de los puertos; canales de acceso y áreas de flotación.*
- *Ministerio de Fomento. Puertos del Estado ROM 2.0-11 Recomendaciones para el proyecto y ejecución en las Obras de Atraque y Amarre*

3.42 MATERIALES. TERRENO



Se han tomado los parámetros del estándar para representar el tipo de fondo existente en la zona en la que se instalan los pantalanes.

El material del lecho se considera dividido en 1estrato con las siguientes características:

	Cohesión, C	Ángulo de rozamiento interno, Φ	Peso específico, $\gamma' = \gamma_{sat} - \gamma_w$	Espesor estrato	
	kg/m ²	º	Radianes	Kg/m ³	m
Arenas densas	0.0	33	.575	1800.00	9

ACERO

Los tubos de acero considerados para el cálculo de los pilotes poseen las siguientes características:

- f Tipo: Acero S-355 (Límite elástico= 3550 Kg/cm²).
- f Diámetro: 609 mm
- f Espesor: 12 mm

3.5 MÉTODO DE CÁLCULO.

El método de cálculo empleado se basa en determinar la profundidad de hinca necesaria en los pilotes para que el terreno resista a rotura por tiro horizontal; para ello se ha seguido la metodología de cálculo establecida en la R.O.M. 0.5-05. El proceso consiste en suponer una profundidad de hinca, L, y calcular para ésta la carga horizontal máxima que puede resistir el terreno, H. Si la carga que el pantalán le solicita al pilote, H_{ext} es menor que H, entonces la profundidad de hinca es suficiente. En caso contrario se aumenta la profundidad de hinca y se repite el cálculo.

Para efectuar los cálculos se ha realizado una hoja de cálculo en la que se pueden hacer tanteos para determinar la profundidad de hinca necesaria para soportar los esfuerzos a los que están sometidos los pilotes.



4. DIMENSIONAMIENTO DEL PILOTE

METODO DE CÁLCULO

Se determina la profundidad de hinca necesaria en los pilotes para que el terreno resista a rotura por tiro horizontal.

Se sigue el método de Broms (1964) tal como prescribe la R.O.M. 0.5-94

El proceso consiste en suponer una profundidad de hinca, L y calcular para ésta la carga horizontal máxima que puede resistir el terreno, H.

Si H_{ext} es menor que H entonces la profundidad de hinca es suficiente- En caso contrario se aumenta la profundidad de hinca y se repite el cálculo.

DATOS TERRENO.

- | | |
|--------------------------------|--|
| • Cohesión | $c = 0 \text{ Kg/m}^2$ |
| • Ángulo de rozamiento interno | $\theta = 33 \quad 0.579 \text{ Radianes}$ |
| • Peso específico | $\gamma = 1800 \text{ Kg/m}^3$ |

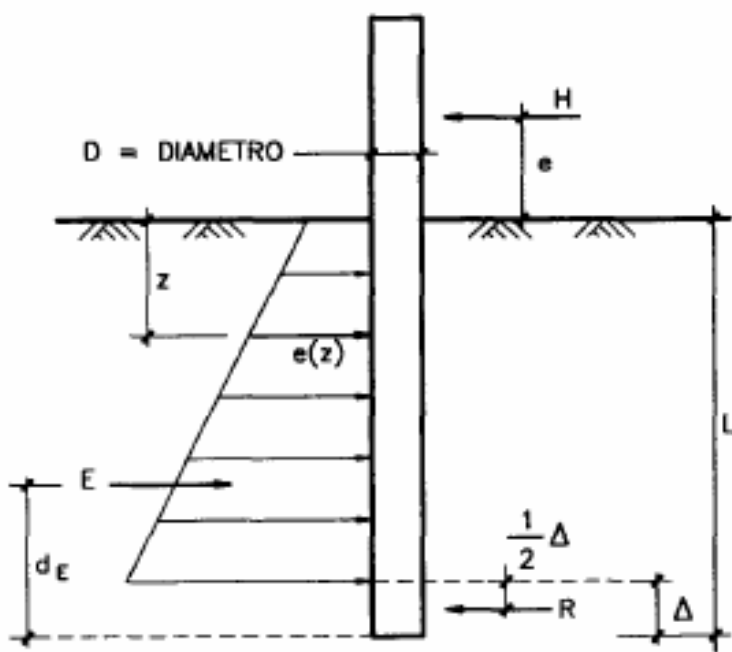
TIRO HORIZONTAL

- | | |
|-----------------|----------------------------|
| • Resultante | $H_{ext} = 145 \text{ Kn}$ |
| • Excentricidad | $e = 5.00 \text{ m}$ |

GEOMETRIA

- | | |
|------------|--------------------------|
| • Espesor | $Esp = 0.0012 \text{ m}$ |
| • Diámetro | $D = 0.609 \text{ m}$ |

CÁLCULO DE LA RESISTENCIA FRENTE A TIRO HORIZONTAL.



$$e(z) = (9 \cdot c + 3 \cdot \gamma \cdot z \frac{1 + \sin \phi}{1 - \sin \phi}) \cdot D$$

$$E = \int_0^{L-\Delta} e(z) \cdot dz$$

$$\Delta = \frac{R}{e(L)}$$

y cumpliendo las condiciones de equilibrio siguientes:

$$H = E - R$$

$$H \cdot \left(e + L - \frac{1}{2} \Delta \right) = E \cdot (d_E - \frac{1}{2} \Delta)$$



Empuje de terreno a profundidad L $e(L) = 423.09 \text{ Kg/m}$

Empuje de terreno a Profundidad L $e(0) = 0 \text{ Kg/ml}$

Condiciones de equilibrio

Equilibrio de fuerzas $H = E - R$

Equilibrio de Momentos $H * (e + L - 0.5 * D) = E * (de - 0.5 * D)$

Desarrollando D se llega a la expresión.

$$c = \frac{R}{[9 * c + 3 * \gamma * L * (\frac{1 + \sin\theta}{1 - \sin\theta})] * D}.$$

Integrando E

$$E = \frac{9 * c * D + [9 * c + 3 * \gamma * (L - \Delta) * (\frac{1 + \sin\theta}{1 - \sin\theta})] * D}{2} * (L - \Delta)$$

Hallando el centro de presiones de E respecto la punta de pilote.

$$d\epsilon = \Delta + \left\{ \frac{(L - \Delta) * [9 * c + \gamma * (L - \Delta) * (\frac{1 + \sin\theta}{1 - \sin\theta})]}{[18 * c + 3 * \gamma * (L - \Delta) * (\frac{1 + \sin\theta}{1 - \sin\theta})]} \right\}$$

Despejando H de la ecuación (1) e introduciendo en (2) se obtiene una ecuación con una única incógnita "R" a resolver.

$$(E - R) * \left[e + L - \frac{\Delta}{2} \right] = E * \left[d\epsilon - \frac{\Delta}{2} \right]$$

Resolviendo la iterativa:

$$R = 124.90 \text{ Tn}$$

Despejando

$$E = 162.67 \text{ Tn}$$

$$d\epsilon = 3.399 \text{ m}$$



$$\Delta = 1,599 \text{ m}$$

$$H=162.67-124.90= 37.77 \text{ Tn.}$$

$$\text{Coeficiente de seguridad} = 370.14 \text{ kN} / 142.03 \text{ kN} = \mathbf{2.61} > 2.5$$

RESUMEN

L= **7.0 M**

H_{ext} **142,03 kN**

H **370,15 kN**

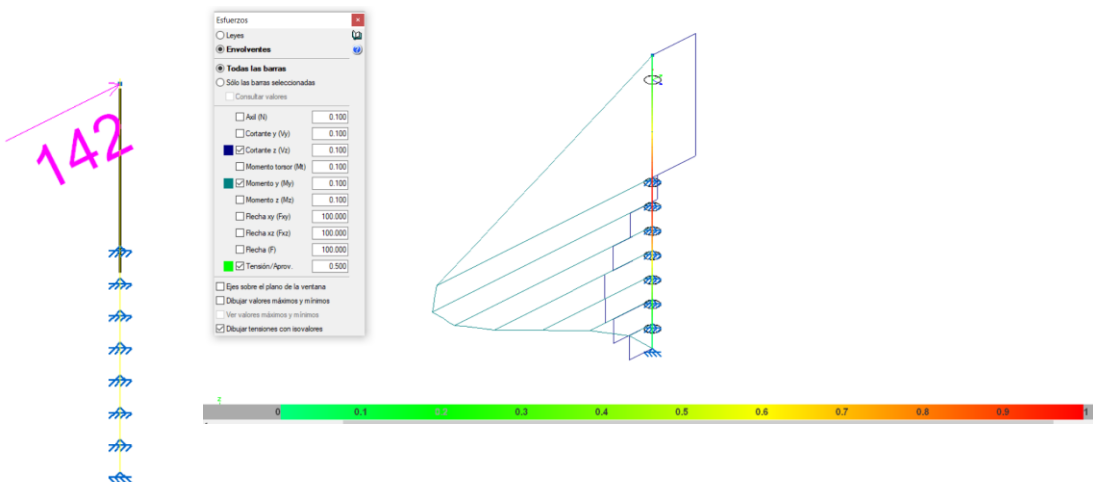
C_s **2.61**

5. COMPROBACIÓN ESTRUCTURAL SECCIÓN PILOTE.

Los pilotes a utilizar son de acero tipo S355 con una sección de Ø609 y espesor 12 mm hincado 7 metros en terreno competente.

En el anexo siguiente se ha tenido en cuenta la iteración pilote – Terreno considerando una respuesta de 1000 kN/m a lo largo del mismo esto coincide con los cálculos del terreno supuesto.

En el siguiente anexo se detallan todos los cálculos justificativos.



3. CÁLCULO DE PILOTES



Listados

CÁLCULO DE PILOTES PARA EMBARCADERO BILBAO

Fecha: 23/05/20

ÍNDICE

1.- DATOS DE OBRA	15
1.1.- Normas consideradas	15
1.2.- Estados límite	15
1.2.1.- Situaciones de proyecto	15
1.2.2.- Combinaciones	16
2.- ESTRUCTURA	17
2.1.- Geometría	17
2.1.1.- Nudos	17
2.1.2.- Barras	17
2.2.- Cargas	19
2.2.1.- Nudos	19
2.2.2.- Barras	19
2.3.- Resultados	20
2.3.1.- Nudos	20
2.3.2.- Barras	26

1.- DATOS DE OBRA

1.1.- Normas consideradas

Aceros laminados y armados: CTE DB SE-A

1.2.- Estados límite

E.L.U. de rotura. Acero laminado	CTE
	Cota de nieve: Altitud inferior o igual a 1000 m
Desplazamientos	Acciones características

1.2.1.- Situaciones de proyecto

Para las distintas situaciones de proyecto, las combinaciones de acciones se definirán de acuerdo con los siguientes criterios:

- Con coeficientes de combinación

- Sin coeficientes de combinación

- Donde:

G_k Acción permanente

P_k Acción de pretensado

 Q_k Acción variable γ_G Coeficiente parcial de seguridad de las acciones permanentes γ_p Coeficiente parcial de seguridad de la acción de pretensado $\gamma_{Q,1}$ Coeficiente parcial de seguridad de la acción variable principal $\gamma_{Q,i}$ Coeficiente parcial de seguridad de las acciones variables de acompañamiento $\psi_{p,1}$ Coeficiente de combinación de la acción variable principal $\psi_{a,i}$ Coeficiente de combinación de las acciones variables de acompañamiento

Para cada situación de proyecto y estado límite los coeficientes a utilizar serán:

E.L.U. de rotura. Acero laminado: CTE DB SE-A

Persistente o transitoria				
	Coeficientes parciales de seguridad (γ)		Coeficientes de combinación (ψ)	
	Favorable	Desfavorable	Principal (ψ_p)	Acompañamiento (ψ_a)
Carga permanente (G)	0.800	1.350	-	-
Viento (Q)	0.000	1.500	1.000	0.600

Desplazamientos

Acciones variables sin sismo		
	Coeficientes parciales de seguridad (γ)	
	Favorable	Desfavorable
Carga permanente (G)	1.000	1.000
Viento (Q)	0.000	1.000

1.2.2.- Combinaciones

■ Nombres de las hipótesis

PP Peso propio

V 1 ACCION VIENTO SOBRE EMBARCACIÓN

■ E.L.U. de rotura. Acero laminado

Comb.	PP	V 1
1	0.800	
2	1.350	
3	0.800	1.500
4	1.350	1.500

■ Desplazamientos

Comb.	PP	V 1
1	1.000	
2	1.000	1.000



Listados

2.- ESTRUCTURA

2.1.- Geometría

2.1.1.- Nudos

Referencias:

$\Delta_x, \Delta_y, \Delta_z$: Desplazamientos prescritos en ejes globales.

$\theta_x, \theta_y, \theta_z$: Giros prescritos en ejes globales.

$K_{\Delta x}, K_{\Delta y}, K_{\Delta z}$: Coacciones elásticas de los desplazamientos en ejes globales.

Cada grado de libertad se marca con 'X' si está coaccionado y, en caso contrario, con '-'.

Referencia	Nudos													
	Coordenadas			Vinculación exterior									Vinculación interior	
	X (m)	Y (m)	Z (m)	Δ_x	Δ_y	Δ_z	θ_x	θ_y	θ_z	$K_{\Delta x}$ (kN/m)	$K_{\Delta y}$ (kN/m)	$K_{\Delta z}$ (kN/m)		
N1	0.000	0.000	6.000	-	-	-	-	-	-	-	-	-	Empotrado	
N2	0.000	0.000	-6.000	X	X	X	-	-	-	1000	1000	1000	Empotrado	
N3	0.000	0.000	-5.000	X	X	X	-	-	-	1000	1000	1000	Empotrado	
N4	0.000	0.000	-4.000	X	X	X	-	-	-	1000	1000	1000	Empotrado	
N5	0.000	0.000	-3.000	X	X	X	-	-	-	1000	1000	1000	Empotrado	
N6	0.000	0.000	-2.000	X	X	X	-	-	-	1000	1000	1000	Empotrado	
N7	0.000	0.000	-1.000	X	X	X	-	-	-	1000	1000	1000	Empotrado	
N8	0.000	0.000	0.000	X	X	X	-	-	-	1000	1000	1000	Empotrado	
N9	0.000	0.000	1.000	X	X	X	-	-	-	1000	1000	1000	Empotrado	

2.1.2.- Barras

2.1.2.1.- Materiales utilizados

Materiales utilizados						
Material Tipo	Designación	E (MPa)	v	G (MPa)	f_y (MPa)	α_t (m/m°C)
Acero laminado	S355	210000.00	0.300	81000.00	355.00	0.000012
<i>Notación:</i>						
<i>E: Módulo de elasticidad</i>						
<i>v: Módulo de Poisson</i>						
<i>G: Módulo de cortadura</i>						
<i>f_y: Límite elástico</i>						
<i>α_t: Coeficiente de dilatación</i>						
<i>γ: Peso específico</i>						

2.1.2.2.- Descripción

Descripción									
Material		Barra (Ni/Nf)	Pieza (Ni/Nf)	Perfil(Serie)	Longitud (m)	β_{xy}	β_{xz}	$Lb_{Sup.}$ (m)	$Lb_{Inf.}$ (m)
Tipo	Designación								
Acero laminado	S355	N8/N9	N8/N1	609X12 (PILOTE)	1.000	1.00	1.00	-	-
		N9/N1	N8/N1	609X12 (PILOTE)	5.000	1.00	1.00	-	-
		N7/N8	N7/N8	609X12 (PILOTE)	1.000	1.00	1.00	-	-



Listados

Descripción									
Material		Barra	Pieza	Perfil(Serie)	Longitud (m)	β_{xy}	β_{xz}	$Lb_{Sup.}$ (m)	$Lb_{Inf.}$ (m)
Tipo	Designación	(Ni/Nf)	(Ni/Nf)						
	N6/N7	N6/N7	609X12 (PILOTE)	1.000	1.00	1.00	-	-	-
	N5/N6	N5/N6	609X12 (PILOTE)	1.000	1.00	1.00	-	-	-
	N4/N5	N4/N5	609X12 (PILOTE)	1.000	1.00	1.00	-	-	-
	N3/N4	N3/N4	609X12 (PILOTE)	1.000	1.00	1.00	-	-	-
	N2/N3	N2/N3	609X12 (PILOTE)	1.000	1.00	1.00	-	-	-

Notación:

Ni: Nudo inicial
Nf: Nudo final
 β_{xy} : Coeficiente de pandeo en el plano 'XY'
 β_{xz} : Coeficiente de pandeo en el plano 'XZ'
 $Lb_{Sup.}$: Separación entre arriostramientos del ala superior
 $Lb_{Inf.}$: Separación entre arriostramientos del ala inferior

2.1.2.3.- Características mecánicas

Tipos de pieza	
Ref.	Piezas
1	N8/N1, N7/N8, N6/N7, N5/N6, N4/N5, N3/N4 y N2/N3

Características mecánicas									
Material		Ref.	Descripción	A	Avy	Avz	Iyy	Izz	It
Tipo	Designación			(cm ²)	(cm ²)	(cm ²)	(cm ⁴)	(cm ⁴)	(cm ⁴)
Acero laminado	S355	1	609X12, (PILOTE)	225.06	202.56	202.56	100308.92	100308.92	200617.84

Notación:

Ref.: Referencia
A: Área de la sección transversal
Avy: Área de cortante de la sección según el eje local 'Y'
Avz: Área de cortante de la sección según el eje local 'Z'
Iyy: Inercia de la sección alrededor del eje local 'Y'
Izz: Inercia de la sección alrededor del eje local 'Z'
It: Inercia a torsión
Las características mecánicas de las piezas corresponden a la sección en el punto medio de las mismas.

2.1.2.4.- Tabla de medición

Tabla de medición						
Material		Pieza	Perfil(Serie)	Longitud (m)	Volumen (m ³)	Peso (kg)
Tipo	Designación	(Ni/Nf)				
Acero laminado	S355	N8/N1	609X12 (PILOTE)	6.000	0.135	1060.05
		N7/N8	609X12 (PILOTE)	1.000	0.023	176.68
		N6/N7	609X12 (PILOTE)	1.000	0.023	176.68
		N5/N6	609X12 (PILOTE)	1.000	0.023	176.68
		N4/N5	609X12 (PILOTE)	1.000	0.023	176.68
		N3/N4	609X12 (PILOTE)	1.000	0.023	176.68
		N2/N3	609X12 (PILOTE)	1.000	0.023	176.68

Notación:

Ni: Nudo inicial
Nf: Nudo final

**2.1.2.5.- Resumen de medición**

Resumen de medición												
Material		Serie	Perfil	Longitud			Volumen			Peso		
Tipo	Designación			Perfil (m)	Serie (m)	Material (m)	Perfil (m³)	Serie (m³)	Material (m³)	Perfil (kg)	Serie (kg)	Material (kg)
Acero laminado	S355	PILOTE	609X12	12.000	12.000	12.000	0.270	0.270	0.270	2120.10	2120.10	2120.10

2.1.2.6.- Medición de superficies

Acero laminado: Medición de las superficies a pintar				
Serie	Perfil	Superficie unitaria (m²/m)	Longitud (m)	Superficie (m²)
PILOTE	609X12	1.913	12.000	22.959
Total				22.959

2.2.- Cargas**2.2.1.- Nudos**

Cargas en nudos					
Referencia	Hipótesis	Cargas puntuales (kN)	Dirección		
			X	Y	Z
N1	V 1	142.00	0.000	1.000	0.000

2.2.2.- Barras

Referencias:

'P1', 'P2':

- Cargas puntuales, uniformes, en faja y momentos puntuales: 'P1' es el valor de la carga. 'P2' no se utiliza.
- Cargas trapezoidales: 'P1' es el valor de la carga en el punto donde comienza (L1) y 'P2' es el valor de la carga en el punto donde termina (L2).
- Cargas triangulares: 'P1' es el valor máximo de la carga. 'P2' no se utiliza.
- Incrementos de temperatura: 'P1' y 'P2' son los valores de la temperatura en las caras exteriores o paramentos de la pieza. La orientación de la variación del incremento de temperatura sobre la sección transversal dependerá de la dirección seleccionada.

'L1', 'L2':

- Cargas y momentos puntuales: 'L1' es la distancia entre el nudo inicial de la barra y la posición donde se aplica la carga. 'L2' no se utiliza.
- Cargas trapezoidales, en faja, y triangulares: 'L1' es la distancia entre el nudo inicial de la barra y la posición donde comienza la carga, 'L2' es la distancia entre el nudo inicial de la barra y la posición donde termina la carga.

Unidades:

- Cargas puntuales: kN



- Momentos puntuales: kN·m.
- Cargas uniformes, en faja, triangulares y trapezoidales: kN/m.
- Incrementos de temperatura: °C.

Barra	Hipótesis	Tipo	Cargas en barras										
			Valores		Posición		Dirección						
			P1	P2	L1 (m)	L2 (m)	Ejes	X	Y	Z			
N8/N9	Peso propio	Uniforme	1.733	-	-	-	Globales	0.000	0.000	-1.000			
N9/N1	Peso propio	Uniforme	1.733	-	-	-	Globales	0.000	0.000	-1.000			
N7/N8	Peso propio	Uniforme	1.733	-	-	-	Globales	0.000	0.000	-1.000			
N6/N7	Peso propio	Uniforme	1.733	-	-	-	Globales	0.000	0.000	-1.000			
N5/N6	Peso propio	Uniforme	1.733	-	-	-	Globales	0.000	0.000	-1.000			
N4/N5	Peso propio	Uniforme	1.733	-	-	-	Globales	0.000	0.000	-1.000			
N3/N4	Peso propio	Uniforme	1.733	-	-	-	Globales	0.000	0.000	-1.000			
N2/N3	Peso propio	Uniforme	1.733	-	-	-	Globales	0.000	0.000	-1.000			

2.3.- Resultados

2.3.1.- Nudos

2.3.1.1.- Desplazamientos

Referencias:

Dx, Dy, Dz: Desplazamientos de los nudos en ejes globales.
Gx, Gy, Gz: Giros de los nudos en ejes globales.

2.3.1.1.1.- Hipótesis

Desplazamientos de los nudos, por hipótesis							
Referencia	Descripción	Desplazamientos en ejes globales					
		Dx (mm)	Dy (mm)	Dz (mm)	Gx (mRad)	Gy (mRad)	Gz (mRad)
N1	Peso propio	0.000	0.000	-2.608	0.000	0.000	0.000
	V 1	0.000	346.930	0.000	-46.794	0.000	0.000
N2	Peso propio	0.000	0.000	-2.597	0.000	0.000	0.000
	V 1	0.000	-76.866	0.000	-24.618	0.000	0.000
N3	Peso propio	0.000	0.000	-2.598	0.000	0.000	0.000
	V 1	0.000	-52.235	0.000	-24.800	0.000	0.000
N4	Peso propio	0.000	0.000	-2.598	0.000	0.000	0.000
	V 1	0.000	-27.229	0.000	-25.471	0.000	0.000
N5	Peso propio	0.000	0.000	-2.599	0.000	0.000	0.000
	V 1	0.000	-1.240	0.000	-26.820	0.000	0.000
N6	Peso propio	0.000	0.000	-2.600	0.000	0.000	0.000
	V 1	0.000	26.468	0.000	-28.914	0.000	0.000
N7	Peso propio	0.000	0.000	-2.601	0.000	0.000	0.000
	V 1	0.000	56.640	0.000	-31.693	0.000	0.000
N8	Peso propio	0.000	0.000	-2.602	0.000	0.000	0.000
	V 1	0.000	89.891	0.000	-34.960	0.000	0.000
N9	Peso propio	0.000	0.000	-2.604	0.000	0.000	0.000
	V 1	0.000	126.571	0.000	-38.367	0.000	0.000



Listados

2.3.1.1.2.- Combinaciones

Referencia	Combinación		Desplazamientos en ejes globales					
	Tipo	Descripción	Dx (mm)	Dy (mm)	Dz (mm)	Gx (mRad)	Gy (mRad)	Gz (mRad)
N1	Desplazamientos	PP	0.000	0.000	-2.608	0.000	0.000	0.000
		PP+V1	0.000	346.930	-2.608	-46.794	0.000	0.000
N2	Desplazamientos	PP	0.000	0.000	-2.597	0.000	0.000	0.000
		PP+V1	0.000	-76.866	-2.597	-24.618	0.000	0.000
N3	Desplazamientos	PP	0.000	0.000	-2.598	0.000	0.000	0.000
		PP+V1	0.000	-52.235	-2.598	-24.800	0.000	0.000
N4	Desplazamientos	PP	0.000	0.000	-2.598	0.000	0.000	0.000
		PP+V1	0.000	-27.229	-2.598	-25.471	0.000	0.000
N5	Desplazamientos	PP	0.000	0.000	-2.599	0.000	0.000	0.000
		PP+V1	0.000	-1.240	-2.599	-26.820	0.000	0.000
N6	Desplazamientos	PP	0.000	0.000	-2.600	0.000	0.000	0.000
		PP+V1	0.000	26.468	-2.600	-28.914	0.000	0.000
N7	Desplazamientos	PP	0.000	0.000	-2.601	0.000	0.000	0.000
		PP+V1	0.000	56.640	-2.601	-31.693	0.000	0.000
N8	Desplazamientos	PP	0.000	0.000	-2.602	0.000	0.000	0.000
		PP+V1	0.000	89.891	-2.602	-34.960	0.000	0.000
N9	Desplazamientos	PP	0.000	0.000	-2.604	0.000	0.000	0.000
		PP+V1	0.000	126.571	-2.604	-38.367	0.000	0.000

2.3.1.1.3.- Envolventes

Referencia	Combinación		Desplazamientos en ejes globales					
	Tipo	Descripción	Dx (mm)	Dy (mm)	Dz (mm)	Gx (mRad)	Gy (mRad)	Gz (mRad)
N1	Desplazamientos	Valor mínimo de la envolvente	0.000	0.000	-2.608	-46.794	0.000	0.000
		Valor máximo de la envolvente	0.000	346.930	-2.608	0.000	0.000	0.000
N2	Desplazamientos	Valor mínimo de la envolvente	0.000	-76.866	-2.597	-24.618	0.000	0.000
		Valor máximo de la envolvente	0.000	0.000	-2.597	0.000	0.000	0.000
N3	Desplazamientos	Valor mínimo de la envolvente	0.000	-52.235	-2.598	-24.800	0.000	0.000
		Valor máximo de la envolvente	0.000	0.000	-2.598	0.000	0.000	0.000
N4	Desplazamientos	Valor mínimo de la envolvente	0.000	-27.229	-2.598	-25.471	0.000	0.000
		Valor máximo de la envolvente	0.000	0.000	-2.598	0.000	0.000	0.000



Listados

Envolvente de los desplazamientos en nudos									
Referencia	Combinación			Desplazamientos en ejes globales					
	Tipo	Descripción		Dx (mm)	Dy (mm)	Dz (mm)	Gx (mRad)	Gy (mRad)	Gz (mRad)
N5	Desplazamientos	Valor mínimo de la envolvente		0.000	-1.240	-2.599	-26.820	0.000	0.000
		Valor máximo de la envolvente		0.000	0.000	-2.599	0.000	0.000	0.000
N6	Desplazamientos	Valor mínimo de la envolvente		0.000	0.000	-2.600	-28.914	0.000	0.000
		Valor máximo de la envolvente		0.000	26.468	-2.600	0.000	0.000	0.000
N7	Desplazamientos	Valor mínimo de la envolvente		0.000	0.000	-2.601	-31.693	0.000	0.000
		Valor máximo de la envolvente		0.000	56.640	-2.601	0.000	0.000	0.000
N8	Desplazamientos	Valor mínimo de la envolvente		0.000	0.000	-2.602	-34.960	0.000	0.000
		Valor máximo de la envolvente		0.000	89.891	-2.602	0.000	0.000	0.000
N9	Desplazamientos	Valor mínimo de la envolvente		0.000	0.000	-2.604	-38.367	0.000	0.000
		Valor máximo de la envolvente		0.000	126.571	-2.604	0.000	0.000	0.000

2.3.1.2.- Reacciones

Referencias:

Rx, Ry, Rz: Reacciones en nudos con desplazamientos coaccionados (fuerzas).

Mx, My, Mz: Reacciones en nudos con giros coaccionados (momentos).

2.3.1.2.1.- Hipótesis

Reacciones en los nudos, por hipótesis						
Referencia	Descripción	Reacciones en ejes globales				
		Rx (kN)	Ry (kN)	Rz (kN)	Mx (kN·m)	My (kN·m)
N2	Peso propio	0.000	0.000	2.597	0.00	0.00
	V 1	0.000	76.866	0.000	0.00	0.00
N3	Peso propio	0.000	0.000	2.598	0.00	0.00
	V 1	0.000	52.235	0.000	0.00	0.00
N4	Peso propio	0.000	0.000	2.598	0.00	0.00
	V 1	0.000	27.229	0.000	0.00	0.00
N5	Peso propio	0.000	0.000	2.599	0.00	0.00
	V 1	0.000	1.240	0.000	0.00	0.00
N6	Peso propio	0.000	0.000	2.600	0.00	0.00
	V 1	0.000	-26.468	0.000	0.00	0.00



Listados

Reacciones en los nudos, por hipótesis						
Referencia	Descripción	Reacciones en ejes globales				
		Rx (kN)	Ry (kN)	Rz (kN)	Mx (kN·m)	My (kN·m)
N7	Peso propio	0.000	0.000	2.601	0.00	0.00
	V 1	0.000	-56.640	0.000	0.00	0.00
N8	Peso propio	0.000	0.000	2.602	0.00	0.00
	V 1	0.000	-89.891	0.000	0.00	0.00
N9	Peso propio	0.000	0.000	2.604	0.00	0.00
	V 1	0.000	-126.571	0.000	0.00	0.00

2.3.1.2.2.- Combinaciones

Reacciones en los nudos, por combinación								
Referencia	Combinación		Reacciones en ejes globales					
	Tipo	Descripción	Rx (kN)	Ry (kN)	Rz (kN)	Mx (kN·m)	My (kN·m)	Mz (kN·m)
N2	Hormigón en cimentaciones	PP	0.000	0.000	2.597	0.00	0.00	0.00
		1.6·PP	0.000	0.000	4.156	0.00	0.00	0.00
		PP+1.6·V1	0.000	122.985	2.597	0.00	0.00	0.00
		1.6·PP+1.6·V1	0.000	122.985	4.156	0.00	0.00	0.00
	Tensiones sobre el terreno	PP	0.000	0.000	2.597	0.00	0.00	0.00
		PP+V1	0.000	76.866	2.597	0.00	0.00	0.00
N3	Hormigón en cimentaciones	PP	0.000	0.000	2.598	0.00	0.00	0.00
		1.6·PP	0.000	0.000	4.156	0.00	0.00	0.00
		PP+1.6·V1	0.000	83.575	2.598	0.00	0.00	0.00
		1.6·PP+1.6·V1	0.000	83.575	4.156	0.00	0.00	0.00
	Tensiones sobre el terreno	PP	0.000	0.000	2.598	0.00	0.00	0.00
		PP+V1	0.000	52.235	2.598	0.00	0.00	0.00
N4	Hormigón en cimentaciones	PP	0.000	0.000	2.598	0.00	0.00	0.00
		1.6·PP	0.000	0.000	4.157	0.00	0.00	0.00
		PP+1.6·V1	0.000	43.566	2.598	0.00	0.00	0.00
		1.6·PP+1.6·V1	0.000	43.566	4.157	0.00	0.00	0.00
	Tensiones sobre el terreno	PP	0.000	0.000	2.598	0.00	0.00	0.00



Listados

Reacciones en los nudos, por combinación								
Referencia	Combinación		Reacciones en ejes globales					
	Referencia	Tipo	Descripción	Rx (kN)	Ry (kN)	Rz (kN)	Mx (kN·m)	My (kN·m)
		PP+V1	0.000	27.229	2.598	0.00	0.00	0.00
N5	Hormigón en cimentaciones	PP	0.000	0.000	2.599	0.00	0.00	0.00
		1.6·PP	0.000	0.000	4.158	0.00	0.00	0.00
		PP+1.6·V1	0.000	1.985	2.599	0.00	0.00	0.00
		1.6·PP+1.6·V1	0.000	1.985	4.158	0.00	0.00	0.00
	Tensiones sobre el terreno	PP	0.000	0.000	2.599	0.00	0.00	0.00
		PP+V1	0.000	1.240	2.599	0.00	0.00	0.00
N6	Hormigón en cimentaciones	PP	0.000	0.000	2.600	0.00	0.00	0.00
		1.6·PP	0.000	0.000	4.160	0.00	0.00	0.00
		PP+1.6·V1	0.000	-42.349	2.600	0.00	0.00	0.00
		1.6·PP+1.6·V1	0.000	-42.349	4.160	0.00	0.00	0.00
	Tensiones sobre el terreno	PP	0.000	0.000	2.600	0.00	0.00	0.00
		PP+V1	0.000	-26.468	2.600	0.00	0.00	0.00
N7	Hormigón en cimentaciones	PP	0.000	0.000	2.601	0.00	0.00	0.00
		1.6·PP	0.000	0.000	4.161	0.00	0.00	0.00
		PP+1.6·V1	0.000	-90.623	2.601	0.00	0.00	0.00
		1.6·PP+1.6·V1	0.000	-90.623	4.161	0.00	0.00	0.00
	Tensiones sobre el terreno	PP	0.000	0.000	2.601	0.00	0.00	0.00
		PP+V1	0.000	-56.640	2.601	0.00	0.00	0.00
N8	Hormigón en cimentaciones	PP	0.000	0.000	2.602	0.00	0.00	0.00
		1.6·PP	0.000	0.000	4.163	0.00	0.00	0.00
		PP+1.6·V1	0.000	-	2.602	0.00	0.00	0.00
		1.6·PP+1.6·V1	0.000	-143.826	4.163	0.00	0.00	0.00
	Tensiones sobre el terreno	PP	0.000	0.000	2.602	0.00	0.00	0.00



Listados

Reacciones en los nudos, por combinación								
Referencia	Combinación		Reacciones en ejes globales					
	Referencia	Tipo	Descripción	Rx (kN)	Ry (kN)	Rz (kN)	Mx (kN·m)	My (kN·m)
		PP+V1	0.000	-89.891	2.602	0.00	0.00	0.00
N9	Hormigón en cimentaciones	PP	0.000	0.000	2.604	0.00	0.00	0.00
		1.6·PP	0.000	0.000	4.166	0.00	0.00	0.00
		PP+1.6·V1	0.000	-202.513	2.604	0.00	0.00	0.00
		1.6·PP+1.6·V1	0.000	-202.513	4.166	0.00	0.00	0.00
	Tensiones sobre el terreno	PP	0.000	0.000	2.604	0.00	0.00	0.00
		PP+V1	0.000	-126.571	2.604	0.00	0.00	0.00

Nota: Las combinaciones de hormigón indicadas son las mismas que se utilizan para comprobar el estado límite de equilibrio en la cimentación.

2.3.1.2.3.- Envolventes

Envolventes de las reacciones en nudos								
Referencia	Combinación		Reacciones en ejes globales					
	Referencia	Tipo	Descripción	Rx (kN)	Ry (kN)	Rz (kN)	Mx (kN·m)	My (kN·m)
N2	Hormigón en cimentaciones	Valor mínimo de la envolvente	0.000	0.000	2.597	0.00	0.00	0.00
		Valor máximo de la envolvente	0.000	122.985	4.156	0.00	0.00	0.00
	Tensiones sobre el terreno	Valor mínimo de la envolvente	0.000	0.000	2.597	0.00	0.00	0.00
		Valor máximo de la envolvente	0.000	76.866	2.597	0.00	0.00	0.00
	N3	Valor mínimo de la envolvente	0.000	0.000	2.598	0.00	0.00	0.00
		Valor máximo de la envolvente	0.000	83.575	4.156	0.00	0.00	0.00
N4	Hormigón en cimentaciones	Valor mínimo de la envolvente	0.000	0.000	2.598	0.00	0.00	0.00
		Valor máximo de la envolvente	0.000	43.566	4.157	0.00	0.00	0.00
	Tensiones sobre el terreno	Valor mínimo de la envolvente	0.000	0.000	2.598	0.00	0.00	0.00
		Valor máximo de la envolvente	0.000	27.229	2.598	0.00	0.00	0.00



Listados

Envolventes de las reacciones en nudos								
Referencia	Combinación		Reacciones en ejes globales					
	Tipo	Descripción	Rx (kN)	Ry (kN)	Rz (kN)	Mx (kN·m)	My (kN·m)	Mz (kN·m)
N5	Hormigón en cimentaciones	Valor mínimo de la envolvente	0.000	0.000	2.599	0.00	0.00	0.00
		Valor máximo de la envolvente	0.000	1.985	4.158	0.00	0.00	0.00
	Tensiones sobre el terreno	Valor mínimo de la envolvente	0.000	0.000	2.599	0.00	0.00	0.00
		Valor máximo de la envolvente	0.000	1.240	2.599	0.00	0.00	0.00
N6	Hormigón en cimentaciones	Valor mínimo de la envolvente	0.000	-42.349	2.600	0.00	0.00	0.00
		Valor máximo de la envolvente	0.000	0.000	4.160	0.00	0.00	0.00
	Tensiones sobre el terreno	Valor mínimo de la envolvente	0.000	-26.468	2.600	0.00	0.00	0.00
		Valor máximo de la envolvente	0.000	0.000	2.600	0.00	0.00	0.00
N7	Hormigón en cimentaciones	Valor mínimo de la envolvente	0.000	-90.623	2.601	0.00	0.00	0.00
		Valor máximo de la envolvente	0.000	0.000	4.161	0.00	0.00	0.00
	Tensiones sobre el terreno	Valor mínimo de la envolvente	0.000	-56.640	2.601	0.00	0.00	0.00
		Valor máximo de la envolvente	0.000	0.000	2.601	0.00	0.00	0.00
N8	Hormigón en cimentaciones	Valor mínimo de la envolvente	0.000	-143.826	2.602	0.00	0.00	0.00
		Valor máximo de la envolvente	0.000	0.000	4.163	0.00	0.00	0.00
	Tensiones sobre el terreno	Valor mínimo de la envolvente	0.000	-89.891	2.602	0.00	0.00	0.00
		Valor máximo de la envolvente	0.000	0.000	2.602	0.00	0.00	0.00
N9	Hormigón en cimentaciones	Valor mínimo de la envolvente	0.000	-202.513	2.604	0.00	0.00	0.00
		Valor máximo de la envolvente	0.000	0.000	4.166	0.00	0.00	0.00
	Tensiones sobre el terreno	Valor mínimo de la envolvente	0.000	-126.571	2.604	0.00	0.00	0.00
		Valor máximo de la envolvente	0.000	0.000	2.604	0.00	0.00	0.00

Nota: Las combinaciones de hormigón indicadas son las mismas que se utilizan para comprobar el estado límite de equilibrio en la cimentación.

2.3.2.- Barras



Listados

2.3.2.1.- Esfuerzos

Referencias:

N: Esfuerzo axil (kN)

Vy: Esfuerzo cortante según el eje local Y de la barra. (kN)

Vz: Esfuerzo cortante según el eje local Z de la barra. (kN)

Mt: Momento torsor (kN·m)

My: Momento flector en el plano 'XZ' (giro de la sección respecto al eje local 'Y' de la barra). (kN·m)

Mz: Momento flector en el plano 'XY' (giro de la sección respecto al eje local 'Z' de la barra). (kN·m)

2.3.2.1.1.- Hipótesis

Barra	Hipótesis	Esfuerzo	Posiciones en la barra				
			0.000 m	0.250 m	0.500 m	0.750 m	1.000 m
N8/N9	Peso propio	N	-7.795	-7.362	-6.929	-6.496	-6.062
		Vy	0.000	0.000	0.000	0.000	0.000
		Vz	0.000	0.000	0.000	0.000	0.000
		Mt	0.00	0.00	0.00	0.00	0.00
		My	0.00	0.00	0.00	0.00	0.00
		Mz	0.00	0.00	0.00	0.00	0.00
	V 1	N	0.000	0.000	0.000	0.000	0.000
		Vy	0.000	0.000	0.000	0.000	0.000
		Vz	15.429	15.429	15.429	15.429	15.429
		Mt	0.00	0.00	0.00	0.00	0.00
		My	725.43	721.57	717.71	713.86	710.00
		Mz	0.00	0.00	0.00	0.00	0.00

Barra	Hipótesis	Esfuerzo	Posiciones en la barra								
			0.000 m	0.625 m	1.250 m	1.875 m	2.500 m	3.125 m	3.750 m	4.375 m	5.000 m
N9/N1	Peso propio	N	-8.666	-7.583	-6.499	-5.416	-4.333	-3.250	-2.166	-1.083	0.000
		Vy	0.000	0.000	0.000	0.000	0.000	0.000	0.000	0.000	0.000
		Vz	0.000	0.000	0.000	0.000	0.000	0.000	0.000	0.000	0.000
		Mt	0.00	0.00	0.00	0.00	0.00	0.00	0.00	0.00	0.00
		My	0.00	0.00	0.00	0.00	0.00	0.00	0.00	0.00	0.00
		Mz	0.00	0.00	0.00	0.00	0.00	0.00	0.00	0.00	0.00
	V 1	N	0.000	0.000	0.000	0.000	0.000	0.000	0.000	0.000	0.000
		Vy	0.000	0.000	0.000	0.000	0.000	0.000	0.000	0.000	0.000
		Vz	142.00	142.00	142.00	142.00	142.00	142.00	142.00	142.00	142.00
		Mt	0.00	0.00	0.00	0.00	0.00	0.00	0.00	0.00	0.00
		My	710.00	621.25	532.50	443.75	355.00	266.25	177.50	88.75	0.00
		Mz	0.00	0.00	0.00	0.00	0.00	0.00	0.00	0.00	0.00

Barra	Hipótesis	Esfuerzo	Posiciones en la barra				
			0.000 m	0.250 m	0.500 m	0.750 m	1.000 m



Listados

Esfuerzos en barras, por hipótesis							
Barra	Hipótesis	Esfuerzo	Posiciones en la barra				
			0.000 m	0.250 m	0.500 m	0.750 m	1.000 m
N7/N8	Peso propio	N	-6.927	-6.493	-6.060	-5.627	-5.193
		Vy	0.000	0.000	0.000	0.000	0.000
		Vz	0.000	0.000	0.000	0.000	0.000
		Mt	0.00	0.00	0.00	0.00	0.00
		My	0.00	0.00	0.00	0.00	0.00
		Mz	0.00	0.00	0.00	0.00	0.00
	V 1	N	0.000	0.000	0.000	0.000	0.000
		Vy	0.000	0.000	0.000	0.000	0.000
		Vz	-74.462	-74.462	-74.462	-74.462	-74.462
		Mt	0.00	0.00	0.00	0.00	0.00
		My	650.97	669.58	688.20	706.81	725.43
		Mz	0.00	0.00	0.00	0.00	0.00

Esfuerzos en barras, por hipótesis							
Barra	Hipótesis	Esfuerzo	Posiciones en la barra				
			0.000 m	0.250 m	0.500 m	0.750 m	1.000 m
N6/N7	Peso propio	N	-6.059	-5.626	-5.192	-4.759	-4.326
		Vy	0.000	0.000	0.000	0.000	0.000
		Vz	0.000	0.000	0.000	0.000	0.000
		Mt	0.00	0.00	0.00	0.00	0.00
		My	0.00	0.00	0.00	0.00	0.00
		Mz	0.00	0.00	0.00	0.00	0.00
	V 1	N	0.000	0.000	0.000	0.000	0.000
		Vy	0.000	0.000	0.000	0.000	0.000
		Vz	-131.102	-131.102	-131.102	-131.102	-131.102
		Mt	0.00	0.00	0.00	0.00	0.00
		My	519.87	552.64	585.42	618.19	650.97
		Mz	0.00	0.00	0.00	0.00	0.00

Esfuerzos en barras, por hipótesis							
Barra	Hipótesis	Esfuerzo	Posiciones en la barra				
			0.000 m	0.250 m	0.500 m	0.750 m	1.000 m
N5/N6	Peso propio	N	-5.192	-4.759	-4.326	-3.892	-3.459
		Vy	0.000	0.000	0.000	0.000	0.000
		Vz	0.000	0.000	0.000	0.000	0.000
		Mt	0.00	0.00	0.00	0.00	0.00
		My	0.00	0.00	0.00	0.00	0.00
		Mz	0.00	0.00	0.00	0.00	0.00
	V 1	N	0.000	0.000	0.000	0.000	0.000
		Vy	0.000	0.000	0.000	0.000	0.000
		Vz	-157.570	-157.570	-157.570	-157.570	-157.570
		Mt	0.00	0.00	0.00	0.00	0.00
		My	362.30	401.69	441.08	480.47	519.87
		Mz	0.00	0.00	0.00	0.00	0.00



Listados

Esfuerzos en barras, por hipótesis							
Barra	Hipótesis	Esfuerzo	Posiciones en la barra				
			0.000 m	0.250 m	0.500 m	0.750 m	
N4/N5	Peso propio	N	-4.327	-3.893	-3.460	-3.027	-2.593
		Vy	0.000	0.000	0.000	0.000	0.000
		Vz	0.000	0.000	0.000	0.000	0.000
		Mt	0.00	0.00	0.00	0.00	0.00
		My	0.00	0.00	0.00	0.00	0.00
		Mz	0.00	0.00	0.00	0.00	0.00
	V 1	N	0.000	0.000	0.000	0.000	0.000
		Vy	0.000	0.000	0.000	0.000	0.000
		Vz	-156.329	-156.329	-156.329	-156.329	-156.329
		Mt	0.00	0.00	0.00	0.00	0.00
		My	205.97	245.05	284.13	323.21	362.30
		Mz	0.00	0.00	0.00	0.00	0.00

Esfuerzos en barras, por hipótesis							
Barra	Hipótesis	Esfuerzo	Posiciones en la barra				
			0.000 m	0.250 m	0.500 m	0.750 m	
N3/N4	Peso propio	N	-3.462	-3.028	-2.595	-2.162	-1.728
		Vy	0.000	0.000	0.000	0.000	0.000
		Vz	0.000	0.000	0.000	0.000	0.000
		Mt	0.00	0.00	0.00	0.00	0.00
		My	0.00	0.00	0.00	0.00	0.00
		Mz	0.00	0.00	0.00	0.00	0.00
	V 1	N	0.000	0.000	0.000	0.000	0.000
		Vy	0.000	0.000	0.000	0.000	0.000
		Vz	-129.100	-129.100	-129.100	-129.100	-129.100
		Mt	0.00	0.00	0.00	0.00	0.00
		My	76.87	109.14	141.42	173.69	205.97
		Mz	0.00	0.00	0.00	0.00	0.00

Esfuerzos en barras, por hipótesis							
Barra	Hipótesis	Esfuerzo	Posiciones en la barra				
			0.000 m	0.250 m	0.500 m	0.750 m	
N2/N3	Peso propio	N	-2.597	-2.164	-1.731	-1.297	-0.864
		Vy	0.000	0.000	0.000	0.000	0.000
		Vz	0.000	0.000	0.000	0.000	0.000
		Mt	0.00	0.00	0.00	0.00	0.00
		My	0.00	0.00	0.00	0.00	0.00
		Mz	0.00	0.00	0.00	0.00	0.00
	V 1	N	0.000	0.000	0.000	0.000	0.000
		Vy	0.000	0.000	0.000	0.000	0.000
		Vz	-76.866	-76.866	-76.866	-76.866	-76.866
		Mt	0.00	0.00	0.00	0.00	0.00
		My	0.00	19.22	38.43	57.65	76.87
		Mz	0.00	0.00	0.00	0.00	0.00



Listados

2.3.2.1.2.- Combinaciones

Esfuerzos en barras, por combinación								
Barra	Combinación		Esfuerzo	Posiciones en la barra				
	Tipo	Descripción		0.000 m	0.250 m	0.500 m	0.750 m	1.000 m
N8/N9	Acero laminado	0.8·PP	N	-6.236	-5.890	-5.543	-5.196	-4.850
			Vy	0.000	0.000	0.000	0.000	0.000
			Vz	0.000	0.000	0.000	0.000	0.000
			Mt	0.00	0.00	0.00	0.00	0.00
			My	0.00	0.00	0.00	0.00	0.00
			Mz	0.00	0.00	0.00	0.00	0.00
	1.35·PP	1.35·PP	N	-10.524	-9.939	-9.354	-8.769	-8.184
			Vy	0.000	0.000	0.000	0.000	0.000
			Vz	0.000	0.000	0.000	0.000	0.000
			Mt	0.00	0.00	0.00	0.00	0.00
			My	0.00	0.00	0.00	0.00	0.00
			Mz	0.00	0.00	0.00	0.00	0.00
	0.8·PP+1.5·V1	0.8·PP+1.5·V1	N	-6.236	-5.890	-5.543	-5.196	-4.850
			Vy	0.000	0.000	0.000	0.000	0.000
			Vz	23.144	23.144	23.144	23.144	23.144
			Mt	0.00	0.00	0.00	0.00	0.00
			My	1088.14	1082.36	1076.57	1070.79	1065.00
			Mz	0.00	0.00	0.00	0.00	0.00
	1.35·PP+1.5·V1	1.35·PP+1.5·V1	N	-10.524	-9.939	-9.354	-8.769	-8.184
			Vy	0.000	0.000	0.000	0.000	0.000
			Vz	23.144	23.144	23.144	23.144	23.144
			Mt	0.00	0.00	0.00	0.00	0.00
			My	1088.14	1082.36	1076.57	1070.79	1065.00
			Mz	0.00	0.00	0.00	0.00	0.00



Listados

Esfuerzos en barras, por combinación												
Barra	Combinación		Esfuerzo	Posiciones en la barra								
	Tipo	Descripción		0.000 m	0.625 m	1.250 m	1.875 m	2.500 m	3.125 m	3.750 m	4.375 m	5.000 m
			Vz	213.000	213.000	213.000	213.000	213.000	213.000	213.000	213.000	
			Mt	0.000	0.000	0.000	0.000	0.000	0.000	0.000	0.000	
			My	1065.00	931.88	798.75	665.63	532.50	399.38	266.25	133.13	0.00
			Mz	0.000	0.000	0.000	0.000	0.000	0.000	0.000	0.000	
		1.35·PP+1.5·V1	N	-	-	-8.774	-7.312	-5.849	-4.387	-2.925	-1.462	0.000
			Vy	0.000	0.000	0.000	0.000	0.000	0.000	0.000	0.000	0.000
			Vz	213.000	213.000	213.000	213.000	213.000	213.000	213.000	213.000	213.000
			Mt	0.000	0.000	0.000	0.000	0.000	0.000	0.000	0.000	0.000
			My	1065.00	931.88	798.75	665.63	532.50	399.38	266.25	133.13	0.00
			Mz	0.000	0.000	0.000	0.000	0.000	0.000	0.000	0.000	0.000
Esfuerzos en barras, por combinación												
Barra	Combinación		Esfuerzo	Posiciones en la barra								
	Tipo	Descripción		0.000 m	0.250 m	0.500 m	0.750 m	1.000 m				
N7/N8	Acero laminado	0.8·PP	N	-5.541	-5.195	-4.848	-4.501	-4.155				
			Vy	0.000	0.000	0.000	0.000	0.000				
			Vz	0.000	0.000	0.000	0.000	0.000				
			Mt	0.00	0.00	0.00	0.00	0.00				
			My	0.00	0.00	0.00	0.00	0.00				
			Mz	0.00	0.00	0.00	0.00	0.00				
		1.35·PP	N	-9.351	-8.766	-8.181	-7.596	-7.011				
			Vy	0.000	0.000	0.000	0.000	0.000				
			Vz	0.000	0.000	0.000	0.000	0.000				
			Mt	0.00	0.00	0.00	0.00	0.00				
			My	0.00	0.00	0.00	0.00	0.00				
			Mz	0.00	0.00	0.00	0.00	0.00				
		0.8·PP+1.5·V1	N	-5.541	-5.195	-4.848	-4.501	-4.155				
			Vy	0.000	0.000	0.000	0.000	0.000				
			Vz	-	-	-	-	-				
			Mt	0.00	0.00	0.00	0.00	0.00				
			My	976.45	1004.37	1032.30	1060.22	1088.14				
			Mz	0.00	0.00	0.00	0.00	0.00				
		1.35·PP+1.5·V1	N	-9.351	-8.766	-8.181	-7.596	-7.011				
			Vy	0.000	0.000	0.000	0.000	0.000				
			Vz	-	-	-	-	-				
			Mt	0.00	0.00	0.00	0.00	0.00				
			My	976.45	1004.37	1032.30	1060.22	1088.14				
			Mz	0.00	0.00	0.00	0.00	0.00				



Listados

Esfuerzos en barras, por combinación								
Barra	Combinación		Esfuerzo	Posiciones en la barra				
	Tipo	Descripción		0.000 m	0.250 m	0.500 m	0.750 m	1.000 m
N6/N 7	Acero laminado	0.8·PP	N	-4.847	-4.500	-4.154	-3.807	-3.461
			Vy	0.000	0.000	0.000	0.000	0.000
			Vz	0.000	0.000	0.000	0.000	0.000
			Mt	0.00	0.00	0.00	0.00	0.00
			My	0.00	0.00	0.00	0.00	0.00
			Mz	0.00	0.00	0.00	0.00	0.00
	1.35·PP		N	-8.179	-7.594	-7.009	-6.425	-5.840
			Vy	0.000	0.000	0.000	0.000	0.000
			Vz	0.000	0.000	0.000	0.000	0.000
			Mt	0.00	0.00	0.00	0.00	0.00
			My	0.00	0.00	0.00	0.00	0.00
			Mz	0.00	0.00	0.00	0.00	0.00
	0.8·PP+1.5·V1		N	-4.847	-4.500	-4.154	-3.807	-3.461
			Vy	0.000	0.000	0.000	0.000	0.000
			Vz	-	-	-	-	-
			Mt	0.00	0.00	0.00	0.00	0.00
			My	779.80	828.96	878.12	927.29	976.45
			Mz	0.00	0.00	0.00	0.00	0.00
	1.35·PP+1.5·V1		N	-8.179	-7.594	-7.009	-6.425	-5.840
			Vy	0.000	0.000	0.000	0.000	0.000
			Vz	-	-	-	-	-
			Mt	0.00	0.00	0.00	0.00	0.00
			My	779.80	828.96	878.12	927.29	976.45
			Mz	0.00	0.00	0.00	0.00	0.00

Esfuerzos en barras, por combinación								
Barra	Combinación		Esfuerzo	Posiciones en la barra				
	Tipo	Descripción		0.000 m	0.250 m	0.500 m	0.750 m	1.000 m
N5/N 6	Acero laminado	0.8·PP	N	-4.154	-3.807	-3.461	-3.114	-2.767
			Vy	0.000	0.000	0.000	0.000	0.000
			Vz	0.000	0.000	0.000	0.000	0.000
			Mt	0.00	0.00	0.00	0.00	0.00
			My	0.00	0.00	0.00	0.00	0.00
			Mz	0.00	0.00	0.00	0.00	0.00
	1.35·PP		N	-7.009	-6.425	-5.840	-5.255	-4.670
			Vy	0.000	0.000	0.000	0.000	0.000
			Vz	0.000	0.000	0.000	0.000	0.000
			Mt	0.00	0.00	0.00	0.00	0.00
			My	0.00	0.00	0.00	0.00	0.00
			Mz	0.00	0.00	0.00	0.00	0.00
	0.8·PP+1.5·V1	N	-4.154	-3.807	-3.461	-3.114	-2.767	



Listados

Esfuerzos en barras, por combinación								
Barra	Combinación		Esfuerzo	Posiciones en la barra				
	Tipo	Descripción		0.000 m	0.250 m	0.500 m	0.750 m	1.000 m
			Vy	0.000	0.000	0.000	0.000	0.000
			Vz	-	-	-	-	-
			Mt	236.355	236.355	236.355	236.355	236.355
			My	0.00	0.00	0.00	0.00	0.00
			Mz	543.44	602.53	661.62	720.71	779.80
		1.35·PP+1.5·V1	N	-7.009	-6.425	-5.840	-5.255	-4.670
			Vy	0.000	0.000	0.000	0.000	0.000
			Vz	-	-	-	-	-
			Mt	236.355	236.355	236.355	236.355	236.355
			My	0.00	0.00	0.00	0.00	0.00
			Mz	543.44	602.53	661.62	720.71	779.80
				0.00	0.00	0.00	0.00	0.00

Esfuerzos en barras, por combinación											
Barra	Combinación		Esfuerzo	Posiciones en la barra							
	Tipo	Descripción		0.000 m	0.250 m	0.500 m	0.750 m	1.000 m			
	N4/N5	Acero laminado	0.8·PP	N	-3.461	-3.115	-2.768	-2.421	-2.075		
				Vy	0.000	0.000	0.000	0.000	0.000		
				Vz	0.000	0.000	0.000	0.000	0.000		
				Mt	0.00	0.00	0.00	0.00	0.00		
				My	0.00	0.00	0.00	0.00	0.00		
				Mz	0.00	0.00	0.00	0.00	0.00		
	1.35·PP			N	-5.841	-5.256	-4.671	-4.086	-3.501		
				Vy	0.000	0.000	0.000	0.000	0.000		
				Vz	0.000	0.000	0.000	0.000	0.000		
				Mt	0.00	0.00	0.00	0.00	0.00		
	0.8·PP+1.5·V1			My	0.00	0.00	0.00	0.00	0.00		
				Mz	0.00	0.00	0.00	0.00	0.00		
				N	-3.461	-3.115	-2.768	-2.421	-2.075		
				Vy	0.000	0.000	0.000	0.000	0.000		
				Vz	-	-	-	-	-		
				Mt	234.494	234.494	234.494	234.494	234.494		
				My	0.00	0.00	0.00	0.00	0.00		
				Mz	308.95	367.57	426.20	484.82	543.44		
	1.35·PP+1.5·V1				0.00	0.00	0.00	0.00	0.00		
				N	-5.841	-5.256	-4.671	-4.086	-3.501		
				Vy	0.000	0.000	0.000	0.000	0.000		
				Vz	-	-	-	-	-		
				Mt	234.494	234.494	234.494	234.494	234.494		
				My	0.00	0.00	0.00	0.00	0.00		
				Mz	308.95	367.57	426.20	484.82	543.44		
					0.00	0.00	0.00	0.00	0.00		



Listados

Esfuerzos en barras, por combinación								
Barra	Combinación		Esfuerzo	Posiciones en la barra				
	Tipo	Descripción		0.000 m	0.250 m	0.500 m	0.750 m	1.000 m
N3/N 4	Acero laminado	0.8·PP	N	-2.769	-2.423	-2.076	-1.729	-1.383
			Vy	0.000	0.000	0.000	0.000	0.000
			Vz	0.000	0.000	0.000	0.000	0.000
			Mt	0.00	0.00	0.00	0.00	0.00
			My	0.00	0.00	0.00	0.00	0.00
			Mz	0.00	0.00	0.00	0.00	0.00
	1.35·PP	1.35·PP	N	-4.673	-4.088	-3.503	-2.918	-2.333
			Vy	0.000	0.000	0.000	0.000	0.000
			Vz	0.000	0.000	0.000	0.000	0.000
			Mt	0.00	0.00	0.00	0.00	0.00
			My	0.00	0.00	0.00	0.00	0.00
			Mz	0.00	0.00	0.00	0.00	0.00
	0.8·PP+1.5·V1	0.8·PP+1.5·V1	N	-2.769	-2.423	-2.076	-1.729	-1.383
			Vy	0.000	0.000	0.000	0.000	0.000
			Vz	-	-	-	-	-
			193.651	193.651	193.651	193.651	193.651	193.651
			Mt	0.00	0.00	0.00	0.00	0.00
			My	115.30	163.71	212.12	260.54	308.95
	1.35·PP+1.5·V 1	1.35·PP+1.5·V 1	Mz	0.00	0.00	0.00	0.00	0.00

Esfuerzos en barras, por combinación								
Barra	Combinación		Esfuerzo	Posiciones en la barra				
	Tipo	Descripción		0.000 m	0.250 m	0.500 m	0.750 m	1.000 m
N2/N 3	Acero laminado	0.8·PP	N	-2.078	-1.731	-1.384	-1.038	-0.691
			Vy	0.000	0.000	0.000	0.000	0.000
			Vz	0.000	0.000	0.000	0.000	0.000
			Mt	0.00	0.00	0.00	0.00	0.00
			My	0.00	0.00	0.00	0.00	0.00
			Mz	0.00	0.00	0.00	0.00	0.00
	1.35·PP	1.35·PP	N	-3.506	-2.921	-2.336	-1.751	-1.166
			Vy	0.000	0.000	0.000	0.000	0.000
			Vz	0.000	0.000	0.000	0.000	0.000
			Mt	0.00	0.00	0.00	0.00	0.00
			My	0.00	0.00	0.00	0.00	0.00
			Mz	0.00	0.00	0.00	0.00	0.00



Listados

Esfuerzos en barras, por combinación								
Barra	Combinación		Esfuerzo	Posiciones en la barra				
	Tipo	Descripción		0.000 m	0.250 m	0.500 m	0.750 m	1.000 m
1	0.8·PP+1.5·V1	N	-2.078	-1.731	-1.384	-1.038	-0.691	
			Vy	0.000	0.000	0.000	0.000	0.000
			Vz	-	-	-	-	-
			115.299	115.299	115.299	115.299	115.299	
			Mt	0.00	0.00	0.00	0.00	0.00
			My	0.00	28.82	57.65	86.47	115.30
	1.35·PP+1.5·V1	Mz	0.00	0.00	0.00	0.00	0.00	
			N	-3.506	-2.921	-2.336	-1.751	-1.166
			Vy	0.000	0.000	0.000	0.000	0.000
			Vz	-	-	-	-	-
			115.299	115.299	115.299	115.299	115.299	
			Mt	0.00	0.00	0.00	0.00	0.00
			My	0.00	28.82	57.65	86.47	115.30
			Mz	0.00	0.00	0.00	0.00	0.00

2.3.2.1.3.- Envoltentes

Envolventes de los esfuerzos en barras							
Barra	Tipo de combinación	Esfuerzo	Posiciones en la barra				
			0.000 m	0.250 m	0.500 m	0.750 m	
N8/N9	Acero laminado	$N_{mín}$	-10.524	-9.939	-9.354	-8.769	-8.184
		$N_{máx}$	-6.236	-5.890	-5.543	-5.196	-4.850
		$Vy_{mín}$	0.000	0.000	0.000	0.000	0.000
		$Vy_{máx}$	0.000	0.000	0.000	0.000	0.000
		$Vz_{mín}$	0.000	0.000	0.000	0.000	0.000
		$Vz_{máx}$	23.144	23.144	23.144	23.144	23.144
		$Mt_{mín}$	0.00	0.00	0.00	0.00	0.00
		$Mt_{máx}$	0.00	0.00	0.00	0.00	0.00
		$My_{mín}$	0.00	0.00	0.00	0.00	0.00
		$My_{máx}$	1088.14	1082.36	1076.57	1070.79	1065.00
		$Mz_{mín}$	0.00	0.00	0.00	0.00	0.00
		$Mz_{máx}$	0.00	0.00	0.00	0.00	0.00



Listados

Envolventes de los esfuerzos en barras											
Barra	Tipo de combinación	Esfuerzo	Posiciones en la barra								
			0.000 m	0.625 m	1.250 m	1.875 m	2.500 m	3.125 m	3.750 m	4.375 m	5.000 m
		My_{\min}	0.00	0.00	0.00	0.00	0.00	0.00	0.00	0.00	0.00
		My_{\max}	1065.00	931.88	798.75	665.63	532.50	399.38	266.25	133.13	0.00
		Mz_{\min}	0.00	0.00	0.00	0.00	0.00	0.00	0.00	0.00	0.00
		Mz_{\max}	0.00	0.00	0.00	0.00	0.00	0.00	0.00	0.00	0.00

Envolventes de los esfuerzos en barras											
Barra	Tipo de combinación	Esfuerzo	Posiciones en la barra								
			0.000 m	0.250 m	0.500 m	0.750 m	1.000 m	0.000 m	0.250 m	0.500 m	0.750 m
N7/N8	Acero laminado	N_{\min}	-9.351	-8.766	-8.181	-7.596	-7.011				
		N_{\max}	-5.541	-5.195	-4.848	-4.501	-4.155				
		Vy_{\min}	0.000	0.000	0.000	0.000	0.000				
		Vy_{\max}	0.000	0.000	0.000	0.000	0.000				
		Vz_{\min}	-111.693	-111.693	-111.693	-111.693	-111.693				
		Vz_{\max}	0.000	0.000	0.000	0.000	0.000				
		Mt_{\min}	0.00	0.00	0.00	0.00	0.00				
		Mt_{\max}	0.00	0.00	0.00	0.00	0.00				
		My_{\min}	0.00	0.00	0.00	0.00	0.00				
		My_{\max}	976.45	1004.37	1032.30	1060.22	1088.14				
		Mz_{\min}	0.00	0.00	0.00	0.00	0.00				
		Mz_{\max}	0.00	0.00	0.00	0.00	0.00				

Envolventes de los esfuerzos en barras											
Barra	Tipo de combinación	Esfuerzo	Posiciones en la barra								
			0.000 m	0.250 m	0.500 m	0.750 m	1.000 m	0.000 m	0.250 m	0.500 m	0.750 m
N6/N7	Acero laminado	N_{\min}	-8.179	-7.594	-7.009	-6.425	-5.840				
		N_{\max}	-4.847	-4.500	-4.154	-3.807	-3.461				
		Vy_{\min}	0.000	0.000	0.000	0.000	0.000				
		Vy_{\max}	0.000	0.000	0.000	0.000	0.000				
		Vz_{\min}	-196.653	-196.653	-196.653	-196.653	-196.653				
		Vz_{\max}	0.000	0.000	0.000	0.000	0.000				
		Mt_{\min}	0.00	0.00	0.00	0.00	0.00				
		Mt_{\max}	0.00	0.00	0.00	0.00	0.00				
		My_{\min}	0.00	0.00	0.00	0.00	0.00				
		My_{\max}	779.80	828.96	878.12	927.29	976.45				
		Mz_{\min}	0.00	0.00	0.00	0.00	0.00				
		Mz_{\max}	0.00	0.00	0.00	0.00	0.00				

Envolventes de los esfuerzos en barras											
Barra	Tipo de combinación	Esfuerzo	Posiciones en la barra								
			0.000 m	0.250 m	0.500 m	0.750 m	1.000 m	0.000 m	0.250 m	0.500 m	0.750 m
N5/N6	Acero laminado	N_{\min}	-7.009	-6.425	-5.840	-5.255	-4.670				
		N_{\max}	-4.154	-3.807	-3.461	-3.114	-2.767				
		Vy_{\min}	0.000	0.000	0.000	0.000	0.000				



Listados

Envolventes de los esfuerzos en barras							
Barra	Tipo de combinación	Esfuerzo	Posiciones en la barra				
			0.000 m	0.250 m	0.500 m	0.750 m	1.000 m
		$Vy_{máx}$	0.000	0.000	0.000	0.000	0.000
		$Vz_{mín}$	-236.355	-236.355	-236.355	-236.355	-236.355
		$Vz_{máx}$	0.000	0.000	0.000	0.000	0.000
		$Mt_{mín}$	0.00	0.00	0.00	0.00	0.00
		$Mt_{máx}$	0.00	0.00	0.00	0.00	0.00
		$My_{mín}$	0.00	0.00	0.00	0.00	0.00
		$My_{máx}$	543.44	602.53	661.62	720.71	779.80
		$Mz_{mín}$	0.00	0.00	0.00	0.00	0.00
		$Mz_{máx}$	0.00	0.00	0.00	0.00	0.00

Envolventes de los esfuerzos en barras							
Barra	Tipo de combinación	Esfuerzo	Posiciones en la barra				
			0.000 m	0.250 m	0.500 m	0.750 m	1.000 m
N4/N5	Acero laminado	$N_{mín}$	-5.841	-5.256	-4.671	-4.086	-3.501
		$N_{máx}$	-3.461	-3.115	-2.768	-2.421	-2.075
		$Vy_{mín}$	0.000	0.000	0.000	0.000	0.000
		$Vy_{máx}$	0.000	0.000	0.000	0.000	0.000
		$Vz_{mín}$	-234.494	-234.494	-234.494	-234.494	-234.494
		$Vz_{máx}$	0.000	0.000	0.000	0.000	0.000
		$Mt_{mín}$	0.00	0.00	0.00	0.00	0.00
		$Mt_{máx}$	0.00	0.00	0.00	0.00	0.00
		$My_{mín}$	0.00	0.00	0.00	0.00	0.00
		$My_{máx}$	308.95	367.57	426.20	484.82	543.44
		$Mz_{mín}$	0.00	0.00	0.00	0.00	0.00
		$Mz_{máx}$	0.00	0.00	0.00	0.00	0.00

Envolventes de los esfuerzos en barras							
Barra	Tipo de combinación	Esfuerzo	Posiciones en la barra				
			0.000 m	0.250 m	0.500 m	0.750 m	1.000 m
N3/N4	Acero laminado	$N_{mín}$	-4.673	-4.088	-3.503	-2.918	-2.333
		$N_{máx}$	-2.769	-2.423	-2.076	-1.729	-1.383
		$Vy_{mín}$	0.000	0.000	0.000	0.000	0.000
		$Vy_{máx}$	0.000	0.000	0.000	0.000	0.000
		$Vz_{mín}$	-193.651	-193.651	-193.651	-193.651	-193.651
		$Vz_{máx}$	0.000	0.000	0.000	0.000	0.000
		$Mt_{mín}$	0.00	0.00	0.00	0.00	0.00
		$Mt_{máx}$	0.00	0.00	0.00	0.00	0.00
		$My_{mín}$	0.00	0.00	0.00	0.00	0.00
		$My_{máx}$	115.30	163.71	212.12	260.54	308.95
		$Mz_{mín}$	0.00	0.00	0.00	0.00	0.00
		$Mz_{máx}$	0.00	0.00	0.00	0.00	0.00

Envolventes de los esfuerzos en barras							
Barra	Tipo de combinación	Esfuerzo	Posiciones en la barra				



Listados

			0.000 m	0.250 m	0.500 m	0.750 m	1.000 m
N2/N3	Acero laminado	N _{mín}	-3.506	-2.921	-2.336	-1.751	-1.166
		N _{máx}	-2.078	-1.731	-1.384	-1.038	-0.691
		V _y _{mín}	0.000	0.000	0.000	0.000	0.000
		V _y _{máx}	0.000	0.000	0.000	0.000	0.000
		V _z _{mín}	-115.299	-115.299	-115.299	-115.299	-115.299
		V _z _{máx}	0.000	0.000	0.000	0.000	0.000
		M _t _{mín}	0.00	0.00	0.00	0.00	0.00
		M _t _{máx}	0.00	0.00	0.00	0.00	0.00
		M _y _{mín}	0.00	0.00	0.00	0.00	0.00
		M _y _{máx}	0.00	28.82	57.65	86.47	115.30
		M _z _{mín}	0.00	0.00	0.00	0.00	0.00
		M _z _{máx}	0.00	0.00	0.00	0.00	0.00

2.3.2.2.- Resistencia

Referencias:

N: Esfuerzo axil (kN)

Vy: Esfuerzo cortante según el eje local Y de la barra. (kN)

Vz: Esfuerzo cortante según el eje local Z de la barra. (kN)

Mt: Momento torsor (kN·m)

My: Momento flector en el plano 'XZ' (giro de la sección respecto al eje local 'Y' de la barra). (kN·m)

Mz: Momento flector en el plano 'XY' (giro de la sección respecto al eje local 'Z' de la barra). (kN·m)

Los esfuerzos indicados son los correspondientes a la combinación pésima, es decir, aquella que demanda la máxima resistencia de la sección.

Origen de los esfuerzos pésimos:

- G: Sólo gravitatorias
- GV: Gravitatorias + viento
- GS: Gravitatorias + sismo
- GVS: Gravitatorias + viento + sismo

η: Aprovechamiento de la resistencia. La barra cumple con las condiciones de resistencia de la norma si se cumple que $\eta \leq 100\%$.

Comprobación de resistencia										
Barra	η (%)	Posición (m)	Esfuerzos pésimos						Origen	Estado
			N (kN)	Vy (kN)	Vz (kN)	Mt (kN·m)	My (kN·m)	Mz (kN·m)		
N8/N9	97.84	0.000	-10.524	0.000	23.144	0.00	1088.14	0.00	GV	Cumple
N9/N1	95.81	0.000	-11.699	0.000	213.000	0.00	1065.00	0.00	GV	Cumple
N7/N8	97.79	1.000	-7.011	0.000	-111.693	0.00	1088.14	0.00	GV	Cumple
N6/N7	87.75	1.000	-5.840	0.000	-196.653	0.00	976.45	0.00	GV	Cumple
N5/N6	70.08	1.000	-4.670	0.000	-236.355	0.00	779.80	0.00	GV	Cumple



Listados

Comprobación de resistencia										
Barra	η (%)	Posición (m)	Esfuerzos pésimos						Origen	Estado
			N (kN)	Vy (kN)	Vz (kN)	Mt (kN·m)	My (kN·m)	Mz (kN·m)		
N4/N5	48.84	1.000	-3.501	0.000	-234.494	0.00	543.44	0.00	GV	Cumple
N3/N4	27.77	1.000	-2.333	0.000	-193.651	0.00	308.95	0.00	GV	Cumple
N2/N3	10.37	1.000	-1.166	0.000	-115.299	0.00	115.30	0.00	GV	Cumple

2.3.2.3.- Flechas

Referencias:

Pos.: Valor de la coordenada sobre el eje 'X' local del grupo de flecha en el punto donde se produce el valor pésimo de la flecha.

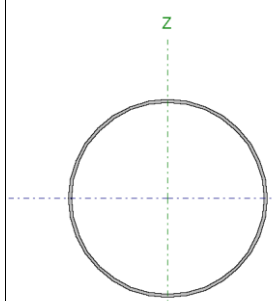
L.: Distancia entre dos puntos de corte consecutivos de la deformada con la recta que une los nudos extremos del grupo de flecha.

Flechas								
Grupo	Flecha máxima absoluta xy Flecha máxima relativa xy		Flecha máxima absoluta xz Flecha máxima relativa xz		Flecha activa absoluta xy Flecha activa relativa xy		Flecha activa absoluta xz Flecha activa relativa xz	
	Pos. (m)	Flecha (mm)	Pos. (m)	Flecha (mm)	Pos. (m)	Flecha (mm)	Pos. (m)	Flecha (mm)
N8/N1	0.000 -	0.00 L/(>1000)	2.563 2.563	9.33 L/643.3	0.000 -	0.00 L/(>1000)	2.563 2.563	9.33 L/643.3
N7/N8	0.000 -	0.00 L/(>1000)	0.500 0.500	0.41 L/(>1000)	0.000 -	0.00 L/(>1000)	0.500 0.500	0.41 L/(>1000)
N6/N7	0.000 -	0.00 L/(>1000)	0.500 0.500	0.35 L/(>1000)	0.000 -	0.00 L/(>1000)	0.500 0.500	0.35 L/(>1000)
N5/N6	0.000 -	0.00 L/(>1000)	0.500 0.500	0.26 L/(>1000)	0.000 -	0.00 L/(>1000)	0.500 0.500	0.26 L/(>1000)
N4/N5	0.000 -	0.00 L/(>1000)	0.500 0.500	0.17 L/(>1000)	0.000 -	0.00 L/(>1000)	0.500 0.500	0.17 L/(>1000)
N3/N4	0.000 -	0.00 L/(>1000)	0.500 0.500	0.08 L/(>1000)	0.000 -	0.00 L/(>1000)	0.500 0.500	0.08 L/(>1000)
N2/N3	0.000 -	0.00 L/(>1000)	0.500 0.500	0.02 L/(>1000)	0.000 -	0.00 L/(>1000)	0.500 0.500	0.02 L/(>1000)

2.3.2.4.- Comprobaciones E.L.U. (Completo)

Barra N8/N9

Perfil: 609X12
Material: Acero (S355)

**Perfil: 609X12****Material: Acero (S355)**

Nudos		Longitud (m)	Características mecánicas			
Inicial	Final		Área (cm ²)	I _y ⁽¹⁾ (cm ⁴)	I _z ⁽¹⁾ (cm ⁴)	I _t ⁽²⁾ (cm ⁴)
N8	N9	1.000	225.06	100308.92	100308.92	200617.84

Notas:

⁽¹⁾ Inercia respecto al eje indicado
⁽²⁾ Momento de inercia a torsión uniforme

	Pandeo		Pandeo lateral	
	Plano XY	Plano XZ	Ala sup.	Ala inf.
β	1.00	1.00	0.00	0.00
L_K	1.000	1.000	0.000	0.000
C_m	1.000	1.000	1.000	1.000
C_1	-		1.000	

Notación:

β : Coeficiente de pandeo
 L_K : Longitud de pandeo (m)
 C_m : Coeficiente de momentos
 C_1 : Factor de modificación para el momento crítico

Limitación de esbeltez (CTE DB SE-A, Artículos 6.3.1 y 6.3.2.1 - Tabla 6.3)

La esbeltez reducida $\bar{\lambda}$ de las barras comprimidas debe ser inferior al valor 2.0.

$$\bar{\lambda} : \underline{0.06} \quad \checkmark$$

Donde:

Clase: Clase de la sección, según la capacidad de deformación y de desarrollo de la resistencia plástica de los elementos planos comprimidos de una sección.

Clase : 3

A: Área de la sección bruta para las secciones de clase 1, 2 y 3.

A : 225.06 cm²

f_y: Límite elástico. (CTE DB SE-A, Tabla 4.1)

f_y : 355.00 MPa

N_{cr}: Axil crítico de pandeo elástico.

N_{cr} : 2079019.67 kN

El axil crítico de pandeo elástico **N_{cr}** es el menor de los valores obtenidos en a), b) y c):

a) Axil crítico elástico de pandeo por flexión respecto al eje Y.

N_{cr,y} : 2079019.67 kN

b) Axil crítico elástico de pandeo por flexión respecto al eje Z.

N_{cr,z} : 2079019.67 kN

c) Axil crítico elástico de pandeo por torsión.

N_{cr,T} : ∞



Donde:

I_y : Momento de inercia de la sección bruta, respecto al eje Y.

I_z : Momento de inercia de la sección bruta, respecto al eje Z.

I_t : Momento de inercia a torsión uniforme.

I_w : Constante de alabeo de la sección.

E: Módulo de elasticidad.

G: Módulo de elasticidad transversal.

L_{ky} : Longitud efectiva de pandeo por flexión, respecto al eje Y.

L_{kz} : Longitud efectiva de pandeo por flexión, respecto al eje Z.

L_{kt} : Longitud efectiva de pandeo por torsión.

i_0 : Radio de giro polar de la sección bruta, respecto al centro de torsión.

I_y : 100308.92 cm⁴

I_z : 100308.92 cm⁴

I_t : 200617.84 cm⁴

I_w : 0.00 cm⁶

E : 210000 MPa

G : 81000 MPa

L_{ky} : 1.000 m

L_{kz} : 1.000 m

L_{kt} : 0.000 m

i_0 : 29.86 cm

Siendo:

i_y , **i_z** : Radios de giro de la sección bruta, respecto a los ejes principales de inercia Y y Z.

y_0 , **z_0** : Coordenadas del centro de torsión en la dirección de los ejes principales Y y Z, respectivamente, relativas al centro de gravedad de la sección.

i_y : 21.11 cm

i_z : 21.11 cm

y_0 : 0.00 mm

z_0 : 0.00 mm

Resistencia a tracción (CTE DB SE-A, Artículo 6.2.3)

La comprobación no procede, ya que no hay axil de tracción.

Resistencia a compresión (CTE DB SE-A, Artículo 6.2.5)

Se debe satisfacer:

η : 0.001 ✓

El esfuerzo solicitante de cálculo pésimo se produce en el nudo N8, para la combinación de acciones 1.35·PP.

$N_{c,Ed}$: Axil de compresión solicitante de cálculo pésimo.

$N_{c,Ed}$: 10.52 kN

La resistencia de cálculo a compresión **$N_{c,Rd}$** viene dada por:

$N_{c,Rd}$: 7609.30 kN



Listados

Donde:

Clase: Clase de la sección, según la capacidad de deformación y de desarrollo de la resistencia plástica de los elementos planos comprimidos de una sección.

Clase : 3

A: Área de la sección bruta para las secciones de clase 1, 2 y 3.

A : 225.06 cm²

f_{yd}: Resistencia de cálculo del acero.

f_{yd} : 338.10 MPa

Siendo:

f_y: Límite elástico. (CTE DB SE-A, Tabla 4.1)

f_y : 355.00 MPa

γ_{M0}: Coeficiente parcial de seguridad del material.

γ_{M0} : 1.05

Resistencia a pandeo: (CTE DB SE-A, Artículo 6.3.2)

Para esbelteces $\bar{\lambda} \leq 0.2$ se puede omitir la comprobación frente a pandeo, y comprobar únicamente la resistencia de la sección transversal.

$\bar{\lambda}$: Esbeltez reducida.

$\bar{\lambda} :$ 0.06

Donde:

A: Área de la sección bruta para las secciones de clase 1, 2 y 3.

A : 225.06 cm²

f_y: Límite elástico. (CTE DB SE-A, Tabla 4.1)

f_y : 355.00 MPa

N_{cr}: Axil crítico elástico de pandeo, obtenido como el menor de los siguientes valores:

N_{cr} : 2079019.67 kN

N_{cr,y}: Axil crítico elástico de pandeo por flexión respecto al eje Y.

N_{cr,y} : 2079019.67 kN

N_{cr,z}: Axil crítico elástico de pandeo por flexión respecto al eje Z.

N_{cr,z} : 2079019.67 kN

N_{cr,T}: Axil crítico elástico de pandeo por torsión.

N_{cr,T} : ∞

Resistencia a flexión eje Y (CTE DB SE-A, Artículo 6.2.6)

Se debe satisfacer:

η : 0.977 ✓

Para flexión positiva:

El esfuerzo solicitante de cálculo pésimo se produce en el nudo N8, para la combinación de acciones 0.8·PP+1.5·V1.



Listados

M_{Ed}^+ : Momento flector solicitante de cálculo pésimo.

M_{Ed}^+ : 1088.14 kN·m

Para flexión negativa:

M_{Ed}^- : Momento flector solicitante de cálculo pésimo.

M_{Ed}^- : 0.00 kN·m

El momento flector resistente de cálculo **$M_{c,Rd}$** viene dado por:

$M_{c,Rd}$: 1113.76 kN·m

Donde:

Clase: Clase de la sección, según la capacidad de deformación y de desarrollo de la resistencia plástica de los elementos planos de una sección a flexión simple.

Clase : 3

$W_{el,y}$: Módulo resistente elástico correspondiente a la fibra con mayor tensión, para las secciones de clase 3.

$W_{el,y}$: 3294.22 cm³

f_{yd} : Resistencia de cálculo del acero.

f_{yd} : 338.10 MPa

Siendo:

f_y : Límite elástico. (CTE DB SE-A, Tabla 4.1)

f_y : 355.00 MPa

γ_{M0} : Coeficiente parcial de seguridad del material.

γ_{M0} : 1.05

Resistencia a flexión eje Z (CTE DB SE-A, Artículo 6.2.6)

La comprobación no procede, ya que no hay momento flector.

Resistencia a corte Z (CTE DB SE-A, Artículo 6.2.4)

Se debe satisfacer:

η : 0.008 ✓

El esfuerzo solicitante de cálculo pésimo se produce para la combinación de acciones 0.8·PP+1.5·V1.

V_{Ed} : Esfuerzo cortante solicitante de cálculo pésimo.

V_{Ed} : 23.14 kN

Resistencia a cortante de la sección:

El esfuerzo cortante resistente de cálculo **$V_{c,Rd}$** viene dado por:

$V_{c,Rd}$: 2796.82 kN

Donde:

A_v : Área transversal a cortante.

A_v : 143.28 cm²



Siendo:

A: Área de la sección bruta.

A : 225.06 cm²

f_{yd}: Resistencia de cálculo del acero.

f_{yd} : 338.10 MPa

Siendo:

f_y: Límite elástico. (CTE DB SE-A, Tabla 4.1)

f_y : 355.00 MPa

γ_{M0}: Coeficiente parcial de seguridad del material.

γ_{M0} : 1.05

Resistencia a corte Y (CTE DB SE-A, Artículo 6.2.4)

La comprobación no procede, ya que no hay esfuerzo cortante.

Resistencia a momento flector Y y fuerza cortante Z combinados (CTE DB SE-A, Artículo 6.2.8)

No es necesario reducir la resistencia de cálculo a flexión, ya que el esfuerzo cortante solicitante de cálculo pésimo **V_{Ed}** no es superior al 50% de la resistencia de cálculo a cortante **V_{c,Rd}**.

23.14 kN ≤ 1398.41 kN



Los esfuerzos solicitantes de cálculo pésimos se producen para la combinación de acciones 0.8·PP+1.5·V1.

V_{Ed}: Esfuerzo cortante solicitante de cálculo pésimo.

V_{Ed} : 23.14 kN

V_{c,Rd}: Esfuerzo cortante resistente de cálculo.

V_{c,Rd} : 2796.82 kN

Resistencia a momento flector Z y fuerza cortante Y combinados (CTE DB SE-A, Artículo 6.2.8)

No hay interacción entre momento flector y esfuerzo cortante para ninguna combinación. Por lo tanto, la comprobación no procede.

Resistencia a flexión y axil combinados (CTE DB SE-A, Artículo 6.2.8)

Se debe satisfacer:



Listados

η : 0.978 ✓

η : 0.978 ✓

η : 0.783 ✓

Los esfuerzos solicitantes de cálculo pésimos se producen en el nudo N8, para la combinación de acciones 1.35·PP+1.5·V1.

Donde:

$N_{c,Ed}$: Axil de compresión solicitante de cálculo pésimo.
 $M_{y,Ed}$, $M_{z,Ed}$: Momentos flectores solicitantes de cálculo pésimos, según los ejes Y y Z, respectivamente.

Clase: Clase de la sección, según la capacidad de deformación y de desarrollo de la resistencia plástica de sus elementos planos, para axil y flexión simple.

$N_{pl,Rd}$: Resistencia a compresión de la sección bruta.
 $M_{el,Rd,y}$, $M_{el,Rd,z}$: Resistencia a flexión de la sección bruta en condiciones elásticas, respecto a los ejes Y y Z, respectivamente.

Resistencia a pandeo: (CTE DB SE-A, Artículo 6.3.4.2)

A: Área de la sección bruta.
 $W_{el,y}$, $W_{el,z}$: Módulos resistentes elásticos correspondientes a la fibra comprimida, alrededor de los ejes Y y Z, respectivamente.

f_{yd} : Resistencia de cálculo del acero.

$N_{c,Ed}$: 10.52 kN
 $M_{y,Ed}$: 1088.14 kN·m
 $M_{z,Ed}$: 0.00 kN·m
Clase : 3

$N_{pl,Rd}$: 7609.30 kN
 $M_{el,Rd,y}$: 1113.76 kN·m
 $M_{el,Rd,z}$: 1113.76 kN·m

A : 225.06 cm²
 $W_{el,y}$: 3294.22 cm³
 $W_{el,z}$: 3294.22 cm³
 f_{yd} : 338.10 MPa

Siendo:

f_y : Límite elástico. (CTE DB SE-A, Tabla 4.1)
 γ_{M1} : Coeficiente parcial de seguridad del material.

k_y , k_z : Coeficientes de interacción.

f_y : 355.00 MPa
 γ_{M1} : 1.05

k_y : 1.00

k_z : 1.00

$C_{m,y}$, $C_{m,z}$: Factores de momento flector uniforme equivalente.

$C_{m,y}$: 1.00
 $C_{m,z}$: 1.00

χ_y , χ_z : Coeficientes de reducción por pandeo, alrededor de los ejes Y y Z, respectivamente.

χ_y : 1.00
 χ_z : 1.00



$\bar{\lambda}_y, \bar{\lambda}_z$: Eslerezas reducidas con valores no mayores que 1.00, en relación a los ejes Y y Z, respectivamente.

α_y, α_z : Factores dependientes de la clase de la sección.

$\bar{\lambda}_y : 0.06$

$\bar{\lambda}_z : 0.06$

$\alpha_y : 0.80$

$\alpha_z : 1.00$

Resistencia a flexión, axil y cortante combinados (CTE DB SE-A, Artículo 6.2.8)

No es necesario reducir las resistencias de cálculo a flexión y a axil, ya que se puede ignorar el efecto de abolladura por esfuerzo cortante y, además, el esfuerzo cortante solicitante de cálculo pésimo V_{Ed} es menor o igual que el 50% del esfuerzo cortante resistente de cálculo $V_{c,Rd}$.

Los esfuerzos solicitantes de cálculo pésimos se producen para la combinación de acciones 0.8·PP+1.5·V1.

23.14 kN ≤ 1398.41 kN



Donde:

$V_{Ed,z}$: Esfuerzo cortante solicitante de cálculo pésimo.

$V_{Ed,z} : 23.14$ kN

$V_{c,Rd,z}$: Esfuerzo cortante resistente de cálculo.

$V_{c,Rd,z} : 2796.82$ kN

Resistencia a torsión (CTE DB SE-A, Artículo 6.2.7)

La comprobación no procede, ya que no hay momento torsor.

Resistencia a cortante Z y momento torsor combinados (CTE DB SE-A, Artículo 6.2.8)

No hay interacción entre momento torsor y esfuerzo cortante para ninguna combinación. Por lo tanto, la comprobación no procede.

Resistencia a cortante Y y momento torsor combinados (CTE DB SE-A, Artículo 6.2.8)

No hay interacción entre momento torsor y esfuerzo cortante para ninguna combinación. Por lo tanto, la comprobación no procede.



Barra N9/N1

Perfil: 609X12**Material: Acero (S355)**

Nudos		Longitud (m)	Características mecánicas			
Inicial	Final		Área (cm ²)	$I_y^{(1)}$ (cm ⁴)	$I_z^{(1)}$ (cm ⁴)	$I_t^{(2)}$ (cm ⁴)
N9	N1	5.000	225.06	100308.92	100308.92	200617.84

Notas:

(1) Inercia respecto al eje indicado
(2) Momento de inercia a torsión uniforme

	Pandeo		Pandeo lateral	
	Plano XY	Plano XZ	Ala sup.	Ala inf.
β	1.00	1.00	0.00	0.00
L_K	5.000	5.000	0.000	0.000
C_m	1.000	1.000	1.000	1.000
C_1	-		1.000	

Notación:

β : Coeficiente de pandeo
 L_K : Longitud de pandeo (m)
 C_m : Coeficiente de momentos
 C_1 : Factor de modificación para el momento crítico

Limitación de esbeltez (CTE DB SE-A, Artículos 6.3.1 y 6.3.2.1 - Tabla 6.3)

La esbeltez reducida $\bar{\lambda}$ de las barras comprimidas debe ser inferior al valor 2.0.

$$\bar{\lambda} : \underline{0.31} \quad \checkmark$$

Donde:

Clase: Clase de la sección, según la capacidad de deformación **Clase :** 3
y de desarrollo de la resistencia plástica de los elementos planos comprimidos de una sección.

A: Área de la sección bruta para las secciones de clase 1, 2 y 3.

f_y: Límite elástico. (CTE DB SE-A, Tabla 4.1)

N_{cr}: Axil crítico de pandeo elástico.

$$\mathbf{A} : \underline{225.06} \text{ cm}^2$$

$$\mathbf{f_y} : \underline{355.00} \text{ MPa}$$

$$\mathbf{N_{cr}} : \underline{83160.79} \text{ kN}$$

El axil crítico de pandeo elástico **N_{cr}** es el menor de los valores obtenidos en a), b) y c):

a) Axil crítico elástico de pandeo por flexión respecto al eje Y.

$$\mathbf{N_{cr,y}} : \underline{83160.79} \text{ kN}$$

b) Axil crítico elástico de pandeo por flexión respecto al eje Z.

$$\mathbf{N_{cr,z}} : \underline{83160.79} \text{ kN}$$

c) Axil crítico elástico de pandeo por torsión.

$$\mathbf{N_{cr,T}} : \underline{\infty}$$



Listados

Donde:

I_y : Momento de inercia de la sección bruta, respecto al eje Y.

I_z : Momento de inercia de la sección bruta, respecto al eje Z.

I_t : Momento de inercia a torsión uniforme.

I_w : Constante de alabeo de la sección.

E: Módulo de elasticidad.

G: Módulo de elasticidad transversal.

L_{ky} : Longitud efectiva de pandeo por flexión, respecto al eje Y.

L_{kz} : Longitud efectiva de pandeo por flexión, respecto al eje Z.

L_{kt} : Longitud efectiva de pandeo por torsión.

i_o : Radio de giro polar de la sección bruta, respecto al centro de torsión.

I_y : 100308.92 cm⁴

I_z : 100308.92 cm⁴

I_t : 200617.84 cm⁴

I_w : 0.00 cm⁶

E : 210000 MPa

G : 81000 MPa

L_{ky} : 5.000 m

L_{kz} : 5.000 m

L_{kt} : 0.000 m

i_o : 29.86 cm

Siendo:

i_y , **i_z** : Radios de giro de la sección bruta, respecto a los ejes principales de inercia Y y Z.

y_o , **z_o** : Coordenadas del centro de torsión en la dirección de los ejes principales Y y Z, respectivamente, relativas al centro de gravedad de la sección.

i_y : 21.11 cm

i_z : 21.11 cm

y_o : 0.00 mm

z_o : 0.00 mm

Resistencia a tracción (CTE DB SE-A, Artículo 6.2.3)

La comprobación no procede, ya que no hay axil de tracción.

Resistencia a compresión (CTE DB SE-A, Artículo 6.2.5)

Se debe satisfacer:

η : 0.002 ✓

η : 0.002 ✓

El esfuerzo solicitante de cálculo pésimo se produce en el nudo N9, para la combinación de acciones 1.35·PP.



Listados

N_{c,Ed}: Axil de compresión solicitante de cálculo pésimo.

N_{c,Ed} : 11.70 kN

La resistencia de cálculo a compresión **N_{c,Rd}** viene dada por:

N_{c,Rd} : 7609.30 kN

Donde:

Clase: Clase de la sección, según la capacidad de deformación y de desarrollo de la resistencia plástica de los elementos planos comprimidos de una sección.

Clase : 3

A: Área de la sección bruta para las secciones de clase 1, 2 y 3.

A : 225.06 cm²

f_{yd}: Resistencia de cálculo del acero.

f_{yd} : 338.10 MPa

Siendo:

f_y: Límite elástico. (CTE DB SE-A, Tabla 4.1)

f_y : 355.00 MPa

γ_{M0}: Coeficiente parcial de seguridad del material.

γ_{M0} : 1.05

Resistencia a pandeo: (CTE DB SE-A, Artículo 6.3.2)

La resistencia de cálculo a pandeo **N_{b,Rd}** en una barra comprimida viene dada por:

N_{b,Rd} : 7183.63 kN

Donde:

A: Área de la sección bruta para las secciones de clase 1, 2 y 3.

A : 225.06 cm²

f_{yd}: Resistencia de cálculo del acero.

f_{yd} : 338.10 MPa

Siendo:

f_y: Límite elástico. (CTE DB SE-A, Tabla 4.1)

f_y : 355.00 MPa

γ_{M1}: Coeficiente parcial de seguridad del material.

γ_{M1} : 1.05

χ: Coeficiente de reducción por pandeo.

χ_y : 0.94

χ_z : 0.94

Siendo:

ϕ_y : 0.57

ϕ_z : 0.57

α: Coeficiente de imperfección elástica.

α_y : 0.49

α_z : 0.49

λ̄: Esbeltez reducida.

λ̄_y : 0.31

λ̄_z : 0.31



Listados

N_{cr}: Axil crítico elástico de pandeo, obtenido como el menor de los siguientes valores:

N_{cr,y}: Axil crítico elástico de pandeo por flexión respecto al eje Y.

N_{cr,z}: Axil crítico elástico de pandeo por flexión respecto al eje Z.

N_{cr,T}: Axil crítico elástico de pandeo por torsión.

N_{cr} : 83160.79 kN

N_{cr,y} : 83160.79 kN

N_{cr,z} : 83160.79 kN

N_{cr,T} : ∞

Resistencia a flexión eje Y (CTE DB SE-A, Artículo 6.2.6)

Se debe satisfacer:

η : 0.956 ✓

Para flexión positiva:

El esfuerzo solicitante de cálculo pésimo se produce en el nudo N9, para la combinación de acciones 0.8·PP+1.5·V1.

M_{Ed}+: Momento flector solicitante de cálculo pésimo.

M_{Ed}+ : 1065.00 kN·m

Para flexión negativa:

M_{Ed}-: Momento flector solicitante de cálculo pésimo.

M_{Ed}- : 0.00 kN·m

El momento flector resistente de cálculo **M_{c,Rd}** viene dado por:

M_{c,Rd} : 1113.76 kN·m

Donde:

Clase: Clase de la sección, según la capacidad de deformación y de desarrollo de la resistencia plástica de los elementos planos de una sección a flexión simple.

Clase : 3

W_{el,y}: Módulo resistente elástico correspondiente a la fibra con mayor tensión, para las secciones de clase 3.

W_{el,y} : 3294.22 cm³

f_{yd}: Resistencia de cálculo del acero.

f_{yd} : 338.10 MPa

Siendo:

f_y: Límite elástico. (CTE DB SE-A, Tabla 4.1)

f_y : 355.00 MPa

γ_{MO}: Coeficiente parcial de seguridad del material.

γ_{MO} : 1.05

Resistencia a flexión eje Z (CTE DB SE-A, Artículo 6.2.6)

La comprobación no procede, ya que no hay momento flector.



Listados

Resistencia a corte Z (CTE DB SE-A, Artículo 6.2.4)

Se debe satisfacer:

$$\eta : 0.076 \quad \checkmark$$

El esfuerzo solicitante de cálculo pésimo se produce para la combinación de acciones $0.8 \cdot \text{PP} + 1.5 \cdot \text{V1}$.

V_{Ed}: Esfuerzo cortante solicitante de cálculo pésimo.

$$V_{Ed} : 213.00 \text{ kN}$$

Resistencia a cortante de la sección:

El esfuerzo cortante resistente de cálculo **V_{c,Rd}** viene dado por:

$$V_{c,Rd} : 2796.82 \text{ kN}$$

Donde:

A_v: Área transversal a cortante.

$$A_v : 143.28 \text{ cm}^2$$

Siendo:

A: Área de la sección bruta.

$$A : 225.06 \text{ cm}^2$$

f_{yd}: Resistencia de cálculo del acero.

$$f_{yd} : 338.10 \text{ MPa}$$

Siendo:

f_y: Límite elástico. (CTE DB SE-A, Tabla 4.1)

$$f_y : 355.00 \text{ MPa}$$

γ_{MO}: Coeficiente parcial de seguridad del material.

$$\gamma_{MO} : 1.05$$

Resistencia a corte Y (CTE DB SE-A, Artículo 6.2.4)

La comprobación no procede, ya que no hay esfuerzo cortante.

Resistencia a momento flector Y y fuerza cortante Z combinados (CTE DB SE-A, Artículo 6.2.8)

No es necesario reducir la resistencia de cálculo a flexión, ya que el esfuerzo cortante solicitante de cálculo pésimo **V_{Ed}** no es superior al 50% de la resistencia de cálculo a cortante **V_{c,Rd}**.

$$213.00 \text{ kN} \leq 1398.41 \text{ kN} \quad \checkmark$$



Listados

Los esfuerzos solicitantes de cálculo pésimos se producen en el nudo N9, para la combinación de acciones 0.8·PP+1.5·V1.

V_{Ed}: Esfuerzo cortante solicitante de cálculo pésimo.

V_{Ed} : 213.00 kN

V_{c,Rd}: Esfuerzo cortante resistente de cálculo.

V_{c,Rd} : 2796.82 kN

Resistencia a momento flector Z y fuerza cortante Y combinados (CTE DB SE-A, Artículo 6.2.8)

No hay interacción entre momento flector y esfuerzo cortante para ninguna combinación. Por lo tanto, la comprobación no procede.

Resistencia a flexión y axil combinados (CTE DB SE-A, Artículo 6.2.8)

Se debe satisfacer:

η : 0.958 ✓

η : 0.958 ✓

η : 0.767 ✓

Los esfuerzos solicitantes de cálculo pésimos se producen en el nudo N9, para la combinación de acciones 1.35·PP+1.5·V1.

Donde:

N_{c,Ed}: Axil de compresión solicitante de cálculo pésimo.

N_{c,Ed} : 11.70 kN

M_{y,Ed}, M_{z,Ed}: Momentos flectores solicitantes de cálculo pésimos, según los ejes Y y Z, respectivamente.

M_{y,Ed} : 1065.00 kN·m

M_{z,Ed} : 0.00 kN·m

Clase : 3

Clase: Clase de la sección, según la capacidad de deformación y de desarrollo de la resistencia plástica de sus elementos planos, para axil y flexión simple.

N_{pl,Rd}: Resistencia a compresión de la sección bruta.

N_{pl,Rd} : 7609.30 kN

M_{el,Rd,y}, M_{el,Rd,z}: Resistencia a flexión de la sección bruta en condiciones elásticas, respecto a los ejes Y y Z, respectivamente.

M_{el,Rd,y} : 1113.76 kN·m

M_{el,Rd,z} : 1113.76 kN·m

Resistencia a pandeo: (CTE DB SE-A, Artículo 6.3.4.2)

A: Área de la sección bruta.

A : 225.06 cm²

W_{el,y}, W_{el,z}: Módulos resistentes elásticos correspondientes a la fibra comprimida, alrededor de los ejes Y y Z, respectivamente.

W_{el,y} : 3294.22 cm³

W_{el,z} : 3294.22 cm³



f_{yd}: Resistencia de cálculo del acero.

f_{yd} : 338.10 MPa

Siendo:

f_y: Límite elástico. (CTE DB SE-A, Tabla 4.1)

f_y : 355.00 MPa

γ_{M1}: Coeficiente parcial de seguridad del material.

γ_{M1} : 1.05

k_y, k_z: Coeficientes de interacción.

k_y : 1.00

k_z : 1.00

C_{m,y}, C_{m,z}: Factores de momento flector uniforme equivalente.

C_{m,y} : 1.00

C_{m,z} : 1.00

χ_y, χ_z: Coeficientes de reducción por pandeo, alrededor de los ejes Y y Z, respectivamente.

χ_y : 0.94

χ_z : 0.94

λ̄_y, λ̄_z: Esbelteces reducidas con valores no mayores que 1.00, en relación a los ejes Y y Z, respectivamente.

λ̄_y : 0.31

λ̄_z : 0.31

α_y, α_z: Factores dependientes de la clase de la sección.

α_y : 0.80

α_z : 1.00

Resistencia a flexión, axil y cortante combinados (CTE DB SE-A, Artículo 6.2.8)

No es necesario reducir las resistencias de cálculo a flexión y a axil, ya que se puede ignorar el efecto de abolladura por esfuerzo cortante y, además, el esfuerzo cortante solicitante de cálculo pésimo **V_{Ed}** es menor o igual que el 50% del esfuerzo cortante resistente de cálculo **V_{c,Rd}**.

Los esfuerzos solicitantes de cálculo pésimos se producen en el nudo N9, para la combinación de acciones 0.8·PP+1.5·V1.

213.00 kN ≤ 1398.41 kN



Donde:

V_{Ed,z}: Esfuerzo cortante solicitante de cálculo pésimo.

V_{Ed,z} : 213.00 kN

V_{c,Rd,z}: Esfuerzo cortante resistente de cálculo.

V_{c,Rd,z} : 2796.82 kN

Resistencia a torsión (CTE DB SE-A, Artículo 6.2.7)

La comprobación no procede, ya que no hay momento torsor.



Listados

Resistencia a cortante Z y momento torsor combinados (CTE DB SE-A, Artículo 6.2.8)

No hay interacción entre momento torsor y esfuerzo cortante para ninguna combinación. Por lo tanto, la comprobación no procede.

Resistencia a cortante Y y momento torsor combinados (CTE DB SE-A, Artículo 6.2.8)

No hay interacción entre momento torsor y esfuerzo cortante para ninguna combinación. Por lo tanto, la comprobación no procede.



Barra N7/N8

Perfil: 609X12**Material: Acero (S355)**

Nudos		Longitud (m)	Características mecánicas			
Inicial	Final		Área (cm ²)	$I_y^{(1)}$ (cm ⁴)	$I_z^{(1)}$ (cm ⁴)	$I_t^{(2)}$ (cm ⁴)
N7	N8	1.000	225.06	100308.92	100308.92	200617.84

Notas:

(1) Inercia respecto al eje indicado
(2) Momento de inercia a torsión uniforme

	Pandeo		Pandeo lateral	
	Plano XY	Plano XZ	Ala sup.	Ala inf.
β	1.00	1.00	0.00	0.00
L_K	1.000	1.000	0.000	0.000
C_m	1.000	1.000	1.000	1.000
C_1	-		1.000	

Notación:

β : Coeficiente de pandeo
 L_K : Longitud de pandeo (m)
 C_m : Coeficiente de momentos
 C_1 : Factor de modificación para el momento crítico

Limitación de esbeltez (CTE DB SE-A, Artículos 6.3.1 y 6.3.2.1 - Tabla 6.3)

La esbeltez reducida $\bar{\lambda}$ de las barras comprimidas debe ser inferior al valor 2.0.

$$\bar{\lambda} : \underline{0.06} \quad \checkmark$$

Donde:

Clase: Clase de la sección, según la capacidad de deformación y de desarrollo de la resistencia plástica de los elementos planos comprimidos de una sección.

Clase : 3

A: Área de la sección bruta para las secciones de clase 1, 2 y 3.

A : 225.06 cm²

f_y: Límite elástico. (CTE DB SE-A, Tabla 4.1)

f_y : 355.00 MPa

N_{cr}: Axil crítico de pandeo elástico.

N_{cr} : 2079019.67 kN

El axil crítico de pandeo elástico **N_{cr}** es el menor de los valores obtenidos en a), b) y c):

N_{cr,y} : 2079019.67 kN

a) Axil crítico elástico de pandeo por flexión respecto al eje Y.

b) Axil crítico elástico de pandeo por flexión respecto al eje Z.

N_{cr,z} : 2079019.67 kN

c) Axil crítico elástico de pandeo por torsión.

N_{cr,T} : ∞



Listados

Donde:

I_y : Momento de inercia de la sección bruta, respecto al eje Y.

I_z : Momento de inercia de la sección bruta, respecto al eje Z.

I_t : Momento de inercia a torsión uniforme.

I_w : Constante de alabeo de la sección.

E: Módulo de elasticidad.

G: Módulo de elasticidad transversal.

L_{ky} : Longitud efectiva de pandeo por flexión, respecto al eje Y.

L_{kz} : Longitud efectiva de pandeo por flexión, respecto al eje Z.

L_{kt} : Longitud efectiva de pandeo por torsión.

i_0 : Radio de giro polar de la sección bruta, respecto al centro de torsión.

I_y : 100308.92 cm⁴

I_z : 100308.92 cm⁴

I_t : 200617.84 cm⁴

I_w : 0.00 cm⁶

E : 210000 MPa

G : 81000 MPa

L_{ky} : 1.000 m

L_{kz} : 1.000 m

L_{kt} : 0.000 m

i_0 : 29.86 cm

Siendo:

i_y , **i_z** : Radios de giro de la sección bruta, respecto a los ejes principales de inercia Y y Z.

y_0 , **z_0** : Coordenadas del centro de torsión en la dirección de los ejes principales Y y Z, respectivamente, relativas al centro de gravedad de la sección.

i_y : 21.11 cm

i_z : 21.11 cm

y_0 : 0.00 mm

z_0 : 0.00 mm

Resistencia a tracción (CTE DB SE-A, Artículo 6.2.3)

La comprobación no procede, ya que no hay axil de tracción.

Resistencia a compresión (CTE DB SE-A, Artículo 6.2.5)

Se debe satisfacer:

η : 0.001 ✓

El esfuerzo solicitante de cálculo pésimo se produce en el nudo N7, para la combinación de acciones 1.35·PP.

$N_{c,Ed}$: Axil de compresión solicitante de cálculo pésimo.

$N_{c,Ed}$: 9.35 kN

La resistencia de cálculo a compresión **$N_{c,Rd}$** viene dada por:



Listados

N_{c,Rd} : 7609.30 kN

Donde:

Clase: Clase de la sección, según la capacidad de deformación y de desarrollo de la resistencia plástica de los elementos planos comprimidos de una sección.

A: Área de la sección bruta para las secciones de clase 1, 2 y 3.

f_{yd}: Resistencia de cálculo del acero.

Clase : 3

A : 225.06 cm²

f_{yd} : 338.10 MPa

Siendo:

f_y: Límite elástico. (CTE DB SE-A, Tabla 4.1)

γ_{Mo}: Coeficiente parcial de seguridad del material.

f_y : 355.00 MPa

γ_{Mo} : 1.05

Resistencia a pandeo: (CTE DB SE-A, Artículo 6.3.2)

Para esbelteces $\bar{\lambda} \leq 0.2$ se puede omitir la comprobación frente a pandeo, y comprobar únicamente la resistencia de la sección transversal.

$\bar{\lambda}$: Esbeltez reducida.

$\bar{\lambda}$: 0.06

Donde:

A: Área de la sección bruta para las secciones de clase 1, 2 y 3.

f_y: Límite elástico. (CTE DB SE-A, Tabla 4.1)

N_{cr}: Axil crítico elástico de pandeo, obtenido como el menor de los siguientes valores:

N_{cr,y}: Axil crítico elástico de pandeo por flexión respecto al eje Y.

N_{cr,z}: Axil crítico elástico de pandeo por flexión respecto al eje Z.

N_{cr,T}: Axil crítico elástico de pandeo por torsión.

A : 225.06 cm²

f_y : 355.00 MPa

N_{cr} : 2079019.67 kN

N_{cr,y} : 2079019.67 kN

N_{cr,z} : 2079019.67 kN

N_{cr,T} : ∞

Resistencia a flexión eje Y (CTE DB SE-A, Artículo 6.2.6)

Se debe satisfacer:

η : 0.977 ✓



Para flexión positiva:

El esfuerzo solicitante de cálculo pésimo se produce en el nudo N8, para la combinación de acciones $0.8 \cdot \text{PP} + 1.5 \cdot \text{V1}$.

\mathbf{M}_{Ed}^+ : Momento flector solicitante de cálculo pésimo.

$\mathbf{M}_{\text{Ed}}^+ : 1088.14 \text{ kN}\cdot\text{m}$

Para flexión negativa:

\mathbf{M}_{Ed}^- : Momento flector solicitante de cálculo pésimo.

$\mathbf{M}_{\text{Ed}}^- : 0.00 \text{ kN}\cdot\text{m}$

El momento flector resistente de cálculo $\mathbf{M}_{\text{c,Rd}}$ viene dado por:

$\mathbf{M}_{\text{c,Rd}} : 1113.76 \text{ kN}\cdot\text{m}$

Donde:

Clase: Clase de la sección, según la capacidad de deformación y de desarrollo de la resistencia plástica de los elementos planos de una sección a flexión simple.

Clase : 3

W_{el,y}: Módulo resistente elástico correspondiente a la fibra con mayor tensión, para las secciones de clase 3.

$\mathbf{W}_{\text{el,y}} : 3294.22 \text{ cm}^3$

f_{yd}: Resistencia de cálculo del acero.

$\mathbf{f}_{\text{yd}} : 338.10 \text{ MPa}$

Siendo:

f_y: Límite elástico. (CTE DB SE-A, Tabla 4.1)

$\mathbf{f}_y : 355.00 \text{ MPa}$

γ_{MO}: Coeficiente parcial de seguridad del material.

$\mathbf{\gamma}_{\text{MO}} : 1.05$

Resistencia a flexión eje Z (CTE DB SE-A, Artículo 6.2.6)

La comprobación no procede, ya que no hay momento flector.

Resistencia a corte Z (CTE DB SE-A, Artículo 6.2.4)

Se debe satisfacer:

$\eta : 0.040 \checkmark$

El esfuerzo solicitante de cálculo pésimo se produce para la combinación de acciones $0.8 \cdot \text{PP} + 1.5 \cdot \text{V1}$.

V_{Ed}: Esfuerzo cortante solicitante de cálculo pésimo.

$\mathbf{V}_{\text{Ed}} : 111.69 \text{ kN}$

Resistencia a cortante de la sección:

El esfuerzo cortante resistente de cálculo $\mathbf{V}_{\text{c,Rd}}$ viene dado por:

$\mathbf{V}_{\text{c,Rd}} : 2796.82 \text{ kN}$



Donde:

A_v : Área transversal a cortante.

A_v : 143.28 cm²

Siendo:

A : Área de la sección bruta.

A : 225.06 cm²

f_yd : Resistencia de cálculo del acero.

f_yd : 338.10 MPa

Siendo:

f_y : Límite elástico. (CTE DB SE-A, Tabla 4.1)

f_y : 355.00 MPa

γ_{M0} : Coeficiente parcial de seguridad del material.

γ_{M0} : 1.05

Resistencia a corte Y (CTE DB SE-A, Artículo 6.2.4)

La comprobación no procede, ya que no hay esfuerzo cortante.

Resistencia a momento flector Y y fuerza cortante Z combinados (CTE DB SE-A, Artículo 6.2.8)

No es necesario reducir la resistencia de cálculo a flexión, ya que el esfuerzo cortante solicitante de cálculo pésimo V_{Ed} no es superior al 50% de la resistencia de cálculo a cortante $V_{c,Rd}$.

111.69 kN ≤ 1398.41 kN ✓

Los esfuerzos solicitantes de cálculo pésimos se producen para la combinación de acciones 0.8·PP+1.5·V1.

V_{Ed} : Esfuerzo cortante solicitante de cálculo pésimo.

V_{Ed} : 111.69 kN

$V_{c,Rd}$: Esfuerzo cortante resistente de cálculo.

$V_{c,Rd}$: 2796.82 kN

Resistencia a momento flector Z y fuerza cortante Y combinados (CTE DB SE-A, Artículo 6.2.8)

No hay interacción entre momento flector y esfuerzo cortante para ninguna combinación. Por lo tanto, la comprobación no procede.

Resistencia a flexión y axil combinados (CTE DB SE-A, Artículo 6.2.8)



Se debe satisfacer:

η : 0.978 ✓

η : 0.978 ✓

η : 0.783 ✓

Los esfuerzos solicitantes de cálculo pésimos se producen en el nudo N8, para la combinación de acciones 1.35·PP+1.5·V1.

Donde:

$N_{c,Ed}$: Axil de compresión solicitante de cálculo pésimo.

$M_{y,Ed}$, $M_{z,Ed}$: Momentos flectores solicitantes de cálculo pésimos, según los ejes Y y Z, respectivamente.

Clase: Clase de la sección, según la capacidad de deformación y de desarrollo de la resistencia plástica de sus elementos planos, para axil y flexión simple.

$N_{pl,Rd}$: Resistencia a compresión de la sección bruta.

$M_{el,Rd,y}$, $M_{el,Rd,z}$: Resistencia a flexión de la sección bruta en condiciones elásticas, respecto a los ejes Y y Z, respectivamente.

Resistencia a pandeo: (CTE DB SE-A, Artículo 6.3.4.2)

A: Área de la sección bruta.

$W_{el,y}$, $W_{el,z}$: Módulos resistentes elásticos correspondientes a la fibra comprimida, alrededor de los ejes Y y Z, respectivamente.

f_{yd} : Resistencia de cálculo del acero.

$N_{c,Ed}$: 7.01 kN

$M_{y,Ed}$: 1088.14 kN·m

$M_{z,Ed}$: 0.00 kN·m

Clase : 3

$N_{pl,Rd}$: 7609.30 kN

$M_{el,Rd,y}$: 1113.76 kN·m

$M_{el,Rd,z}$: 1113.76 kN·m

A : 225.06 cm²

$W_{el,y}$: 3294.22 cm³

$W_{el,z}$: 3294.22 cm³

f_{yd} : 338.10 MPa

Siendo:

f_y : Límite elástico. (CTE DB SE-A, Tabla 4.1)

γ_{M1} : Coeficiente parcial de seguridad del material.

f_y : 355.00 MPa

γ_{M1} : 1.05

k_y , k_z : Coeficientes de interacción.

k_y : 1.00

k_z : 1.00

$C_{m,y}$, $C_{m,z}$: Factores de momento flector uniforme equivalente.

$C_{m,y}$: 1.00

$C_{m,z}$: 1.00



χ_y, χ_z : Coeficientes de reducción por pandeo, alrededor de los ejes Y y Z, respectivamente.

$\chi_y : 1.00$
 $\chi_z : 1.00$

$\bar{\lambda}_y, \bar{\lambda}_z$: Eslabeces reducidas con valores no mayores que 1.00, en relación a los ejes Y y Z, respectivamente.

$\bar{\lambda}_y : 0.06$
 $\bar{\lambda}_z : 0.06$

α_y, α_z : Factores dependientes de la clase de la sección.

$\alpha_y : 0.80$
 $\alpha_z : 1.00$

Resistencia a flexión, axil y cortante combinados (CTE DB SE-A, Artículo 6.2.8)

No es necesario reducir las resistencias de cálculo a flexión y a axil, ya que se puede ignorar el efecto de abolladura por esfuerzo cortante y, además, el esfuerzo cortante solicitante de cálculo pésimo V_{Ed} es menor o igual que el 50% del esfuerzo cortante resistente de cálculo $V_{c,Rd}$.

Los esfuerzos solicitantes de cálculo pésimos se producen para la combinación de acciones $0.8 \cdot PP + 1.5 \cdot V1$.

111.69 kN ≤ 1398.41 kN



Donde:

$V_{Ed,z}$: Esfuerzo cortante solicitante de cálculo pésimo.

$V_{Ed,z} : 111.69$ kN

$V_{c,Rd,z}$: Esfuerzo cortante resistente de cálculo.

$V_{c,Rd,z} : 2796.82$ kN

Resistencia a torsión (CTE DB SE-A, Artículo 6.2.7)

La comprobación no procede, ya que no hay momento torsor.

Resistencia a cortante Z y momento torsor combinados (CTE DB SE-A, Artículo 6.2.8)

No hay interacción entre momento torsor y esfuerzo cortante para ninguna combinación. Por lo tanto, la comprobación no procede.

Resistencia a cortante Y y momento torsor combinados (CTE DB SE-A, Artículo 6.2.8)

No hay interacción entre momento torsor y esfuerzo cortante para ninguna combinación. Por lo tanto, la comprobación no procede.



Barra N6/N7

Perfil: 609X12**Material: Acero (S355)**

Nudos		Longitud (m)	Características mecánicas			
Inicial	Final		Área (cm ²)	$I_y^{(1)}$ (cm ⁴)	$I_z^{(1)}$ (cm ⁴)	$I_t^{(2)}$ (cm ⁴)
N6	N7	1.000	225.06	100308.92	100308.92	200617.84

Notas:

(1) Inercia respecto al eje indicado
(2) Momento de inercia a torsión uniforme

	Pandeo		Pandeo lateral	
	Plano XY	Plano XZ	Ala sup.	Ala inf.
β	1.00	1.00	0.00	0.00
L_K	1.000	1.000	0.000	0.000
C_m	1.000	1.000	1.000	1.000
C_1	-		1.000	

Notación:

β : Coeficiente de pandeo
 L_K : Longitud de pandeo (m)
 C_m : Coeficiente de momentos
 C_1 : Factor de modificación para el momento crítico

Limitación de esbeltez (CTE DB SE-A, Artículos 6.3.1 y 6.3.2.1 - Tabla 6.3)

La esbeltez reducida $\bar{\lambda}$ de las barras comprimidas debe ser inferior al valor 2.0.

$$\bar{\lambda} : \underline{0.06} \quad \checkmark$$

Donde:

Clase: Clase de la sección, según la capacidad de deformación y de desarrollo de la resistencia plástica de los elementos planos comprimidos de una sección.

Clase : 3

A: Área de la sección bruta para las secciones de clase 1, 2 y 3.

A : 225.06 cm²

f_y: Límite elástico. (CTE DB SE-A, Tabla 4.1)

f_y : 355.00 MPa

N_{cr}: Axil crítico de pandeo elástico.

N_{cr} : 2079019.67 kN

El axil crítico de pandeo elástico **N_{cr}** es el menor de los valores obtenidos en a), b) y c):

N_{cr,y} : 2079019.67 kN

a) Axil crítico elástico de pandeo por flexión respecto al eje Y.

b) Axil crítico elástico de pandeo por flexión respecto al eje Z.

N_{cr,z} : 2079019.67 kN

c) Axil crítico elástico de pandeo por torsión.

N_{cr,T} : ∞



Listados

Donde:

I_y : Momento de inercia de la sección bruta, respecto al eje Y.

I_z : Momento de inercia de la sección bruta, respecto al eje Z.

I_t : Momento de inercia a torsión uniforme.

I_w : Constante de alabeo de la sección.

E: Módulo de elasticidad.

G: Módulo de elasticidad transversal.

L_{ky} : Longitud efectiva de pandeo por flexión, respecto al eje Y.

L_{kz} : Longitud efectiva de pandeo por flexión, respecto al eje Z.

L_{kt} : Longitud efectiva de pandeo por torsión.

i_o : Radio de giro polar de la sección bruta, respecto al centro de torsión.

I_y : 100308.92 cm⁴

I_z : 100308.92 cm⁴

I_t : 200617.84 cm⁴

I_w : 0.00 cm⁶

E : 210000 MPa

G : 81000 MPa

L_{ky} : 1.000 m

L_{kz} : 1.000 m

L_{kt} : 0.000 m

i_o : 29.86 cm

Siendo:

i_y , **i_z** : Radios de giro de la sección bruta, respecto a los ejes principales de inercia Y y Z.

y_o , **z_o** : Coordenadas del centro de torsión en la dirección de los ejes principales Y y Z, respectivamente, relativas al centro de gravedad de la sección.

i_y : 21.11 cm

i_z : 21.11 cm

y_o : 0.00 mm

z_o : 0.00 mm

Resistencia a tracción (CTE DB SE-A, Artículo 6.2.3)

La comprobación no procede, ya que no hay axil de tracción.

Resistencia a compresión (CTE DB SE-A, Artículo 6.2.5)

Se debe satisfacer:

η : 0.001 ✓

El esfuerzo solicitante de cálculo pésimo se produce en el nudo N6, para la combinación de acciones 1.35·PP.

$N_{c,Ed}$: Axil de compresión solicitante de cálculo pésimo.

$N_{c,Ed}$: 8.18 kN

La resistencia de cálculo a compresión **$N_{c,Rd}$** viene dada por:



Listados

N_{c,Rd} : 7609.30 kN

Donde:

Clase: Clase de la sección, según la capacidad de deformación y de desarrollo de la resistencia plástica de los elementos planos comprimidos de una sección.

A: Área de la sección bruta para las secciones de clase 1, 2 y 3.

f_{yd}: Resistencia de cálculo del acero.

Clase : 3

A : 225.06 cm²

f_{yd} : 338.10 MPa

Siendo:

f_y: Límite elástico. (CTE DB SE-A, Tabla 4.1)

γ_{MO}: Coeficiente parcial de seguridad del material.

f_y : 355.00 MPa

γ_{MO} : 1.05

Resistencia a pandeo: (CTE DB SE-A, Artículo 6.3.2)

Para esbelteces $\bar{\lambda} \leq 0.2$ se puede omitir la comprobación frente a pandeo, y comprobar únicamente la resistencia de la sección transversal.

$\bar{\lambda}$: Esbeltez reducida.

$\bar{\lambda}$: 0.06

Donde:

A: Área de la sección bruta para las secciones de clase 1, 2 y 3.

f_y: Límite elástico. (CTE DB SE-A, Tabla 4.1)

N_{cr}: Axil crítico elástico de pandeo, obtenido como el menor de los siguientes valores:

N_{cr,y}: Axil crítico elástico de pandeo por flexión respecto al eje Y.

N_{cr,z}: Axil crítico elástico de pandeo por flexión respecto al eje Z.

N_{cr,T}: Axil crítico elástico de pandeo por torsión.

A : 225.06 cm²

f_y : 355.00 MPa

N_{cr} : 2079019.67 kN

N_{cr,y} : 2079019.67 kN

N_{cr,z} : 2079019.67 kN

N_{cr,T} : ∞

Resistencia a flexión eje Y (CTE DB SE-A, Artículo 6.2.6)

Se debe satisfacer:

η : 0.877 ✓



Para flexión positiva:

El esfuerzo solicitante de cálculo pésimo se produce en el nudo N7, para la combinación de acciones $0.8 \cdot \text{PP} + 1.5 \cdot \text{V1}$.

\mathbf{M}_{Ed}^+ : Momento flector solicitante de cálculo pésimo.

$\mathbf{M}_{\text{Ed}}^+ : 976.45 \text{ kN}\cdot\text{m}$

Para flexión negativa:

\mathbf{M}_{Ed}^- : Momento flector solicitante de cálculo pésimo.

$\mathbf{M}_{\text{Ed}}^- : 0.00 \text{ kN}\cdot\text{m}$

El momento flector resistente de cálculo $\mathbf{M}_{\text{c,Rd}}$ viene dado por:

$\mathbf{M}_{\text{c,Rd}} : 1113.76 \text{ kN}\cdot\text{m}$

Donde:

Clase: Clase de la sección, según la capacidad de deformación y de desarrollo de la resistencia plástica de los elementos planos de una sección a flexión simple.

Clase : 3

W_{el,y}: Módulo resistente elástico correspondiente a la fibra con mayor tensión, para las secciones de clase 3.

$\mathbf{W}_{\text{el,y}} : 3294.22 \text{ cm}^3$

f_{yd}: Resistencia de cálculo del acero.

$\mathbf{f}_{\text{yd}} : 338.10 \text{ MPa}$

Siendo:

f_y: Límite elástico. (CTE DB SE-A, Tabla 4.1)

$\mathbf{f}_y : 355.00 \text{ MPa}$

γ_{MO}: Coeficiente parcial de seguridad del material.

$\mathbf{\gamma}_{\text{MO}} : 1.05$

Resistencia a flexión eje Z (CTE DB SE-A, Artículo 6.2.6)

La comprobación no procede, ya que no hay momento flector.

Resistencia a corte Z (CTE DB SE-A, Artículo 6.2.4)

Se debe satisfacer:

$\eta : 0.070 \checkmark$

El esfuerzo solicitante de cálculo pésimo se produce para la combinación de acciones $0.8 \cdot \text{PP} + 1.5 \cdot \text{V1}$.

V_{Ed}: Esfuerzo cortante solicitante de cálculo pésimo.

$\mathbf{V}_{\text{Ed}} : 196.65 \text{ kN}$

Resistencia a cortante de la sección:

El esfuerzo cortante resistente de cálculo $\mathbf{V}_{\text{c,Rd}}$ viene dado por:

$\mathbf{V}_{\text{c,Rd}} : 2796.82 \text{ kN}$



Donde:

A_v : Área transversal a cortante.

A_v : 143.28 cm²

Siendo:

A : Área de la sección bruta.

A : 225.06 cm²

f_yd : Resistencia de cálculo del acero.

f_yd : 338.10 MPa

Siendo:

f_y : Límite elástico. (CTE DB SE-A, Tabla 4.1)

f_y : 355.00 MPa

γ_{M0} : Coeficiente parcial de seguridad del material.

γ_{M0} : 1.05

Resistencia a corte Y (CTE DB SE-A, Artículo 6.2.4)

La comprobación no procede, ya que no hay esfuerzo cortante.

Resistencia a momento flector Y y fuerza cortante Z combinados (CTE DB SE-A, Artículo 6.2.8)

No es necesario reducir la resistencia de cálculo a flexión, ya que el esfuerzo cortante solicitante de cálculo pésimo V_{Ed} no es superior al 50% de la resistencia de cálculo a cortante $V_{c,Rd}$.

196.65 kN ≤ 1398.41 kN ✓

Los esfuerzos solicitantes de cálculo pésimos se producen para la combinación de acciones 0.8·PP+1.5·V1.

V_{Ed} : Esfuerzo cortante solicitante de cálculo pésimo.

V_{Ed} : 196.65 kN

$V_{c,Rd}$: Esfuerzo cortante resistente de cálculo.

$V_{c,Rd}$: 2796.82 kN

Resistencia a momento flector Z y fuerza cortante Y combinados (CTE DB SE-A, Artículo 6.2.8)

No hay interacción entre momento flector y esfuerzo cortante para ninguna combinación. Por lo tanto, la comprobación no procede.

Resistencia a flexión y axil combinados (CTE DB SE-A, Artículo 6.2.8)



Se debe satisfacer:

$\eta : 0.877$ ✓

$\eta : 0.877$ ✓

$\eta : 0.702$ ✓

Los esfuerzos solicitantes de cálculo pésimos se producen en el nudo N7, para la combinación de acciones 1.35·PP+1.5·V1.

Donde:

$N_{c,Ed}$: Axil de compresión solicitante de cálculo pésimo.

$M_{y,Ed}$, $M_{z,Ed}$: Momentos flectores solicitantes de cálculo pésimos, según los ejes Y y Z, respectivamente.

Clase: Clase de la sección, según la capacidad de deformación y de desarrollo de la resistencia plástica de sus elementos planos, para axil y flexión simple.

$N_{pl,Rd}$: Resistencia a compresión de la sección bruta.

$M_{el,Rd,y}$, $M_{el,Rd,z}$: Resistencia a flexión de la sección bruta en condiciones elásticas, respecto a los ejes Y y Z, respectivamente.

Resistencia a pandeo: (CTE DB SE-A, Artículo 6.3.4.2)

A: Área de la sección bruta.

$W_{el,y}$, $W_{el,z}$: Módulos resistentes elásticos correspondientes a la fibra comprimida, alrededor de los ejes Y y Z, respectivamente.

f_{yd} : Resistencia de cálculo del acero.

$N_{c,Ed}$: 5.84 kN

$M_{y,Ed}$: 976.45 kN·m

$M_{z,Ed}$: 0.00 kN·m

Clase : 3

$N_{pl,Rd}$: 7609.30 kN

$M_{el,Rd,y}$: 1113.76 kN·m

$M_{el,Rd,z}$: 1113.76 kN·m

A : 225.06 cm²

$W_{el,y}$: 3294.22 cm³

$W_{el,z}$: 3294.22 cm³

f_{yd} : 338.10 MPa

Siendo:

f_y : Límite elástico. (CTE DB SE-A, Tabla 4.1)

γ_{M1} : Coeficiente parcial de seguridad del material.

f_y : 355.00 MPa

γ_{M1} : 1.05

k_y , k_z : Coeficientes de interacción.

k_y : 1.00

k_z : 1.00

$C_{m,y}$, $C_{m,z}$: Factores de momento flector uniforme equivalente.

$C_{m,y}$: 1.00

$C_{m,z}$: 1.00



χ_y, χ_z : Coeficientes de reducción por pandeo, alrededor de los ejes Y y Z, respectivamente.

$\chi_y : 1.00$
 $\chi_z : 1.00$

$\bar{\lambda}_y, \bar{\lambda}_z$: Eslabeces reducidas con valores no mayores que 1.00, en relación a los ejes Y y Z, respectivamente.

$\bar{\lambda}_y : 0.06$
 $\bar{\lambda}_z : 0.06$

α_y, α_z : Factores dependientes de la clase de la sección.

$\alpha_y : 0.80$
 $\alpha_z : 1.00$

Resistencia a flexión, axil y cortante combinados (CTE DB SE-A, Artículo 6.2.8)

No es necesario reducir las resistencias de cálculo a flexión y a axil, ya que se puede ignorar el efecto de abolladura por esfuerzo cortante y, además, el esfuerzo cortante solicitante de cálculo pésimo V_{Ed} es menor o igual que el 50% del esfuerzo cortante resistente de cálculo $V_{c,Rd}$.

Los esfuerzos solicitantes de cálculo pésimos se producen para la combinación de acciones $0.8 \cdot PP + 1.5 \cdot V1$.

196.65 kN ≤ 1398.41 kN



Donde:

$V_{Ed,z}$: Esfuerzo cortante solicitante de cálculo pésimo.

$V_{Ed,z} : 196.65$ kN

$V_{c,Rd,z}$: Esfuerzo cortante resistente de cálculo.

$V_{c,Rd,z} : 2796.82$ kN

Resistencia a torsión (CTE DB SE-A, Artículo 6.2.7)

La comprobación no procede, ya que no hay momento torsor.

Resistencia a cortante Z y momento torsor combinados (CTE DB SE-A, Artículo 6.2.8)

No hay interacción entre momento torsor y esfuerzo cortante para ninguna combinación. Por lo tanto, la comprobación no procede.

Resistencia a cortante Y y momento torsor combinados (CTE DB SE-A, Artículo 6.2.8)

No hay interacción entre momento torsor y esfuerzo cortante para ninguna combinación. Por lo tanto, la comprobación no procede.



Barra N5/N6

Perfil: 609X12**Material: Acero (S355)**

Nudos		Longitud (m)	Características mecánicas			
Inicial	Final		Área (cm ²)	$I_y^{(1)}$ (cm ⁴)	$I_z^{(1)}$ (cm ⁴)	$I_t^{(2)}$ (cm ⁴)
N5	N6	1.000	225.06	100308.92	100308.92	200617.84

Notas:

(1) Inercia respecto al eje indicado
(2) Momento de inercia a torsión uniforme

	Pandeo		Pandeo lateral	
	Plano XY	Plano XZ	Ala sup.	Ala inf.
β	1.00	1.00	0.00	0.00
L_K	1.000	1.000	0.000	0.000
C_m	1.000	1.000	1.000	1.000
C_1	-		1.000	

Notación:

β : Coeficiente de pandeo
 L_K : Longitud de pandeo (m)
 C_m : Coeficiente de momentos
 C_1 : Factor de modificación para el momento crítico

Limitación de esbeltez (CTE DB SE-A, Artículos 6.3.1 y 6.3.2.1 - Tabla 6.3)

La esbeltez reducida $\bar{\lambda}$ de las barras comprimidas debe ser inferior al valor 2.0.

$$\bar{\lambda} : \underline{0.06} \quad \checkmark$$

Donde:

Clase: Clase de la sección, según la capacidad de deformación y de desarrollo de la resistencia plástica de los elementos planos comprimidos de una sección.

Clase : 3

A: Área de la sección bruta para las secciones de clase 1, 2 y 3.

A : 225.06 cm²

f_y: Límite elástico. (CTE DB SE-A, Tabla 4.1)

f_y : 355.00 MPa

N_{cr}: Axil crítico de pandeo elástico.

N_{cr} : 2079019.67 kN

El axil crítico de pandeo elástico **N_{cr}** es el menor de los valores obtenidos en a), b) y c):

N_{cr,y} : 2079019.67 kN

a) Axil crítico elástico de pandeo por flexión respecto al eje Y.

b) Axil crítico elástico de pandeo por flexión respecto al eje Z.

N_{cr,z} : 2079019.67 kN

c) Axil crítico elástico de pandeo por torsión.

N_{cr,T} : ∞



Listados

Donde:

I_y : Momento de inercia de la sección bruta, respecto al eje Y.

I_z : Momento de inercia de la sección bruta, respecto al eje Z.

I_t : Momento de inercia a torsión uniforme.

I_w : Constante de alabeo de la sección.

E: Módulo de elasticidad.

G: Módulo de elasticidad transversal.

L_{ky} : Longitud efectiva de pandeo por flexión, respecto al eje Y.

L_{kz} : Longitud efectiva de pandeo por flexión, respecto al eje Z.

L_{kt} : Longitud efectiva de pandeo por torsión.

i_o : Radio de giro polar de la sección bruta, respecto al centro de torsión.

I_y : 100308.92 cm⁴

I_z : 100308.92 cm⁴

I_t : 200617.84 cm⁴

I_w : 0.00 cm⁶

E : 210000 MPa

G : 81000 MPa

L_{ky} : 1.000 m

L_{kz} : 1.000 m

L_{kt} : 0.000 m

i_o : 29.86 cm

Siendo:

i_y , **i_z** : Radios de giro de la sección bruta, respecto a los ejes principales de inercia Y y Z.

y_o , **z_o** : Coordenadas del centro de torsión en la dirección de los ejes principales Y y Z, respectivamente, relativas al centro de gravedad de la sección.

i_y : 21.11 cm

i_z : 21.11 cm

y_o : 0.00 mm

z_o : 0.00 mm

Resistencia a tracción (CTE DB SE-A, Artículo 6.2.3)

La comprobación no procede, ya que no hay axil de tracción.

Resistencia a compresión (CTE DB SE-A, Artículo 6.2.5)

Se debe satisfacer:

η : 0.001 ✓

El esfuerzo solicitante de cálculo pésimo se produce en el nudo N5, para la combinación de acciones 1.35·PP.

$N_{c,Ed}$: Axil de compresión solicitante de cálculo pésimo.

$N_{c,Ed}$: 7.01 kN

La resistencia de cálculo a compresión **$N_{c,Rd}$** viene dada por:



Listados

N_{c,Rd} : 7609.30 kN

Donde:

Clase: Clase de la sección, según la capacidad de deformación y de desarrollo de la resistencia plástica de los elementos planos comprimidos de una sección.

A: Área de la sección bruta para las secciones de clase 1, 2 y 3.

f_{yd}: Resistencia de cálculo del acero.

Clase : 3

A : 225.06 cm²

f_{yd} : 338.10 MPa

Siendo:

f_y: Límite elástico. (CTE DB SE-A, Tabla 4.1)

γ_{MO}: Coeficiente parcial de seguridad del material.

f_y : 355.00 MPa

γ_{MO} : 1.05

Resistencia a pandeo: (CTE DB SE-A, Artículo 6.3.2)

Para esbelteces $\bar{\lambda} \leq 0.2$ se puede omitir la comprobación frente a pandeo, y comprobar únicamente la resistencia de la sección transversal.

$\bar{\lambda}$: Esbeltez reducida.

$\bar{\lambda}$: 0.06

Donde:

A: Área de la sección bruta para las secciones de clase 1, 2 y 3.

f_y: Límite elástico. (CTE DB SE-A, Tabla 4.1)

N_{cr}: Axil crítico elástico de pandeo, obtenido como el menor de los siguientes valores:

N_{cr,y}: Axil crítico elástico de pandeo por flexión respecto al eje Y.

N_{cr,z}: Axil crítico elástico de pandeo por flexión respecto al eje Z.

N_{cr,T}: Axil crítico elástico de pandeo por torsión.

A : 225.06 cm²

f_y : 355.00 MPa

N_{cr} : 2079019.67 kN

N_{cr,y} : 2079019.67 kN

N_{cr,z} : 2079019.67 kN

N_{cr,T} : ∞

Resistencia a flexión eje Y (CTE DB SE-A, Artículo 6.2.6)

Se debe satisfacer:

η : 0.700 ✓



Para flexión positiva:

El esfuerzo solicitante de cálculo pésimo se produce en el nudo N6, para la combinación de acciones $0.8 \cdot \text{PP} + 1.5 \cdot \text{V1}$.

\mathbf{M}_{Ed}^+ : Momento flector solicitante de cálculo pésimo.

$\mathbf{M}_{\text{Ed}}^+ : 779.80 \text{ kN}\cdot\text{m}$

Para flexión negativa:

\mathbf{M}_{Ed}^- : Momento flector solicitante de cálculo pésimo.

$\mathbf{M}_{\text{Ed}}^- : 0.00 \text{ kN}\cdot\text{m}$

El momento flector resistente de cálculo $\mathbf{M}_{\text{c,Rd}}$ viene dado por:

$\mathbf{M}_{\text{c,Rd}} : 1113.76 \text{ kN}\cdot\text{m}$

Donde:

Clase: Clase de la sección, según la capacidad de deformación y de desarrollo de la resistencia plástica de los elementos planos de una sección a flexión simple.

Clase : 3

W_{el,y}: Módulo resistente elástico correspondiente a la fibra con mayor tensión, para las secciones de clase 3.

$\mathbf{W}_{\text{el,y}} : 3294.22 \text{ cm}^3$

f_{yd}: Resistencia de cálculo del acero.

$\mathbf{f}_{\text{yd}} : 338.10 \text{ MPa}$

Siendo:

f_y: Límite elástico. (CTE DB SE-A, Tabla 4.1)

$\mathbf{f}_y : 355.00 \text{ MPa}$

γ_{MO}: Coeficiente parcial de seguridad del material.

$\mathbf{\gamma}_{\text{MO}} : 1.05$

Resistencia a flexión eje Z (CTE DB SE-A, Artículo 6.2.6)

La comprobación no procede, ya que no hay momento flector.

Resistencia a corte Z (CTE DB SE-A, Artículo 6.2.4)

Se debe satisfacer:

$\eta : 0.085 \checkmark$

El esfuerzo solicitante de cálculo pésimo se produce para la combinación de acciones $0.8 \cdot \text{PP} + 1.5 \cdot \text{V1}$.

V_{Ed}: Esfuerzo cortante solicitante de cálculo pésimo.

$\mathbf{V}_{\text{Ed}} : 236.35 \text{ kN}$

Resistencia a cortante de la sección:

El esfuerzo cortante resistente de cálculo $\mathbf{V}_{\text{c,Rd}}$ viene dado por:

$\mathbf{V}_{\text{c,Rd}} : 2796.82 \text{ kN}$



Donde:

A_v : Área transversal a cortante.

A_v : 143.28 cm²

Siendo:

A : Área de la sección bruta.

A : 225.06 cm²

f_yd : Resistencia de cálculo del acero.

f_yd : 338.10 MPa

Siendo:

f_y : Límite elástico. (CTE DB SE-A, Tabla 4.1)

f_y : 355.00 MPa

γ_{M0} : Coeficiente parcial de seguridad del material.

γ_{M0} : 1.05

Resistencia a corte Y (CTE DB SE-A, Artículo 6.2.4)

La comprobación no procede, ya que no hay esfuerzo cortante.

Resistencia a momento flector Y y fuerza cortante Z combinados (CTE DB SE-A, Artículo 6.2.8)

No es necesario reducir la resistencia de cálculo a flexión, ya que el esfuerzo cortante solicitante de cálculo pésimo V_{Ed} no es superior al 50% de la resistencia de cálculo a cortante $V_{c,Rd}$.

236.35 kN ≤ 1398.41 kN ✓

Los esfuerzos solicitantes de cálculo pésimos se producen para la combinación de acciones 0.8·PP+1.5·V1.

V_{Ed} : Esfuerzo cortante solicitante de cálculo pésimo.

V_{Ed} : 236.35 kN

$V_{c,Rd}$: Esfuerzo cortante resistente de cálculo.

$V_{c,Rd}$: 2796.82 kN

Resistencia a momento flector Z y fuerza cortante Y combinados (CTE DB SE-A, Artículo 6.2.8)

No hay interacción entre momento flector y esfuerzo cortante para ninguna combinación. Por lo tanto, la comprobación no procede.

Resistencia a flexión y axil combinados (CTE DB SE-A, Artículo 6.2.8)



Se debe satisfacer:

η : 0.701 ✓

η : 0.701 ✓

η : 0.561 ✓

Los esfuerzos solicitantes de cálculo pésimos se producen en el nudo N6, para la combinación de acciones 1.35·PP+1.5·V1.

Donde:

$N_{c,Ed}$: Axil de compresión solicitante de cálculo pésimo.

$M_{y,Ed}$, $M_{z,Ed}$: Momentos flectores solicitantes de cálculo pésimos, según los ejes Y y Z, respectivamente.

Clase: Clase de la sección, según la capacidad de deformación y de desarrollo de la resistencia plástica de sus elementos planos, para axil y flexión simple.

$N_{pl,Rd}$: Resistencia a compresión de la sección bruta.

$M_{el,Rd,y}$, $M_{el,Rd,z}$: Resistencia a flexión de la sección bruta en condiciones elásticas, respecto a los ejes Y y Z, respectivamente.

Resistencia a pandeo: (CTE DB SE-A, Artículo 6.3.4.2)

A: Área de la sección bruta.

$W_{el,y}$, $W_{el,z}$: Módulos resistentes elásticos correspondientes a la fibra comprimida, alrededor de los ejes Y y Z, respectivamente.

f_{yd} : Resistencia de cálculo del acero.

$N_{c,Ed}$: 4.67 kN

$M_{y,Ed}$: 779.80 kN·m

$M_{z,Ed}$: 0.00 kN·m

Clase : 3

$N_{pl,Rd}$: 7609.30 kN

$M_{el,Rd,y}$: 1113.76 kN·m

$M_{el,Rd,z}$: 1113.76 kN·m

A : 225.06 cm²

$W_{el,y}$: 3294.22 cm³

$W_{el,z}$: 3294.22 cm³

f_{yd} : 338.10 MPa

Siendo:

f_y : Límite elástico. (CTE DB SE-A, Tabla 4.1)

γ_{M1} : Coeficiente parcial de seguridad del material.

f_y : 355.00 MPa

γ_{M1} : 1.05

k_y , k_z : Coeficientes de interacción.

k_y : 1.00

k_z : 1.00

$C_{m,y}$, $C_{m,z}$: Factores de momento flector uniforme equivalente.

$C_{m,y}$: 1.00

$C_{m,z}$: 1.00



χ_y, χ_z : Coeficientes de reducción por pandeo, alrededor de los ejes Y y Z, respectivamente.

$\chi_y : 1.00$
 $\chi_z : 1.00$

$\bar{\lambda}_y, \bar{\lambda}_z$: Eslabeces reducidas con valores no mayores que 1.00, en relación a los ejes Y y Z, respectivamente.

$\bar{\lambda}_y : 0.06$
 $\bar{\lambda}_z : 0.06$

α_y, α_z : Factores dependientes de la clase de la sección.

$\alpha_y : 0.80$
 $\alpha_z : 1.00$

Resistencia a flexión, axil y cortante combinados (CTE DB SE-A, Artículo 6.2.8)

No es necesario reducir las resistencias de cálculo a flexión y a axil, ya que se puede ignorar el efecto de abolladura por esfuerzo cortante y, además, el esfuerzo cortante solicitante de cálculo pésimo V_{Ed} es menor o igual que el 50% del esfuerzo cortante resistente de cálculo $V_{c,Rd}$.

Los esfuerzos solicitantes de cálculo pésimos se producen para la combinación de acciones $0.8 \cdot PP + 1.5 \cdot V1$.

236.35 kN ≤ 1398.41 kN



Donde:

$V_{Ed,z}$: Esfuerzo cortante solicitante de cálculo pésimo.

$V_{Ed,z} : 236.35$ kN

$V_{c,Rd,z}$: Esfuerzo cortante resistente de cálculo.

$V_{c,Rd,z} : 2796.82$ kN

Resistencia a torsión (CTE DB SE-A, Artículo 6.2.7)

La comprobación no procede, ya que no hay momento torsor.

Resistencia a cortante Z y momento torsor combinados (CTE DB SE-A, Artículo 6.2.8)

No hay interacción entre momento torsor y esfuerzo cortante para ninguna combinación. Por lo tanto, la comprobación no procede.

Resistencia a cortante Y y momento torsor combinados (CTE DB SE-A, Artículo 6.2.8)

No hay interacción entre momento torsor y esfuerzo cortante para ninguna combinación. Por lo tanto, la comprobación no procede.



Barra N4/N5

Perfil: 609X12**Material: Acero (S355)**

Nudos		Longitud (m)	Características mecánicas			
Inicial	Final		Área (cm ²)	$I_y^{(1)}$ (cm ⁴)	$I_z^{(1)}$ (cm ⁴)	$I_t^{(2)}$ (cm ⁴)
N4	N5	1.000	225.06	100308.92	100308.92	200617.84

Notas:

(1) Inercia respecto al eje indicado
(2) Momento de inercia a torsión uniforme

	Pandeo		Pandeo lateral	
	Plano XY	Plano XZ	Ala sup.	Ala inf.
β	1.00	1.00	0.00	0.00
L_K	1.000	1.000	0.000	0.000
C_m	1.000	1.000	1.000	1.000
C_1	-		1.000	

Notación:

β : Coeficiente de pandeo
 L_K : Longitud de pandeo (m)
 C_m : Coeficiente de momentos
 C_1 : Factor de modificación para el momento crítico

Limitación de esbeltez (CTE DB SE-A, Artículos 6.3.1 y 6.3.2.1 - Tabla 6.3)

La esbeltez reducida $\bar{\lambda}$ de las barras comprimidas debe ser inferior al valor 2.0.

$$\bar{\lambda} : \underline{0.06} \quad \checkmark$$

Donde:

Clase: Clase de la sección, según la capacidad de deformación y de desarrollo de la resistencia plástica de los elementos planos comprimidos de una sección.

Clase : 3

A: Área de la sección bruta para las secciones de clase 1, 2 y 3.

A : 225.06 cm²

f_y: Límite elástico. (CTE DB SE-A, Tabla 4.1)

f_y : 355.00 MPa

N_{cr}: Axil crítico de pandeo elástico.

N_{cr} : 2079019.67 kN

El axil crítico de pandeo elástico **N_{cr}** es el menor de los valores obtenidos en a), b) y c):

N_{cr,y} : 2079019.67 kN

a) Axil crítico elástico de pandeo por flexión respecto al eje Y.

b) Axil crítico elástico de pandeo por flexión respecto al eje Z.

N_{cr,z} : 2079019.67 kN

c) Axil crítico elástico de pandeo por torsión.

N_{cr,T} : ∞



Listados

Donde:

I_y : Momento de inercia de la sección bruta, respecto al eje Y.

I_z : Momento de inercia de la sección bruta, respecto al eje Z.

I_t : Momento de inercia a torsión uniforme.

I_w : Constante de alabeo de la sección.

E: Módulo de elasticidad.

G: Módulo de elasticidad transversal.

L_{ky} : Longitud efectiva de pandeo por flexión, respecto al eje Y.

L_{kz} : Longitud efectiva de pandeo por flexión, respecto al eje Z.

L_{kt} : Longitud efectiva de pandeo por torsión.

i_0 : Radio de giro polar de la sección bruta, respecto al centro de torsión.

I_y : 100308.92 cm⁴

I_z : 100308.92 cm⁴

I_t : 200617.84 cm⁴

I_w : 0.00 cm⁶

E : 210000 MPa

G : 81000 MPa

L_{ky} : 1.000 m

L_{kz} : 1.000 m

L_{kt} : 0.000 m

i_0 : 29.86 cm

Siendo:

i_y , **i_z** : Radios de giro de la sección bruta, respecto a los ejes principales de inercia Y y Z.

y_0 , **z_0** : Coordenadas del centro de torsión en la dirección de los ejes principales Y y Z, respectivamente, relativas al centro de gravedad de la sección.

i_y : 21.11 cm

i_z : 21.11 cm

y_0 : 0.00 mm

z_0 : 0.00 mm

Resistencia a tracción (CTE DB SE-A, Artículo 6.2.3)

La comprobación no procede, ya que no hay axil de tracción.

Resistencia a compresión (CTE DB SE-A, Artículo 6.2.5)

Se debe satisfacer:

η : 0.001 ✓

El esfuerzo solicitante de cálculo pésimo se produce en el nudo N4, para la combinación de acciones 1.35·PP.

$N_{c,Ed}$: Axil de compresión solicitante de cálculo pésimo.

$N_{c,Ed}$: 5.84 kN

La resistencia de cálculo a compresión **$N_{c,Rd}$** viene dada por:



Listados

N_{c,Rd} : 7609.30 kN

Donde:

Clase: Clase de la sección, según la capacidad de deformación y de desarrollo de la resistencia plástica de los elementos planos comprimidos de una sección.

A: Área de la sección bruta para las secciones de clase 1, 2 y 3.

f_{yd}: Resistencia de cálculo del acero.

Clase : 3

A : 225.06 cm²

f_{yd} : 338.10 MPa

Siendo:

f_y: Límite elástico. (CTE DB SE-A, Tabla 4.1)

γ_{MO}: Coeficiente parcial de seguridad del material.

f_y : 355.00 MPa

γ_{MO} : 1.05

Resistencia a pandeo: (CTE DB SE-A, Artículo 6.3.2)

Para esbelteces $\bar{\lambda} \leq 0.2$ se puede omitir la comprobación frente a pandeo, y comprobar únicamente la resistencia de la sección transversal.

$\bar{\lambda}$: Esbeltez reducida.

$\bar{\lambda}$: 0.06

Donde:

A: Área de la sección bruta para las secciones de clase 1, 2 y 3.

f_y: Límite elástico. (CTE DB SE-A, Tabla 4.1)

N_{cr}: Axil crítico elástico de pandeo, obtenido como el menor de los siguientes valores:

N_{cr,y}: Axil crítico elástico de pandeo por flexión respecto al eje Y.

N_{cr,z}: Axil crítico elástico de pandeo por flexión respecto al eje Z.

N_{cr,T}: Axil crítico elástico de pandeo por torsión.

A : 225.06 cm²

f_y : 355.00 MPa

N_{cr} : 2079019.67 kN

N_{cr,y} : 2079019.67 kN

N_{cr,z} : 2079019.67 kN

N_{cr,T} : ∞

Resistencia a flexión eje Y (CTE DB SE-A, Artículo 6.2.6)

Se debe satisfacer:

η : 0.488 ✓



Para flexión positiva:

El esfuerzo solicitante de cálculo pésimo se produce en el nudo N5, para la combinación de acciones $0.8 \cdot \text{PP} + 1.5 \cdot \text{V1}$.

\mathbf{M}_{Ed}^+ : Momento flector solicitante de cálculo pésimo.

$\mathbf{M}_{\text{Ed}}^+ : 543.44 \text{ kN}\cdot\text{m}$

Para flexión negativa:

\mathbf{M}_{Ed}^- : Momento flector solicitante de cálculo pésimo.

$\mathbf{M}_{\text{Ed}}^- : 0.00 \text{ kN}\cdot\text{m}$

El momento flector resistente de cálculo $\mathbf{M}_{\text{c,Rd}}$ viene dado por:

$\mathbf{M}_{\text{c,Rd}} : 1113.76 \text{ kN}\cdot\text{m}$

Donde:

Clase: Clase de la sección, según la capacidad de deformación y de desarrollo de la resistencia plástica de los elementos planos de una sección a flexión simple.

Clase : 3

W_{el,y}: Módulo resistente elástico correspondiente a la fibra con mayor tensión, para las secciones de clase 3.

$\mathbf{W}_{\text{el,y}} : 3294.22 \text{ cm}^3$

f_{yd}: Resistencia de cálculo del acero.

$\mathbf{f}_{\text{yd}} : 338.10 \text{ MPa}$

Siendo:

f_y: Límite elástico. (CTE DB SE-A, Tabla 4.1)

$\mathbf{f}_y : 355.00 \text{ MPa}$

γ_{MO}: Coeficiente parcial de seguridad del material.

$\mathbf{\gamma}_{\text{MO}} : 1.05$

Resistencia a flexión eje Z (CTE DB SE-A, Artículo 6.2.6)

La comprobación no procede, ya que no hay momento flector.

Resistencia a corte Z (CTE DB SE-A, Artículo 6.2.4)

Se debe satisfacer:

$\eta : 0.084 \checkmark$

El esfuerzo solicitante de cálculo pésimo se produce para la combinación de acciones $0.8 \cdot \text{PP} + 1.5 \cdot \text{V1}$.

V_{Ed}: Esfuerzo cortante solicitante de cálculo pésimo.

$\mathbf{V}_{\text{Ed}} : 234.49 \text{ kN}$

Resistencia a cortante de la sección:

El esfuerzo cortante resistente de cálculo $\mathbf{V}_{\text{c,Rd}}$ viene dado por:

$\mathbf{V}_{\text{c,Rd}} : 2796.82 \text{ kN}$



Donde:

A_v : Área transversal a cortante.

A_v : 143.28 cm²

Siendo:

A : Área de la sección bruta.

A : 225.06 cm²

f_yd : Resistencia de cálculo del acero.

f_yd : 338.10 MPa

Siendo:

f_y : Límite elástico. (CTE DB SE-A, Tabla 4.1)

f_y : 355.00 MPa

γ_{M0} : Coeficiente parcial de seguridad del material.

γ_{M0} : 1.05

Resistencia a corte Y (CTE DB SE-A, Artículo 6.2.4)

La comprobación no procede, ya que no hay esfuerzo cortante.

Resistencia a momento flector Y y fuerza cortante Z combinados (CTE DB SE-A, Artículo 6.2.8)

No es necesario reducir la resistencia de cálculo a flexión, ya que el esfuerzo cortante solicitante de cálculo pésimo V_{Ed} no es superior al 50% de la resistencia de cálculo a cortante $V_{c,Rd}$.

234.49 kN ≤ 1398.41 kN



Los esfuerzos solicitantes de cálculo pésimos se producen para la combinación de acciones 0.8·PP+1.5·V1.

V_{Ed} : Esfuerzo cortante solicitante de cálculo pésimo.

V_{Ed} : 234.49 kN

$V_{c,Rd}$: Esfuerzo cortante resistente de cálculo.

$V_{c,Rd}$: 2796.82 kN

Resistencia a momento flector Z y fuerza cortante Y combinados (CTE DB SE-A, Artículo 6.2.8)

No hay interacción entre momento flector y esfuerzo cortante para ninguna combinación. Por lo tanto, la comprobación no procede.

Resistencia a flexión y axil combinados (CTE DB SE-A, Artículo 6.2.8)



Se debe satisfacer:

η : 0.488 ✓

η : 0.488 ✓

η : 0.391 ✓

Los esfuerzos solicitantes de cálculo pésimos se producen en el nudo N5, para la combinación de acciones 1.35·PP+1.5·V1.

Donde:

$N_{c,Ed}$: Axil de compresión solicitante de cálculo pésimo.

$M_{y,Ed}$, $M_{z,Ed}$: Momentos flectores solicitantes de cálculo pésimos, según los ejes Y y Z, respectivamente.

Clase: Clase de la sección, según la capacidad de deformación y de desarrollo de la resistencia plástica de sus elementos planos, para axil y flexión simple.

$N_{pl,Rd}$: Resistencia a compresión de la sección bruta.

$M_{el,Rd,y}$, $M_{el,Rd,z}$: Resistencia a flexión de la sección bruta en condiciones elásticas, respecto a los ejes Y y Z, respectivamente.

Resistencia a pandeo: (CTE DB SE-A, Artículo 6.3.4.2)

A: Área de la sección bruta.

$W_{el,y}$, $W_{el,z}$: Módulos resistentes elásticos correspondientes a la fibra comprimida, alrededor de los ejes Y y Z, respectivamente.

f_{yd} : Resistencia de cálculo del acero.

$N_{c,Ed}$: 3.50 kN

$M_{y,Ed}$: 543.44 kN·m

$M_{z,Ed}$: 0.00 kN·m

Clase : 3

$N_{pl,Rd}$: 7609.30 kN

$M_{el,Rd,y}$: 1113.76 kN·m

$M_{el,Rd,z}$: 1113.76 kN·m

A : 225.06 cm²

$W_{el,y}$: 3294.22 cm³

$W_{el,z}$: 3294.22 cm³

f_{yd} : 338.10 MPa

Siendo:

f_y : Límite elástico. (CTE DB SE-A, Tabla 4.1)

γ_{M1} : Coeficiente parcial de seguridad del material.

f_y : 355.00 MPa

γ_{M1} : 1.05

k_y , k_z : Coeficientes de interacción.

k_y : 1.00

k_z : 1.00

$C_{m,y}$, $C_{m,z}$: Factores de momento flector uniforme equivalente.

$C_{m,y}$: 1.00

$C_{m,z}$: 1.00



χ_y, χ_z : Coeficientes de reducción por pandeo, alrededor de los ejes Y y Z, respectivamente.

$\chi_y : 1.00$
 $\chi_z : 1.00$

$\bar{\lambda}_y, \bar{\lambda}_z$: Eslabeces reducidas con valores no mayores que 1.00, en relación a los ejes Y y Z, respectivamente.

$\bar{\lambda}_y : 0.06$
 $\bar{\lambda}_z : 0.06$

α_y, α_z : Factores dependientes de la clase de la sección.

$\alpha_y : 0.80$
 $\alpha_z : 1.00$

Resistencia a flexión, axil y cortante combinados (CTE DB SE-A, Artículo 6.2.8)

No es necesario reducir las resistencias de cálculo a flexión y a axil, ya que se puede ignorar el efecto de abolladura por esfuerzo cortante y, además, el esfuerzo cortante solicitante de cálculo pésimo V_{Ed} es menor o igual que el 50% del esfuerzo cortante resistente de cálculo $V_{c,Rd}$.

Los esfuerzos solicitantes de cálculo pésimos se producen para la combinación de acciones $0.8 \cdot PP + 1.5 \cdot V1$.

234.49 kN ≤ 1398.41 kN



Donde:

$V_{Ed,z}$: Esfuerzo cortante solicitante de cálculo pésimo.

$V_{Ed,z} : 234.49$ kN

$V_{c,Rd,z}$: Esfuerzo cortante resistente de cálculo.

$V_{c,Rd,z} : 2796.82$ kN

Resistencia a torsión (CTE DB SE-A, Artículo 6.2.7)

La comprobación no procede, ya que no hay momento torsor.

Resistencia a cortante Z y momento torsor combinados (CTE DB SE-A, Artículo 6.2.8)

No hay interacción entre momento torsor y esfuerzo cortante para ninguna combinación. Por lo tanto, la comprobación no procede.

Resistencia a cortante Y y momento torsor combinados (CTE DB SE-A, Artículo 6.2.8)

No hay interacción entre momento torsor y esfuerzo cortante para ninguna combinación. Por lo tanto, la comprobación no procede.



Barra N3/N4

Perfil: 609X12**Material: Acero (S355)**

Nudos		Longitud (m)	Características mecánicas			
Inicial	Final		Área (cm ²)	$I_y^{(1)}$ (cm ⁴)	$I_z^{(1)}$ (cm ⁴)	$I_t^{(2)}$ (cm ⁴)
N3	N4	1.000	225.06	100308.92	100308.92	200617.84

Notas:

(1) Inercia respecto al eje indicado
(2) Momento de inercia a torsión uniforme

	Pandeo		Pandeo lateral	
	Plano XY	Plano XZ	Ala sup.	Ala inf.
β	1.00	1.00	0.00	0.00
L_K	1.000	1.000	0.000	0.000
C_m	1.000	1.000	1.000	1.000
C_1	-		1.000	

Notación:

β : Coeficiente de pandeo
 L_K : Longitud de pandeo (m)
 C_m : Coeficiente de momentos
 C_1 : Factor de modificación para el momento crítico

Limitación de esbeltez (CTE DB SE-A, Artículos 6.3.1 y 6.3.2.1 - Tabla 6.3)

La esbeltez reducida $\bar{\lambda}$ de las barras comprimidas debe ser inferior al valor 2.0.

$$\bar{\lambda} : \underline{0.06} \quad \checkmark$$

Donde:

Clase: Clase de la sección, según la capacidad de deformación y de desarrollo de la resistencia plástica de los elementos planos comprimidos de una sección.

Clase : 3

A: Área de la sección bruta para las secciones de clase 1, 2 y 3.

A : 225.06 cm²

f_y: Límite elástico. (CTE DB SE-A, Tabla 4.1)

f_y : 355.00 MPa

N_{cr}: Axil crítico de pandeo elástico.

N_{cr} : 2079019.67 kN

El axil crítico de pandeo elástico **N_{cr}** es el menor de los valores obtenidos en a), b) y c):

N_{cr,y} : 2079019.67 kN

a) Axil crítico elástico de pandeo por flexión respecto al eje Y.

b) Axil crítico elástico de pandeo por flexión respecto al eje Z.

N_{cr,z} : 2079019.67 kN

c) Axil crítico elástico de pandeo por torsión.

N_{cr,T} : ∞



Listados

Donde:

I_y : Momento de inercia de la sección bruta, respecto al eje Y.

I_z : Momento de inercia de la sección bruta, respecto al eje Z.

I_t : Momento de inercia a torsión uniforme.

I_w : Constante de alabeo de la sección.

E: Módulo de elasticidad.

G: Módulo de elasticidad transversal.

L_{ky} : Longitud efectiva de pandeo por flexión, respecto al eje Y.

L_{kz} : Longitud efectiva de pandeo por flexión, respecto al eje Z.

L_{kt} : Longitud efectiva de pandeo por torsión.

i_0 : Radio de giro polar de la sección bruta, respecto al centro de torsión.

I_y : 100308.92 cm⁴

I_z : 100308.92 cm⁴

I_t : 200617.84 cm⁴

I_w : 0.00 cm⁶

E : 210000 MPa

G : 81000 MPa

L_{ky} : 1.000 m

L_{kz} : 1.000 m

L_{kt} : 0.000 m

i_0 : 29.86 cm

Siendo:

i_y , **i_z** : Radios de giro de la sección bruta, respecto a los ejes principales de inercia Y y Z.

y_0 , **z_0** : Coordenadas del centro de torsión en la dirección de los ejes principales Y y Z, respectivamente, relativas al centro de gravedad de la sección.

i_y : 21.11 cm

i_z : 21.11 cm

y_0 : 0.00 mm

z_0 : 0.00 mm

Resistencia a tracción (CTE DB SE-A, Artículo 6.2.3)

La comprobación no procede, ya que no hay axil de tracción.

Resistencia a compresión (CTE DB SE-A, Artículo 6.2.5)

Se debe satisfacer:

η : 0.001 ✓

El esfuerzo solicitante de cálculo pésimo se produce en el nudo N3, para la combinación de acciones 1.35·PP.

$N_{c,Ed}$: Axil de compresión solicitante de cálculo pésimo.

$N_{c,Ed}$: 4.67 kN

La resistencia de cálculo a compresión **$N_{c,Rd}$** viene dada por:



Listados

N_{c,Rd} : 7609.30 kN

Donde:

Clase: Clase de la sección, según la capacidad de deformación y de desarrollo de la resistencia plástica de los elementos planos comprimidos de una sección.

A: Área de la sección bruta para las secciones de clase 1, 2 y 3.

f_{yd}: Resistencia de cálculo del acero.

Clase : 3

A : 225.06 cm²

f_{yd} : 338.10 MPa

Siendo:

f_y: Límite elástico. (CTE DB SE-A, Tabla 4.1)

γ_{MO}: Coeficiente parcial de seguridad del material.

f_y : 355.00 MPa

γ_{MO} : 1.05

Resistencia a pandeo: (CTE DB SE-A, Artículo 6.3.2)

Para esbelteces $\bar{\lambda} \leq 0.2$ se puede omitir la comprobación frente a pandeo, y comprobar únicamente la resistencia de la sección transversal.

$\bar{\lambda}$: Esbeltez reducida.

$\bar{\lambda}$: 0.06

Donde:

A: Área de la sección bruta para las secciones de clase 1, 2 y 3.

f_y: Límite elástico. (CTE DB SE-A, Tabla 4.1)

N_{cr}: Axil crítico elástico de pandeo, obtenido como el menor de los siguientes valores:

N_{cr,y}: Axil crítico elástico de pandeo por flexión respecto al eje Y.

N_{cr,z}: Axil crítico elástico de pandeo por flexión respecto al eje Z.

N_{cr,T}: Axil crítico elástico de pandeo por torsión.

A : 225.06 cm²

f_y : 355.00 MPa

N_{cr} : 2079019.67 kN

N_{cr,y} : 2079019.67 kN

N_{cr,z} : 2079019.67 kN

N_{cr,T} : ∞

Resistencia a flexión eje Y (CTE DB SE-A, Artículo 6.2.6)

Se debe satisfacer:

η : 0.277 ✓



Para flexión positiva:

El esfuerzo solicitante de cálculo pésimo se produce en el nudo N4, para la combinación de acciones $0.8 \cdot \text{PP} + 1.5 \cdot \text{V1}$.

\mathbf{M}_{Ed}^+ : Momento flector solicitante de cálculo pésimo.

$\mathbf{M}_{\text{Ed}}^+ : 308.95 \text{ kN}\cdot\text{m}$

Para flexión negativa:

\mathbf{M}_{Ed}^- : Momento flector solicitante de cálculo pésimo.

$\mathbf{M}_{\text{Ed}}^- : 0.00 \text{ kN}\cdot\text{m}$

El momento flector resistente de cálculo $\mathbf{M}_{\text{c,Rd}}$ viene dado por:

$\mathbf{M}_{\text{c,Rd}} : 1113.76 \text{ kN}\cdot\text{m}$

Donde:

Clase: Clase de la sección, según la capacidad de deformación y de desarrollo de la resistencia plástica de los elementos planos de una sección a flexión simple.

Clase : 3

W_{el,y}: Módulo resistente elástico correspondiente a la fibra con mayor tensión, para las secciones de clase 3.

$\mathbf{W}_{\text{el,y}} : 3294.22 \text{ cm}^3$

f_{yd}: Resistencia de cálculo del acero.

$\mathbf{f}_{\text{yd}} : 338.10 \text{ MPa}$

Siendo:

f_y: Límite elástico. (CTE DB SE-A, Tabla 4.1)

$\mathbf{f}_y : 355.00 \text{ MPa}$

γ_{MO}: Coeficiente parcial de seguridad del material.

$\mathbf{\gamma}_{\text{MO}} : 1.05$

Resistencia a flexión eje Z (CTE DB SE-A, Artículo 6.2.6)

La comprobación no procede, ya que no hay momento flector.

Resistencia a corte Z (CTE DB SE-A, Artículo 6.2.4)

Se debe satisfacer:

$\eta : 0.069 \checkmark$

El esfuerzo solicitante de cálculo pésimo se produce para la combinación de acciones $0.8 \cdot \text{PP} + 1.5 \cdot \text{V1}$.

V_{Ed}: Esfuerzo cortante solicitante de cálculo pésimo.

$\mathbf{V}_{\text{Ed}} : 193.65 \text{ kN}$

Resistencia a cortante de la sección:

El esfuerzo cortante resistente de cálculo $\mathbf{V}_{\text{c,Rd}}$ viene dado por:

$\mathbf{V}_{\text{c,Rd}} : 2796.82 \text{ kN}$



Donde:

A_v : Área transversal a cortante.

A_v : 143.28 cm²

Siendo:

A : Área de la sección bruta.

A : 225.06 cm²

f_yd : Resistencia de cálculo del acero.

f_yd : 338.10 MPa

Siendo:

f_y : Límite elástico. (CTE DB SE-A, Tabla 4.1)

f_y : 355.00 MPa

γ_{M0} : Coeficiente parcial de seguridad del material.

γ_{M0} : 1.05

Resistencia a corte Y (CTE DB SE-A, Artículo 6.2.4)

La comprobación no procede, ya que no hay esfuerzo cortante.

Resistencia a momento flector Y y fuerza cortante Z combinados (CTE DB SE-A, Artículo 6.2.8)

No es necesario reducir la resistencia de cálculo a flexión, ya que el esfuerzo cortante solicitante de cálculo pésimo V_{Ed} no es superior al 50% de la resistencia de cálculo a cortante $V_{c,Rd}$.

193.65 kN ≤ 1398.41 kN ✓

Los esfuerzos solicitantes de cálculo pésimos se producen para la combinación de acciones 0.8·PP+1.5·V1.

V_{Ed} : Esfuerzo cortante solicitante de cálculo pésimo.

V_{Ed} : 193.65 kN

$V_{c,Rd}$: Esfuerzo cortante resistente de cálculo.

$V_{c,Rd}$: 2796.82 kN

Resistencia a momento flector Z y fuerza cortante Y combinados (CTE DB SE-A, Artículo 6.2.8)

No hay interacción entre momento flector y esfuerzo cortante para ninguna combinación. Por lo tanto, la comprobación no procede.

Resistencia a flexión y axil combinados (CTE DB SE-A, Artículo 6.2.8)



Se debe satisfacer:

η : 0.278 ✓

η : 0.278 ✓

η : 0.222 ✓

Los esfuerzos solicitantes de cálculo pésimos se producen en el nudo N4, para la combinación de acciones 1.35·PP+1.5·V1.

Donde:

$N_{c,Ed}$: Axil de compresión solicitante de cálculo pésimo.

$M_{y,Ed}$, $M_{z,Ed}$: Momentos flectores solicitantes de cálculo pésimos, según los ejes Y y Z, respectivamente.

Clase: Clase de la sección, según la capacidad de deformación y de desarrollo de la resistencia plástica de sus elementos planos, para axil y flexión simple.

$N_{pl,Rd}$: Resistencia a compresión de la sección bruta.

$M_{el,Rd,y}$, $M_{el,Rd,z}$: Resistencia a flexión de la sección bruta en condiciones elásticas, respecto a los ejes Y y Z, respectivamente.

Resistencia a pandeo: (CTE DB SE-A, Artículo 6.3.4.2)

A: Área de la sección bruta.

$W_{el,y}$, $W_{el,z}$: Módulos resistentes elásticos correspondientes a la fibra comprimida, alrededor de los ejes Y y Z, respectivamente.

f_{yd} : Resistencia de cálculo del acero.

$N_{c,Ed}$: 2.33 kN

$M_{y,Ed}$: 308.95 kN·m

$M_{z,Ed}$: 0.00 kN·m

Clase : 3

$N_{pl,Rd}$: 7609.30 kN

$M_{el,Rd,y}$: 1113.76 kN·m

$M_{el,Rd,z}$: 1113.76 kN·m

A : 225.06 cm²

$W_{el,y}$: 3294.22 cm³

$W_{el,z}$: 3294.22 cm³

f_{yd} : 338.10 MPa

Siendo:

f_y : Límite elástico. (CTE DB SE-A, Tabla 4.1)

γ_{M1} : Coeficiente parcial de seguridad del material.

f_y : 355.00 MPa

γ_{M1} : 1.05

k_y , k_z : Coeficientes de interacción.

k_y : 1.00

k_z : 1.00

$C_{m,y}$, $C_{m,z}$: Factores de momento flector uniforme equivalente.

$C_{m,y}$: 1.00

$C_{m,z}$: 1.00



χ_y, χ_z : Coeficientes de reducción por pandeo, alrededor de los ejes Y y Z, respectivamente.

$\chi_y : 1.00$
 $\chi_z : 1.00$

$\bar{\lambda}_y, \bar{\lambda}_z$: Eslabeces reducidas con valores no mayores que 1.00, en relación a los ejes Y y Z, respectivamente.

$\bar{\lambda}_y : 0.06$
 $\bar{\lambda}_z : 0.06$

α_y, α_z : Factores dependientes de la clase de la sección.

$\alpha_y : 0.80$
 $\alpha_z : 1.00$

Resistencia a flexión, axil y cortante combinados (CTE DB SE-A, Artículo 6.2.8)

No es necesario reducir las resistencias de cálculo a flexión y a axil, ya que se puede ignorar el efecto de abolladura por esfuerzo cortante y, además, el esfuerzo cortante solicitante de cálculo pésimo V_{Ed} es menor o igual que el 50% del esfuerzo cortante resistente de cálculo $V_{c,Rd}$.

Los esfuerzos solicitantes de cálculo pésimos se producen para la combinación de acciones $0.8 \cdot PP + 1.5 \cdot V1$.

193.65 kN ≤ 1398.41 kN



Donde:

$V_{Ed,z}$: Esfuerzo cortante solicitante de cálculo pésimo.

$V_{Ed,z} : 193.65$ kN

$V_{c,Rd,z}$: Esfuerzo cortante resistente de cálculo.

$V_{c,Rd,z} : 2796.82$ kN

Resistencia a torsión (CTE DB SE-A, Artículo 6.2.7)

La comprobación no procede, ya que no hay momento torsor.

Resistencia a cortante Z y momento torsor combinados (CTE DB SE-A, Artículo 6.2.8)

No hay interacción entre momento torsor y esfuerzo cortante para ninguna combinación. Por lo tanto, la comprobación no procede.

Resistencia a cortante Y y momento torsor combinados (CTE DB SE-A, Artículo 6.2.8)

No hay interacción entre momento torsor y esfuerzo cortante para ninguna combinación. Por lo tanto, la comprobación no procede.



Barra N2/N3

Perfil: 609X12**Material: Acero (S355)**

Nudos		Longitud (m)	Características mecánicas			
Inicial	Final		Área (cm ²)	$I_y^{(1)}$ (cm ⁴)	$I_z^{(1)}$ (cm ⁴)	$I_t^{(2)}$ (cm ⁴)
N2	N3	1.000	225.06	100308.92	100308.92	200617.84

Notas:

(1) Inercia respecto al eje indicado
(2) Momento de inercia a torsión uniforme

	Pandeo		Pandeo lateral	
	Plano XY	Plano XZ	Ala sup.	Ala inf.
β	1.00	1.00	0.00	0.00
L_K	1.000	1.000	0.000	0.000
C_m	1.000	1.000	1.000	1.000
C_1	-		1.000	

Notación:

β : Coeficiente de pandeo
 L_K : Longitud de pandeo (m)
 C_m : Coeficiente de momentos
 C_1 : Factor de modificación para el momento crítico

Limitación de esbeltez (CTE DB SE-A, Artículos 6.3.1 y 6.3.2.1 - Tabla 6.3)

La esbeltez reducida $\bar{\lambda}$ de las barras comprimidas debe ser inferior al valor 2.0.

$$\bar{\lambda} : \underline{0.06} \quad \checkmark$$

Donde:

Clase: Clase de la sección, según la capacidad de deformación y de desarrollo de la resistencia plástica de los elementos planos comprimidos de una sección.

Clase : 3

A: Área de la sección bruta para las secciones de clase 1, 2 y 3.

A : 225.06 cm²

f_y: Límite elástico. (CTE DB SE-A, Tabla 4.1)

f_y : 355.00 MPa

N_{cr}: Axil crítico de pandeo elástico.

N_{cr} : 2079019.67 kN

El axil crítico de pandeo elástico **N_{cr}** es el menor de los valores obtenidos en a), b) y c):

N_{cr,y} : 2079019.67 kN

a) Axil crítico elástico de pandeo por flexión respecto al eje Y.

b) Axil crítico elástico de pandeo por flexión respecto al eje Z.

N_{cr,z} : 2079019.67 kN

c) Axil crítico elástico de pandeo por torsión.

N_{cr,T} : ∞



Listados

Donde:

I_y : Momento de inercia de la sección bruta, respecto al eje Y.

I_z : Momento de inercia de la sección bruta, respecto al eje Z.

I_t : Momento de inercia a torsión uniforme.

I_w : Constante de alabeo de la sección.

E: Módulo de elasticidad.

G: Módulo de elasticidad transversal.

L_{ky} : Longitud efectiva de pandeo por flexión, respecto al eje Y.

L_{kz} : Longitud efectiva de pandeo por flexión, respecto al eje Z.

L_{kt} : Longitud efectiva de pandeo por torsión.

i_0 : Radio de giro polar de la sección bruta, respecto al centro de torsión.

I_y : 100308.92 cm⁴

I_z : 100308.92 cm⁴

I_t : 200617.84 cm⁴

I_w : 0.00 cm⁶

E : 210000 MPa

G : 81000 MPa

L_{ky} : 1.000 m

L_{kz} : 1.000 m

L_{kt} : 0.000 m

i_0 : 29.86 cm

Siendo:

i_y , **i_z** : Radios de giro de la sección bruta, respecto a los ejes principales de inercia Y y Z.

y_0 , **z_0** : Coordenadas del centro de torsión en la dirección de los ejes principales Y y Z, respectivamente, relativas al centro de gravedad de la sección.

i_y : 21.11 cm

i_z : 21.11 cm

y_0 : 0.00 mm

z_0 : 0.00 mm

Resistencia a tracción (CTE DB SE-A, Artículo 6.2.3)

La comprobación no procede, ya que no hay axil de tracción.

Resistencia a compresión (CTE DB SE-A, Artículo 6.2.5)

Se debe satisfacer:

$\eta < \underline{0.001}$ ✓

El esfuerzo solicitante de cálculo pésimo se produce en el nudo N2, para la combinación de acciones 1.35·PP.

$N_{c,Ed}$: Axil de compresión solicitante de cálculo pésimo.

$N_{c,Ed}$: 3.51 kN

La resistencia de cálculo a compresión **$N_{c,Rd}$** viene dada por:



Listados

N_{c,Rd} : 7609.30 kN

Donde:

Clase: Clase de la sección, según la capacidad de deformación y de desarrollo de la resistencia plástica de los elementos planos comprimidos de una sección.

A: Área de la sección bruta para las secciones de clase 1, 2 y 3.

f_{yd}: Resistencia de cálculo del acero.

Clase : 3

A : 225.06 cm²

f_{yd} : 338.10 MPa

Siendo:

f_y: Límite elástico. (CTE DB SE-A, Tabla 4.1)

γ_{MO}: Coeficiente parcial de seguridad del material.

f_y : 355.00 MPa

γ_{MO} : 1.05

Resistencia a pandeo: (CTE DB SE-A, Artículo 6.3.2)

Para esbelteces $\bar{\lambda} \leq 0.2$ se puede omitir la comprobación frente a pandeo, y comprobar únicamente la resistencia de la sección transversal.

$\bar{\lambda}$: Esbeltez reducida.

$\bar{\lambda}$: 0.06

Donde:

A: Área de la sección bruta para las secciones de clase 1, 2 y 3.

f_y: Límite elástico. (CTE DB SE-A, Tabla 4.1)

N_{cr}: Axil crítico elástico de pandeo, obtenido como el menor de los siguientes valores:

N_{cr,y}: Axil crítico elástico de pandeo por flexión respecto al eje Y.

N_{cr,z}: Axil crítico elástico de pandeo por flexión respecto al eje Z.

N_{cr,T}: Axil crítico elástico de pandeo por torsión.

A : 225.06 cm²

f_y : 355.00 MPa

N_{cr} : 2079019.67 kN

N_{cr,y} : 2079019.67 kN

N_{cr,z} : 2079019.67 kN

N_{cr,T} : ∞

Resistencia a flexión eje Y (CTE DB SE-A, Artículo 6.2.6)

Se debe satisfacer:

η : 0.104 ✓



Para flexión positiva:

El esfuerzo solicitante de cálculo pésimo se produce en el nudo N3, para la combinación de acciones $0.8 \cdot \text{PP} + 1.5 \cdot \text{V1}$.

\mathbf{M}_{Ed}^+ : Momento flector solicitante de cálculo pésimo.

$\mathbf{M}_{\text{Ed}}^+ : 115.30 \text{ kN}\cdot\text{m}$

Para flexión negativa:

\mathbf{M}_{Ed}^- : Momento flector solicitante de cálculo pésimo.

$\mathbf{M}_{\text{Ed}}^- : 0.00 \text{ kN}\cdot\text{m}$

El momento flector resistente de cálculo $\mathbf{M}_{\text{c,Rd}}$ viene dado por:

$\mathbf{M}_{\text{c,Rd}} : 1113.76 \text{ kN}\cdot\text{m}$

Donde:

Clase: Clase de la sección, según la capacidad de deformación y de desarrollo de la resistencia plástica de los elementos planos de una sección a flexión simple.

Clase : 3

W_{el,y}: Módulo resistente elástico correspondiente a la fibra con mayor tensión, para las secciones de clase 3.

$\mathbf{W}_{\text{el,y}} : 3294.22 \text{ cm}^3$

f_{yd}: Resistencia de cálculo del acero.

$\mathbf{f}_{\text{yd}} : 338.10 \text{ MPa}$

Siendo:

f_y: Límite elástico. (CTE DB SE-A, Tabla 4.1)

$\mathbf{f}_y : 355.00 \text{ MPa}$

γ_{MO}: Coeficiente parcial de seguridad del material.

$\mathbf{\gamma}_{\text{MO}} : 1.05$

Resistencia a flexión eje Z (CTE DB SE-A, Artículo 6.2.6)

La comprobación no procede, ya que no hay momento flector.

Resistencia a corte Z (CTE DB SE-A, Artículo 6.2.4)

Se debe satisfacer:

$\eta : 0.041 \checkmark$

El esfuerzo solicitante de cálculo pésimo se produce para la combinación de acciones $0.8 \cdot \text{PP} + 1.5 \cdot \text{V1}$.

V_{Ed}: Esfuerzo cortante solicitante de cálculo pésimo.

$\mathbf{V}_{\text{Ed}} : 115.30 \text{ kN}$

Resistencia a cortante de la sección:

El esfuerzo cortante resistente de cálculo $\mathbf{V}_{\text{c,Rd}}$ viene dado por:

$\mathbf{V}_{\text{c,Rd}} : 2796.82 \text{ kN}$



Donde:

A_v : Área transversal a cortante.

A_v : 143.28 cm²

Siendo:

A : Área de la sección bruta.

A : 225.06 cm²

f_yd : Resistencia de cálculo del acero.

f_yd : 338.10 MPa

Siendo:

f_y : Límite elástico. (CTE DB SE-A, Tabla 4.1)

f_y : 355.00 MPa

γ_{M0} : Coeficiente parcial de seguridad del material.

γ_{M0} : 1.05

Resistencia a corte Y (CTE DB SE-A, Artículo 6.2.4)

La comprobación no procede, ya que no hay esfuerzo cortante.

Resistencia a momento flector Y y fuerza cortante Z combinados (CTE DB SE-A, Artículo 6.2.8)

No es necesario reducir la resistencia de cálculo a flexión, ya que el esfuerzo cortante solicitante de cálculo pésimo V_{Ed} no es superior al 50% de la resistencia de cálculo a cortante $V_{c,Rd}$.

115.30 kN ≤ 1398.41 kN ✓

Los esfuerzos solicitantes de cálculo pésimos se producen en un punto situado a una distancia de 0.250 m del nudo N2, para la combinación de acciones 0.8·PP+1.5·V1.

V_{Ed} : Esfuerzo cortante solicitante de cálculo pésimo.

V_{Ed} : 115.30 kN

$V_{c,Rd}$: Esfuerzo cortante resistente de cálculo.

$V_{c,Rd}$: 2796.82 kN

Resistencia a momento flector Z y fuerza cortante Y combinados (CTE DB SE-A, Artículo 6.2.8)

No hay interacción entre momento flector y esfuerzo cortante para ninguna combinación. Por lo tanto, la comprobación no procede.



Listados

Resistencia a flexión y axil combinados (CTE DB SE-A, Artículo 6.2.8)

Se debe satisfacer:

$$\eta : 0.104 \quad \checkmark$$

$$\eta : 0.104 \quad \checkmark$$

$$\eta : 0.083 \quad \checkmark$$

Los esfuerzos solicitantes de cálculo pésimos se producen en el nudo N3, para la combinación de acciones 1.35·PP+1.5·V1.

Donde:

$N_{c,Ed}$: Axil de compresión solicitante de cálculo pésimo.

$M_{y,Ed}$, $M_{z,Ed}$: Momentos flectores solicitantes de cálculo pésimos, según los ejes Y y Z, respectivamente.

Clase: Clase de la sección, según la capacidad de deformación y de desarrollo de la resistencia plástica de sus elementos planos, para axil y flexión simple.

$N_{pl,Rd}$: Resistencia a compresión de la sección bruta.

$M_{el,Rd,y}$, $M_{el,Rd,z}$: Resistencia a flexión de la sección bruta en condiciones elásticas, respecto a los ejes Y y Z, respectivamente.

$$N_{c,Ed} : 1.17 \text{ kN}$$

$$M_{y,Ed} : 115.30 \text{ kN·m}$$

$$M_{z,Ed} : 0.00 \text{ kN·m}$$

$$\text{Clase} : 3$$

$$N_{pl,Rd} : 7609.30 \text{ kN}$$

$$M_{el,Rd,y} : 1113.76 \text{ kN·m}$$

$$M_{el,Rd,z} : 1113.76 \text{ kN·m}$$

Resistencia a pandeo: (CTE DB SE-A, Artículo 6.3.4.2)

A: Área de la sección bruta.

$W_{el,y}$, $W_{el,z}$: Módulos resistentes elásticos correspondientes a la fibra comprimida, alrededor de los ejes Y y Z, respectivamente.

f_{yd} : Resistencia de cálculo del acero.

$$A : 225.06 \text{ cm}^2$$

$$W_{el,y} : 3294.22 \text{ cm}^3$$

$$W_{el,z} : 3294.22 \text{ cm}^3$$

$$f_{yd} : 338.10 \text{ MPa}$$

Siendo:

f_y : Límite elástico. (CTE DB SE-A, Tabla 4.1)

γ_{M1} : Coeficiente parcial de seguridad del material.

$$f_y : 355.00 \text{ MPa}$$

$$\gamma_{M1} : 1.05$$

k_y , k_z : Coeficientes de interacción.

$$k_y : 1.00$$

$$k_z : 1.00$$

$C_{m,y}$, $C_{m,z}$: Factores de momento flector uniforme equivalente.

$$C_{m,y} : 1.00$$

$$C_{m,z} : 1.00$$



Listados

χ_y, χ_z : Coeficientes de reducción por pandeo, alrededor de los ejes Y y Z, respectivamente.

$\chi_y : 1.00$
 $\chi_z : 1.00$

$\bar{\lambda}_y, \bar{\lambda}_z$: Esbelteces reducidas con valores no mayores que 1.00, en relación a los ejes Y y Z, respectivamente.

$\bar{\lambda}_y : 0.06$
 $\bar{\lambda}_z : 0.06$

α_y, α_z : Factores dependientes de la clase de la sección.

$\alpha_y : 0.80$
 $\alpha_z : 1.00$

Resistencia a flexión, axil y cortante combinados (CTE DB SE-A, Artículo 6.2.8)

No es necesario reducir las resistencias de cálculo a flexión y a axil, ya que se puede ignorar el efecto de abolladura por esfuerzo cortante y, además, el esfuerzo cortante solicitante de cálculo pésimo V_{Ed} es menor o igual que el 50% del esfuerzo cortante resistente de cálculo $V_{c,Rd}$.

Los esfuerzos solicitantes de cálculo pésimos se producen en un punto situado a una distancia de 0.250 m del nudo N2, para la combinación de acciones 0.8·PP+1.5·V1.

115.30 kN ≤ 1398.41 kN



Donde:

$V_{Ed,z}$: Esfuerzo cortante solicitante de cálculo pésimo.

$V_{Ed,z} : 115.30 \text{ kN}$

$V_{c,Rd,z}$: Esfuerzo cortante resistente de cálculo.

$V_{c,Rd,z} : 2796.82 \text{ kN}$

Resistencia a torsión (CTE DB SE-A, Artículo 6.2.7)

La comprobación no procede, ya que no hay momento torsor.

Resistencia a cortante Z y momento torsor combinados (CTE DB SE-A, Artículo 6.2.8)

No hay interacción entre momento torsor y esfuerzo cortante para ninguna combinación. Por lo tanto, la comprobación no procede.

Resistencia a cortante Y y momento torsor combinados (CTE DB SE-A, Artículo 6.2.8)

No hay interacción entre momento torsor y esfuerzo cortante para ninguna combinación. Por lo tanto, la comprobación no procede.



Listados

2.3.2.5.- Comprobaciones E.L.U. (Resumido)

Barras	COMPROBACIONES (CTE DB SE-A)													Estado	
	$\bar{\lambda}$	N_t	N_c	M_Y	M_Z	V_Z	V_Y	$M_Y V_Z$	$M_Z V_Y$	$N M_Y M_Z$	$N M_Y M_Z V_Y V_Z$	M_t	$M_t V_Z$	$M_t V_Y$	
N8/N9	$\bar{\lambda} < 2.0$ Cumple	$N_{Ed} = 0.00$ N.P. ⁽¹⁾	$x: 0 \text{ m}$ $\eta = 0.1$	$x: 0 \text{ m}$ $\eta = 97.7$	$M_{Ed} = 0.00$ N.P. ⁽²⁾	$\eta = 0.8$	$V_{Ed} = 0.00$ N.P. ⁽³⁾	$\eta < 0.1$	$N.P.(4)$	$x: 0 \text{ m}$ $\eta = 97.8$	$\eta < 0.1$	$M_{Ed} = 0.00$ N.P. ⁽⁵⁾	$N.P.(6)$	$N.P.(6)$	CUMPLE $\eta = 97.8$
N9/N11	$x: 0 \text{ m}$ $\bar{\lambda} < 2.0$ Cumple	$N_{Ed} = 0.00$ N.P. ⁽¹⁾	$x: 0 \text{ m}$ $\eta = 0.2$	$x: 0 \text{ m}$ $\eta = 95.6$	$M_{Ed} = 0.00$ N.P. ⁽²⁾	$\eta = 7.6$	$V_{Ed} = 0.00$ N.P. ⁽³⁾	$x: 0 \text{ m}$ $\eta < 0.1$	$N.P.(4)$	$x: 0 \text{ m}$ $\eta = 95.8$	$x: 0 \text{ m}$ $\eta < 0.1$	$M_{Ed} = 0.00$ N.P. ⁽⁵⁾	$N.P.(6)$	$N.P.(6)$	CUMPLE $\eta = 95.8$
N7/N8	$\bar{\lambda} < 2.0$ Cumple	$N_{Ed} = 0.00$ N.P. ⁽¹⁾	$x: 0 \text{ m}$ $\eta = 0.1$	$x: 1 \text{ m}$ $\eta = 97.7$	$M_{Ed} = 0.00$ N.P. ⁽²⁾	$\eta = 4.0$	$V_{Ed} = 0.00$ N.P. ⁽³⁾	$\eta < 0.1$	$N.P.(4)$	$x: 1 \text{ m}$ $\eta = 97.8$	$\eta < 0.1$	$M_{Ed} = 0.00$ N.P. ⁽⁵⁾	$N.P.(6)$	$N.P.(6)$	CUMPLE $\eta = 97.8$
N6/N7	$\bar{\lambda} < 2.0$ Cumple	$N_{Ed} = 0.00$ N.P. ⁽¹⁾	$x: 0 \text{ m}$ $\eta = 0.1$	$x: 1 \text{ m}$ $\eta = 87.7$	$M_{Ed} = 0.00$ N.P. ⁽²⁾	$\eta = 7.0$	$V_{Ed} = 0.00$ N.P. ⁽³⁾	$\eta < 0.1$	$N.P.(4)$	$x: 1 \text{ m}$ $\eta = 87.7$	$\eta < 0.1$	$M_{Ed} = 0.00$ N.P. ⁽⁵⁾	$N.P.(6)$	$N.P.(6)$	CUMPLE $\eta = 87.7$
N5/N6	$\bar{\lambda} < 2.0$ Cumple	$N_{Ed} = 0.00$ N.P. ⁽¹⁾	$x: 0 \text{ m}$ $\eta = 0.1$	$x: 1 \text{ m}$ $\eta = 70.0$	$M_{Ed} = 0.00$ N.P. ⁽²⁾	$\eta = 8.5$	$V_{Ed} = 0.00$ N.P. ⁽³⁾	$\eta < 0.1$	$N.P.(4)$	$x: 1 \text{ m}$ $\eta = 70.1$	$\eta < 0.1$	$M_{Ed} = 0.00$ N.P. ⁽⁵⁾	$N.P.(6)$	$N.P.(6)$	CUMPLE $\eta = 70.1$
N4/N5	$\bar{\lambda} < 2.0$ Cumple	$N_{Ed} = 0.00$ N.P. ⁽¹⁾	$x: 0 \text{ m}$ $\eta = 0.1$	$x: 1 \text{ m}$ $\eta = 48.8$	$M_{Ed} = 0.00$ N.P. ⁽²⁾	$\eta = 8.4$	$V_{Ed} = 0.00$ N.P. ⁽³⁾	$\eta < 0.1$	$N.P.(4)$	$x: 1 \text{ m}$ $\eta = 48.8$	$\eta < 0.1$	$M_{Ed} = 0.00$ N.P. ⁽⁵⁾	$N.P.(6)$	$N.P.(6)$	CUMPLE $\eta = 48.8$
N3/N4	$\bar{\lambda} < 2.0$ Cumple	$N_{Ed} = 0.00$ N.P. ⁽¹⁾	$x: 0 \text{ m}$ $\eta = 0.1$	$x: 1 \text{ m}$ $\eta = 27.7$	$M_{Ed} = 0.00$ N.P. ⁽²⁾	$\eta = 6.9$	$V_{Ed} = 0.00$ N.P. ⁽³⁾	$\eta < 0.1$	$N.P.(4)$	$x: 1 \text{ m}$ $\eta = 27.8$	$\eta < 0.1$	$M_{Ed} = 0.00$ N.P. ⁽⁵⁾	$N.P.(6)$	$N.P.(6)$	CUMPLE $\eta = 27.8$
N2/N3	$\bar{\lambda} < 2.0$ Cumple	$N_{Ed} = 0.00$ N.P. ⁽¹⁾	$x: 0 \text{ m}$ $\eta < 0.1$	$x: 1 \text{ m}$ $\eta = 10.4$	$M_{Ed} = 0.00$ N.P. ⁽²⁾	$\eta = 4.1$	$V_{Ed} = 0.00$ N.P. ⁽³⁾	$x: 0.25 \text{ m}$ $\eta < 0.1$	$N.P.(4)$	$x: 1 \text{ m}$ $\eta = 10.4$	$x: 0.25 \text{ m}$ $\eta < 0.1$	$M_{Ed} = 0.00$ N.P. ⁽⁵⁾	$N.P.(6)$	$N.P.(6)$	CUMPLE $\eta = 10.4$

4. MEDIOS DE PILOTAJE

MEDIOS PARA HINCA DE PILOTES / HEB / TABLESTACAS

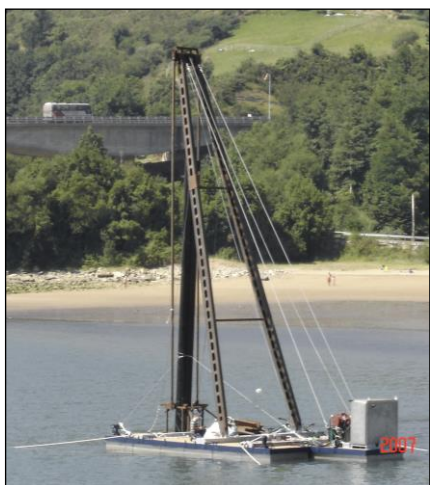
1.- EQUIPO DE PILOTAJE.

La parte del pilotaje de la obra será realizada por un equipo técnico con más de 15 años de experiencia en el campo del pilotaje de Puertos Deportivos así como en la fabricación e instalación de los mismos.

2.- PLATAFORMAS FLOTANTE PARA HINCADO DE PILOTES / HEB / TABLESTACAS

Nuestra empresa dispone de **TRES** plataformas de pilotaje idénticas.

La plataformas está constituida por 3 módulos formados por una estructura de acero en forma rectangular formado por un perfil exterior tipo UPN y arriostrada interiormente con perfil tipo IPE provisto de flotación de aluminio. Las medidas de dichos módulos de pantalán son: 2 unidades de 9,00 mts. de longitud por 2,40 mts. de ancho, que van situados en los laterales y uno central de 10,00 mts. de longitud por 2,40 mts. de anchura.



La flotación está calculada para resistir 33.000 Kg. de peso y está formada por 20 unidades de flotador de aluminio calidad marina de 2,33x1,48x0,50 mts.

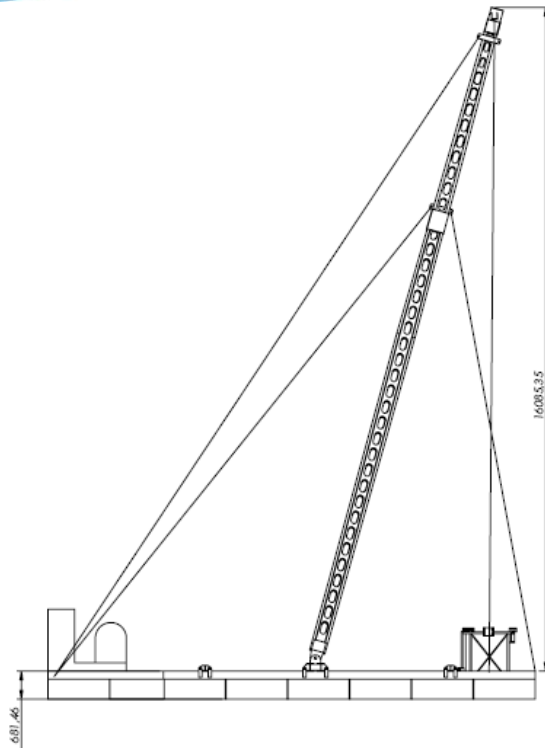
A 4,80 mts. de la parte delantera de los módulos laterales se fijan dos patas móviles de aluminio de 16,00 mts. de longitud, regulables mediante tensores y cables de acero para obtener el ángulo necesario para la hinca del pilote guía de diferentes dimensiones.



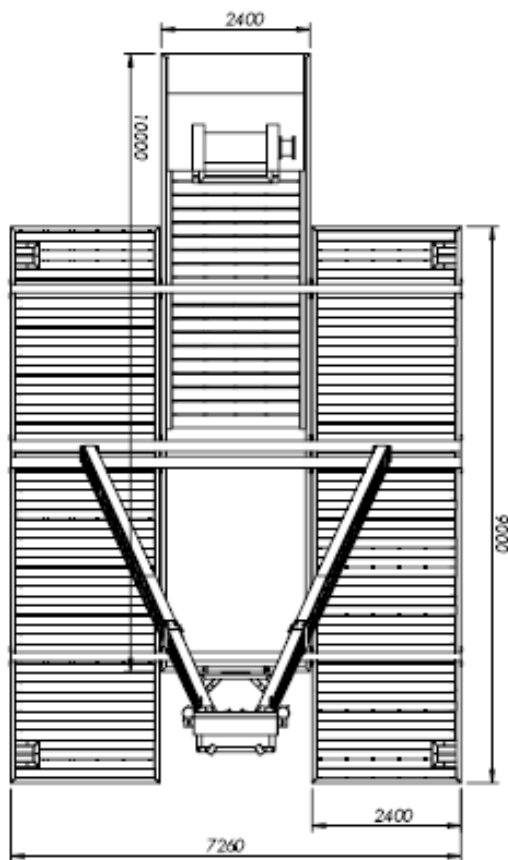
En la parte delantera del módulo central se le instala una estructura de acero que sirve para la sujeción y posterior guiado de los pilotes.

Un mecanismo consistente en una maquinilla hidráulica, con cable de 25 mm., pastecas para el guiado del mismo, que nos permite el manejo del martillo de 2310 Kg. de peso, con el que se golpea el extremo superior del pilote guía, para la ejecución de su hincado en el fondo marino.

En los cuatro extremos de la plataforma existen cuatro maquinillas de accionamiento hidráulico, que permiten la maniobra a anclas de fijación de alto agarre, que nos permite la situación de la plataforma en el punto de trabajo deseado.



3.- CARACTERÍSTICAS MECÁNICAS DE LA MÁQUINA.



Eslora Total	12 m
Manga Total	7,26 m
Puntal	0,681 m
Calado	0,20 m
Peso Máquina	12.000 Kg
Capacidad de carga	21.000 kg
Potencia Motor	110 cv
Presión Hidráulica	185 bar
Altura elevación Martillo	15 m
Energía Impacto	294.000 J

3.- OTRAS CONFIGURACIONES.

Dado la configuración de estas plataformas de pilotaje, así como otros complementos de los que dispone la empresa se puede combinar consiguiendo realizar trabajos en condiciones fuera de lo habitual tales como:

Pilotaje en zona de oleaje con patas fijas.



Pilotaje en zonas de bajo calado



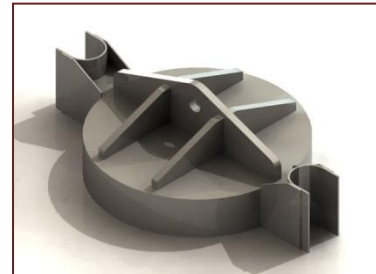
4.- PROCEDIMIENTO DE PILOTAJE.

El pilote guía se levanta con una grúa para ponerlo encima de una plataforma a unos flotadores, que a su vez son remolcados a pie de grúa de pilotaje.

Una vez situado el alcance del cable de la maquinilla, el pilote guía es levantado para ponerlo en posición vertical y, meterlo dentro de la estructura existente en la parte delantera del módulo central.

Una vez introducido el pilote dentro de la estructura, se cierran las puertas y se deja deslizar hasta que se apoya en el fondo marino.

El martillo, de 2310 Kg. de peso, está situado en el tope de la torre mantenido por el cable de la maquinilla. El carretel previamente desembragado se desfrena, permitiendo la caída libre sobre el pilote guía. Los primeros golpes se ejecutan desde una altura de 0,5 a 1,5 mts., para así poder regular la alineación exacta de los pilotes guía.



Una vez hincado el pilote lo suficiente para que no se desplace o mueva de su alineación, se procede a la ejecución del hincado total exigido.

El recorrido vertical del martillo suele ser de 4 a 5 mts., la velocidad que alcanza el martillo se estima en 9,9 mts./seg. ($V = \sqrt{2gh}$, $h = 5$ mts.), siendo la magnitud del impacto del orden de 22.90 Tn. ($2.31 \times 9,9$). En un tubo metálico de 508 mm. de diámetro y un espesor de pared de 8,70 mm. (valor medio) se obtendrá:

Longitud de la arista inferior ($\pi \times D$) =	159,59 cm.
Ancho de arista, sin chaflán =	0,87 cm.
Superficie de apoyo en el fondo =	138,84 cm ²
Presión sobre el terreno =	165,93 Kg/cm ²

5.- MEDIOS DE INSTALACIÓN.

- 3 Embarcaciones auxiliar construida en poliéster reforzado con fibra de vidrio de 5,2 mts. de eslora y 2,2 mts. de manga equipada con un motor.



- 1 Tracto camión DAF equipado con grúa hidráulica y plataforma de las siguientes

características:

Grúa hidráulica modelo PALFINGER.

Alcance 2 m. Fuerza de elevación 10.000 Kg.

Alcance 13,6 m. Fuerza de elevación 1.800 Kg.

Plataforma modelo FRUEHAUF D 32.

Longitud 12,50 m.

P.M.A. 27.000 Kg.



VEHÍCULOS DE APOYO

- Vehículo de asistencia en obra: 3 Mercedes Vito de gran capacidad para traslado de personal herramientas y maquinaria menor (taladros, atornilladores, ...)



6.- HERRAMIENTAS AUXILIARES PARA PILOTAJE.

GENERADOR:

Motor: Cuatro Tiempos, 350 c.c., 8 HP, 3000 rpm

Generador de corriente alterna:

Monofase: 48/240 V

Trifase: 220/240 V

Soldadura en corriente continua: 20/30V, 30/180 A.

OTRAS HERRAMIENTAS:

- Remolque 2 ejes ligero Leiro 750 Kg.
- Tractel T7/A
- Motosoldadora TS-181 BS/EL
- Amoladora ELU-WS54-E
- Compresor LUB 2 HP
- Taladros Varios
- Utillaje diverso

5. PROCEDIMIENTO DE HINCA



astilleros
amilibia
U. S.L.

PROCEDIMIENTO DE HINCA EN ARENA

OBJETO

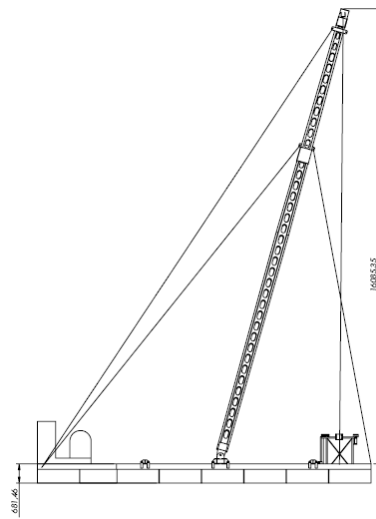
El objeto de este procedimiento es describir las operaciones necesarias para la hincada de pilotes en Arena según sea la profundidad de hincada deseada.

PROCEDIMIENTO HINCADO EN ARENA HASTA COTA DE RECHAZO.

Para la hincada de pilotes en arena se utiliza la plataforma de pilotaje tal como se muestra en la foto indicada con capacidad para pilotes de peso hasta 5.000 kg.



Una vez posicionada la maquina en la zona de trabajos se procede a desplazar el pilotes desde la zona de acopio hasta la zona de trabajos. Para ello se tapan las cabezas de los pilotes para que queden estancos y asi floten.

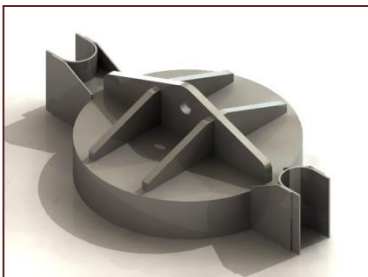


Una vez que llega a la máquina de pilotar se eleva de forma que quede vertical.

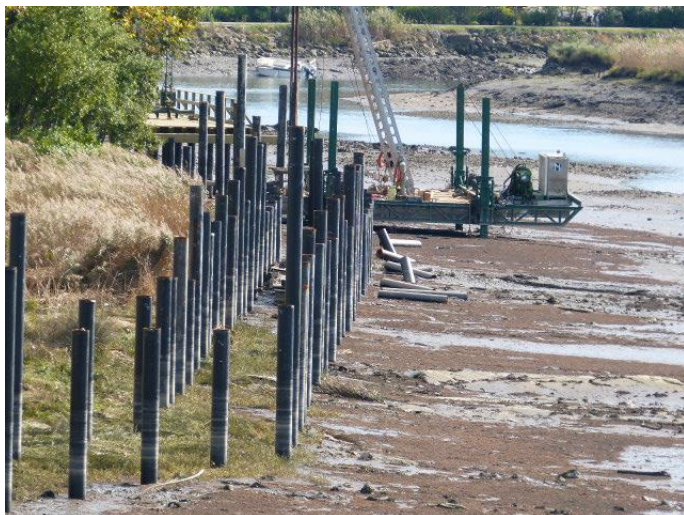
Se procede a posicionarlo en el lugar de hincado y se deja caer en el terreno para que profundice por su propio peso.

Se comprueba si esta en posición y se procede a nivelar mediante los alineadores

Una vez en posición se procede al golpeo con el peso de 3000 kg dejándolo caer desde distintas alturas cada vez mayores hasta de forma repetida hasta que sea necesario.



En zonas donde se prevé poca altura de agua para no afectar al medio marino con la parte inferior de la pontona se utilizar un complemento que mantenga la pontona elevada.

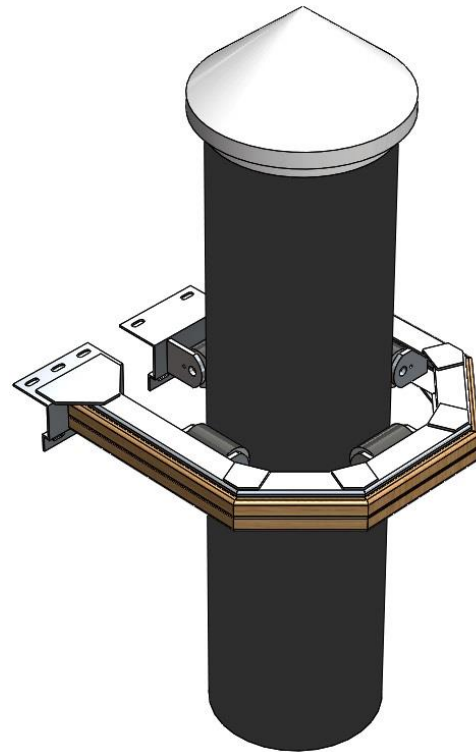


6. CARACTERÍSTICAS DE ANILLAS

A.- DESCRIPCIÓN

Los elementos denominados con anillas son una estructura **resistente** de aluminio cuyo objetivo es servir de elemento de amarre de los pantalanes, o fingers a un pilote guía normalmente de acero estructural con el fin de mantener fija las instalaciones en una posición horizontal y permitiendo que suba y baje por este elemento.

Para evitar el roce de la estructura contra este pilote dispone de rodillos de deslizamiento fabricados en EPDM.



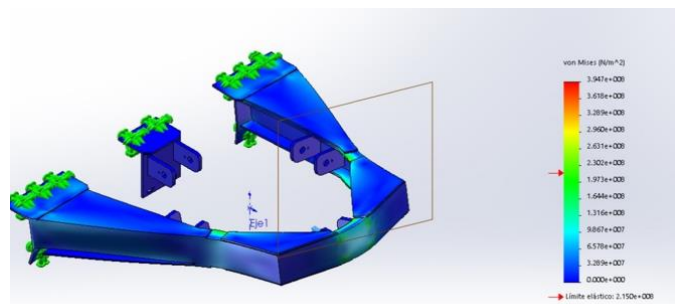
B.- ESTRUCTURA

El chasis está elaborado bajo las normas **UNE-1090- 3** con perfiles en aleación de aluminio, calidad marina **6005-T6(A-SG0,5)**, soldado bajo gas neutro argón por sistema MIG.

La estructura de las anillas se dimensiona en función de las cargas estructurales a soportar así existen varios modelos tipo que se muestran en las imágenes siguientes

Se refuerzan las esquinas y la conexión de cabeza que son los puntos de mayor esfuerzo.

El análisis de este tipo de estructura se realiza mediante software de elementos finitos.

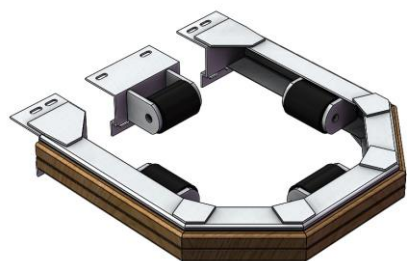
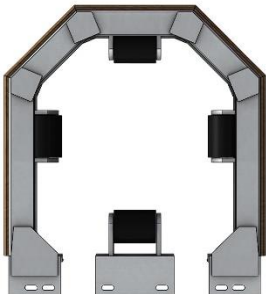


C.- TIPOS DE ANILLA

En función de las necesidades se han diseñado distintos tipos de anillas que fundamentalmente se diferencian por la capacidad resistente estructural.

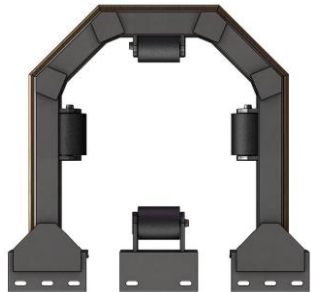
ANILLA PUNTA FINGER – 1.0 M

Esta anilla tiene la base más estrecha para que no sobresalga en la punta del finger



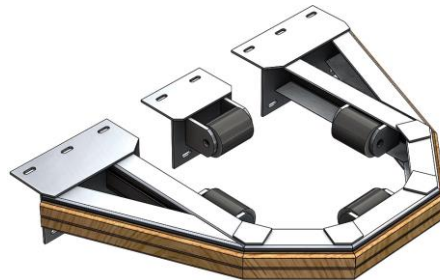
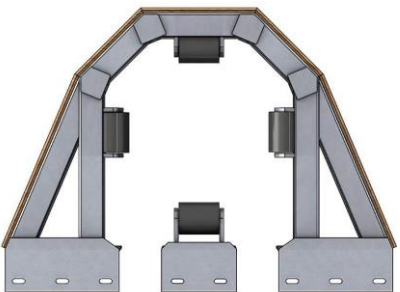
ANILLA ESTANDAR

Es la más común de las anillas utilizadas en el 80 % de las instalaciones.



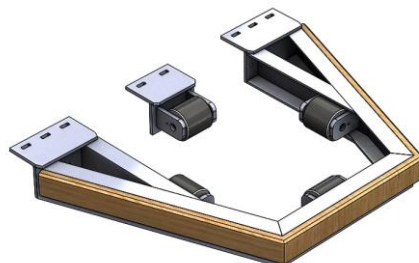
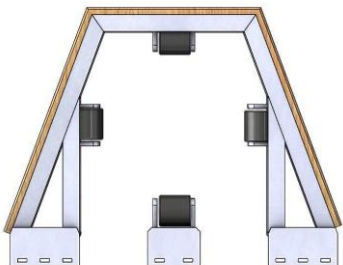
ANILLA REFORZADA

Esta anilla se utiliza en zona donde las cargas a soportar ya son de cierta entidad y se necesita incrementar la resistencia lateral de la anilla siendo su uso principal en cabeza de pantalanes.



ANILLA SUPER- REFORZADA

Se utiliza para soportar grandes cargas y está formado por un perfil en forma de U.



ANILLA INTERIOR ESTRUCTURA

En los casos en que es necesario que la anilla no interfiera en el lateral del pantalán se puede realizar un hueco en la estructura para poder configurar la anilla en el interior.



D.- DEFENSAS

Existen dos posibilidades de defensa para el lateral en las anillas en función del tipo de material a utilizar:

- Defensa de PVC color de forma especialmente diseñada para este tipo de perfil.
- Defensa especial de **ECODECK**. Con forma optimizada para anclaje a perfil mediante remaches de aluminio.

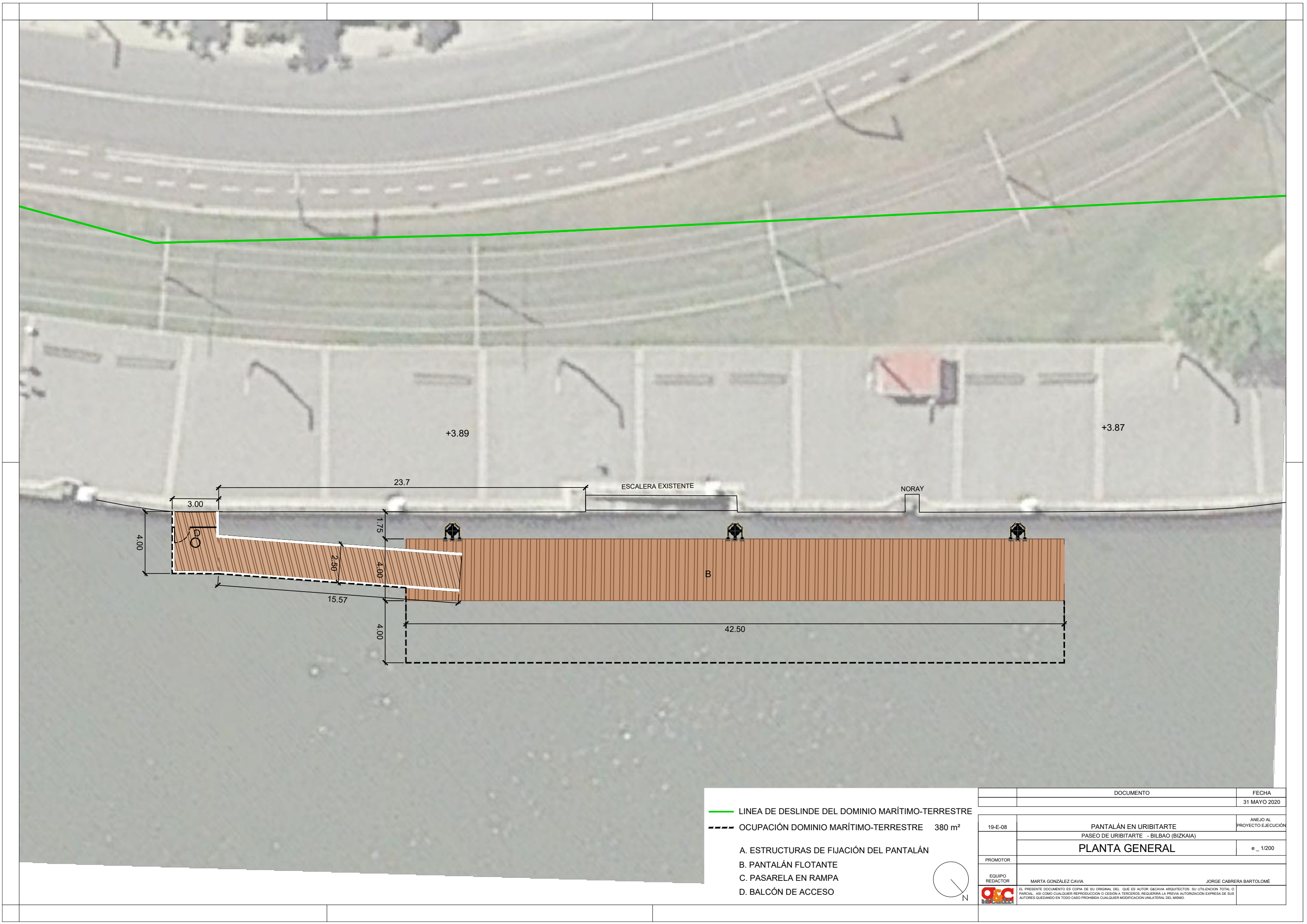


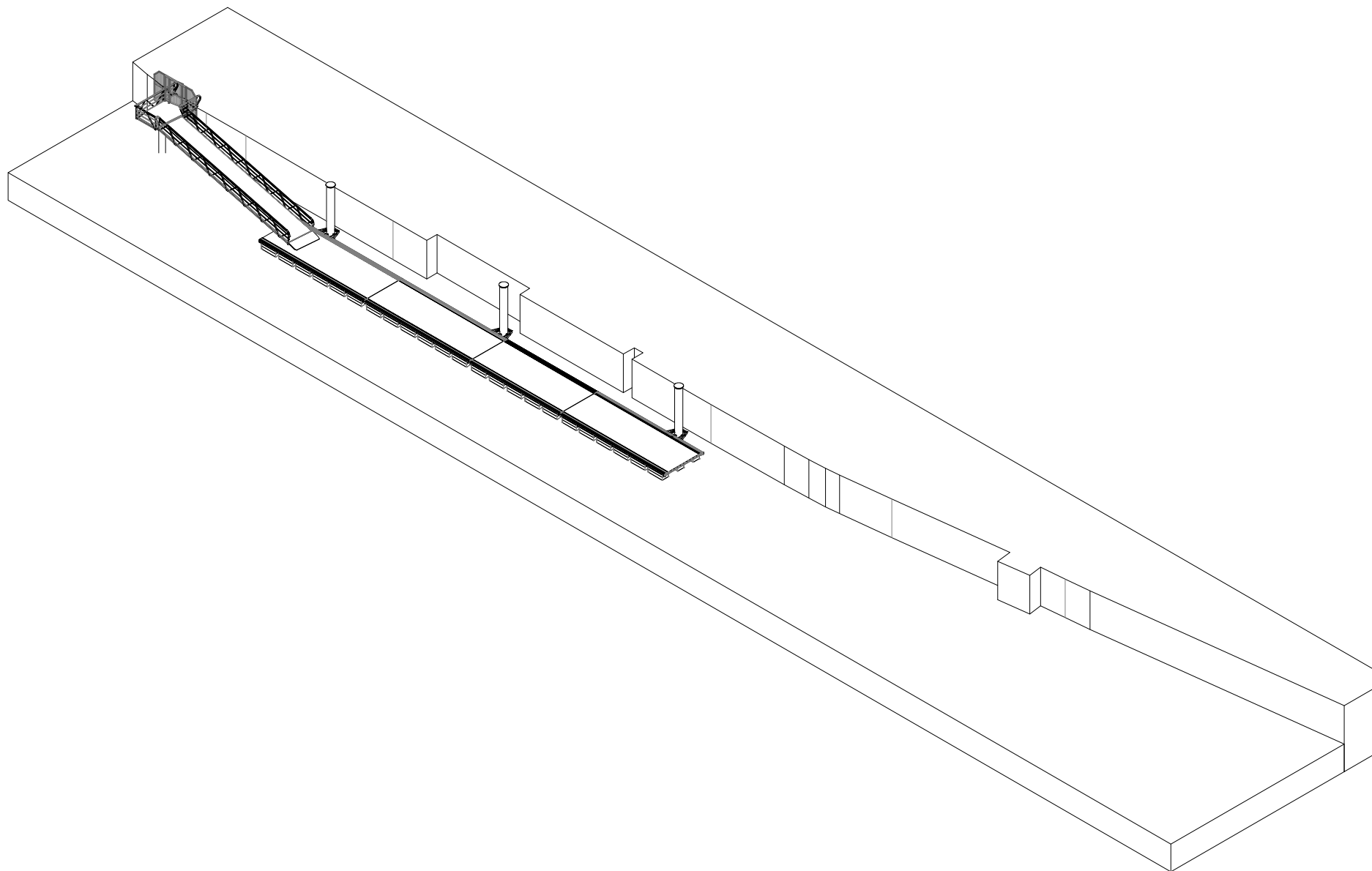
También se pueden utilizar otro tipo de defensas como, madera, gomas, cauchos, EVA etc.

I- DATOS RESISTENCIA

Como se ha comentado las anillas pueden diseñarse para soportar las cargas de diseño por lo que los datos que a continuación se muestran son a modo orientativo sin que tengan un carácter limitativo.

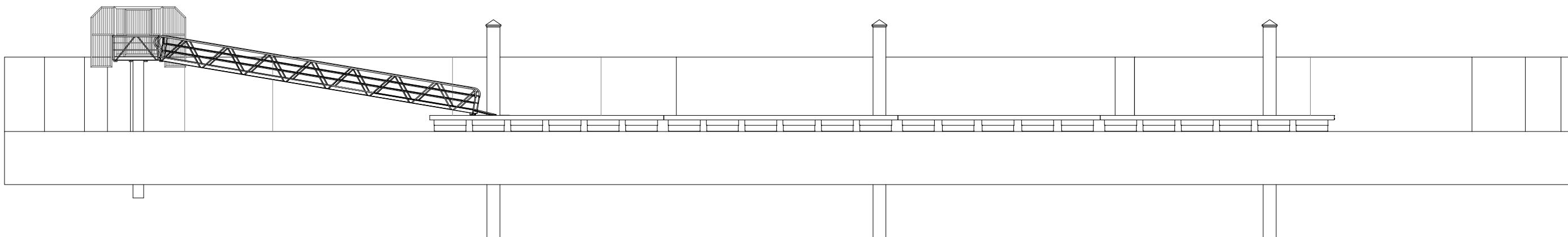
	ANILL FINGER	ANILLA ESTANDART	ANILLA REFORZADA	ANILLA SUPER REFORZADA
Caga Lateral	3 kN	3 kN	4 kN	5 kN
Carga Punta	4 kN	4 kN	5 kN	7 kN





NOTAS:

- Soldaduras según ISO 2553
- Nivel de Calidad C, según ISO 10042
- Requisitos según EN 1090-1, EXC2



REQUISITOS DE CALIDAD Y ENSAYOS, SEGÚN EN 1090-3	
CLASE DE EJECUCIÓN	EXC2
CATEGORÍA DE SERVICIO	SC1
NIVEL DE CALIDAD, SEGÚN ISO 10042	C
ALCANCE DE LOS END	10%
VT	100%
PT	10%

	DOCUMENTO	FECHA
		31 MAYO 2020
19-E-08	PANTALÁN EN URIBITARTE PASEO DE URIBITARTE - BILBAO (BIZKAIA)	ANEXO AL PROYECTO EJECUCIÓN
		ALZADO Y AXONOMETRÍA
PROMOTOR		e _ 1/200
EQUIPO REDACTOR	MARTA GONZÁLEZ CAVIA JORGE CABRERA BARTOLOMÉ	
OSC	EL PRESENTE DOCUMENTO ES COPIA DE SU ORIGINAL DEL QUE ES AUTOR G&C AVIA ARQUITECTOS. SU UTILIZACIÓN TOTAL O PARCIAL, ASÍ COMO CUALQUIER REPRODUCCIÓN O CESIÓN A TERCEROS, REQUERIRÁ LA PREVIA AUTORIZACIÓN EXPRESA DE SUS AUTORES QUEDANDO EN TODO CASO PROHIBIDA CUALQUIER MODIFICACIÓN UNILATERAL DEL MISMO.	